

ЕРЕВАНСКИЙ ОРДЕНА ТРУДОВОГО  
РАСНОГО ЗНАМЕНИ ГОСУДАРСТВЕННЫЙ  
УНИВЕРСИТЕТ

На правах рукописи

Петров Георгий Трендафилов

СРАВНИТЕЛЬНОЕ СПЕКТРОФОТОМЕТРИЧЕСКОЕ ИССЛЕДОВАНИЕ  
ЯДЕР ГАЛАКТИК С ЭМИССИОННЫМИ ЛИНИЯМИ И ПЕСУЛЯРНЫХ  
ВНЕГАЛАКТИЧЕСКИХ ОБЪЕКТОВ

01.03.02 Астрофизика

Диссертация на соискание ученой степени  
кандидата физико-математических наук

Научный руководитель - к-р  
физ.-мат. наук М.А.Аракелян

ЕРЕВАН - 1979 г.

## В В Е Д Е Н И Е

Началом систематического изучения спектров галактик можно считать пионерскую работу Слайфера (1925), определившую лучевые скорости 41 галактики. Эпизодические работы по спектральным исследованиям галактик появлялись и до этого. Фат, (1908), Слайфер (1917), Кембел и Мур (1918) первыми отметили присутствие эмиссионных линий в ядрах галактик. Итогом огромной работы по определению лучевых скоростей галактик на Ликской и Маунт Вилсоновской обсерваториях явился каталог лучевых скоростей 800 галактик Хьюмасона, Мэйолла и Сэндицка (1956). В этой работе помимо лучевых скоростей были определены и спектральные классы и звездные величины 576 галактик. Отмечены все галактики, в спектрах которых наблюдалась линия [O II]  $\lambda 3727$  эисионного кислорода, а также некоторые галактики, в спектрах которых наблюдались и другие эмиссионные линии.

К 1978 году лучевые скорости были определены примерно для 5000 галактик. Предпочтение, при этом, отдавалось более или менее экзотическим объектам – галактикам Сейфферта, Маркаряна, Цеики и др. Оценки цвета к настоящему времени проведены для примерно 1000 галактик, а детальная фотометрия хотя бы в двух цветах делалась примерно для 100 ярчайших объектов.

В отличие от спектральных исследований галактик, спектротометрические исследования крайне бедны. В 1943 году Сейффертом были детально описаны спектры 6 из 12 исследованных ими галактик с ядерной эмиссией, оказавшихся представителями специального класса внегалактических объектов, названных позднее сейффертовскими галактиками. К настоящему времени известно более 150 подобных объектов и это число непрерывно растет, в значительной степени, за

счет южных объектов. К сожалению для половины из них были определены эквивалентные ширины, относительные интенсивности, светимости и потоки в эмиссионных линиях, профили эмиссионных линий и физические условия в зонах, ответственных за эмиссию. В результате сейфертовские галактики изучены лучше и полнее, чем все остальные.

Остерброк (1978) приводит следующее определение феномена сейфертовской галактики: "Сейфертовские галактики – это галактики с необычно яркими ядрами, показывающими сильные, широкие эмиссионные линии атомов высокой степени ионизации. Часто наблюдается сильный синий или ультрафиолетовый континуум незвездного происхождения". Фат (1908) и Слайфер (1917) описывали эмиссионные линии и их ширины в *NGC* 1068, Кемпбелл и Мур (1918) – в *NGC* 4151, Хаббл (1926) – в *NGC* 1068, 4051 и 4151, Мэйолл (1934) – в *NGC* 3516, 4151 и 7469. Сейферт (1943) включил в свой список 12 объектов, с широкими эмиссионными линиями, четыре из которых позднее были исключены Бэрбиджем и др. (1963). После работы Сейферта к этим объектам вернулись только в 1959 году, когда Бэрбидж и др. (1959) заново исследовали *NGC* 1068, а Вольтер (1959) сделал первые теоретические попытки объяснения этого феномена. Картина несколько прояснилась в 1968 году, когда была проведена первая конференция по Сейфертовским галактикам и сходным объектам. Видман (1970) впервые после Сейферта обратил внимание на то, что Сейфертовские галактики по профилям линий можно разделить на две большие группы с прототипами *NGC* 1068 и 4151. В дальнейшем эта идея была развита более подробно Хачикяном и Видманом (1971), в результате чего к сейфертовским галактикам типа I (*NGC* 4151 по Видману) стали относить галактики с широкими разрешенными и узкими запре-

щёнными линиями. К сейфертовским галактикам типа 2 (*NGC* 1068 по Видману) относятся галактики, у которых широки и разрешенные, и запрещенные линии. У них, однако, запрещенные линии очень сильны — до 30 раз сильнее по сравнению с сейфертовскими галактиками типа *NGC* 4151. Маркарян (1973) показал, что и по своим фотометрическим особенностям (положение на двухцветной диаграмме) сейфертовские галактики образуют две группы. Для одной группы  $\overline{B - V} = 0,43$   $\overline{U - B} = -0,71$  (все они относятся к сейфертовским галактикам типа *NGC* 4151), а для второй  $\overline{B - V} = 0,85$  и  $\overline{U - B} = -0,05$  (они совпадают с сейфертовскими галактиками типа *NGC* 1068). Из результатов Шрамека и Товмасяна (1975, 1976) следует, что с точки зрения радиоизлучения, более активны сейфертовские галактики типа *NGC* 1068.

В последнее время есть указания на то, что разделение сейфертовских галактик на два типа менее резко — Остерброк и Коски (1976), Остерброк (1977), Аракелян (1977), Коски (1978). В указанных работах Остерброк и Коски вводят промежуточный тип сейфертовских галактик с прототипами *NGC* 4151 и Мрк 6. Для полноты укаже некоторых авторов, которые занимались спектрофотометрией сейфертовских галактик и радиогалактик: Остерброк и Паркер (1965), Лисай и Проник (1965, 1967), Лисай, Есипов и Проник (1967), Лисай и Есипов (1968), Воронцов — Вельяминов и Лисай (1968), Рубин и Форд (1968), Видман и Хачикян (1968, 1969, 1971), Оук и Сарджент (1968), Андерсон (1970), Вамплер (1971), Шиилд, Оук и Сарджент (1972), Шиилд и Оук (1975) и ряд других. В последние годы в этой области работают Остерброк, Коски, Филлипс, Миллер, Боксенберг, Мартин и др.

Из изложенном следует, что к настоящему времени множество сей-

фертовских галактик, а также радиогалактик, хорошо изучено как спектротометрически, так и с точки зрения физических условий светящемся в них газе.

Иначе обстоит дело с "нормальными галактиками". На результатах спектротометрических исследований таких галактик мы остановимся после того, как перечислим несколько групп галактик, выделенных на основе какой-либо пекулярности.

Большой группой галактик, интерес к которым все время возрастает, являются галактики Маркаряна. Это – объекты с избыточной интенсивностью в ультрафиолетовой области спектра, выявленные в процессе обзора неба с метровым телескопом Шмидта Бюраканской астрофизической обсерватории с полутораградусной объективной призмой (Маркарян, 1967). Работами Хачикяна и Видмана, Аракеляна, Дибая и Есипова, Маркаряна, Сарджента, Ленисюка, Липовецкого, Копилова, и др. примерно для тысячи галактик Маркаряна определены лучевые скорости, а Видман, Ульрих, Аракелян, Дибай, Лютый, Хухра и др. примерно для 200 из них определили  $UVW$  величины. Упомянутыми авторами показано, что примерно 90 % галактик Маркаряна содержит в своих спектрах эмиссионные линии, около 10 % являются объектами сейфертовского типа. Среди них найдено также несколько квазаров.

Следует отметить, что избыток объектов с эмиссионными линиями у галактик с интенсивным ультрафиолетом был впервые обнаружен в результате спектральных наблюдений галактик Аро, обнаружившего 44 подобных галактики посредством  $UVW$  наблюдений с камерой Шмидта (1956).

Другой выборкой галактик, по-видимому, содержащей избыток объектов сейфертовского типа являются компактные галактики Цикки (1971). Обширные спектральные исследования этих галактик, проведенные Сарджентом (1970) и Кунтом и Сарджентом (1978), обнаружили

среди них большое число объектов сейфертовского типа. Однако, точно судить о статистике подобных объектов среди всех компактных галактик затруднительно, т.к. в обеих цитированных работах для наблюдений отбирались лишь голубые галактики.

К компактным галактикам, по-видимому, примыкают галактики высокой поверхностной яркости, из списка, составленного Аракеляном (1975) на основании фотометрических данных из Каталога галактик и скоплений галактик (КГСГ) Цвики и соавторов (1961-1968) и размеров, приведенных в Морфологическом каталоге галактик (МКГ) Воронцова - Вельяминова и соавторов (1962-1966). Основанием для составления подобного списка явились статистические данные о корреляции частоты встречаемости эмиссионных линий с поверхностной яркостью (Аракелян 1974). Лучевые скорости этих галактик были определены Аракеляном, Дибаем и Есиповым (1975 а, б, 1976 а, б), Дорошенко и Теребижем (1975) и Дибаем, Дорошенко и Теребижем (1976). Спектрофотометрические галактики высокой поверхностной яркости исследовались практически только Остерброком и Филлипсом (1977) и Остерброком (1977). Ими были исследованы только галактики, отмеченными Аракеляном, Дибаем и Есиповым как возможные объекты сейфертовского типа и была подтверждена принадлежность к этому типу 6 галактик высокой поверхностной яркости. (Ахи 79, 120, 202, 347, 374, 564). Галактики высокой поверхностной яркости интересны и тем, что среди них найдены или заподозрены источники рентгеновского излучения...

Как отмечалось, сейфертовские галактики обладают ярко выраженным спектральными особенностями, отличающими их от других галактик. Остальные из перечисленных групп объектов столь четкой спектральной пекулярности не проявляют. Тем не менее, мы отмети-

ли те особенности, на основании которых они были выделены в отдельные группы, т.к. имеет смысл рассмотрение вопроса о том, существует ли хотя бы слабая корреляция этих особенностей со спектральными особенностями или физическими параметрами, характеризующими, в частности, состояние газа в этих объектах. Разумеется, для этого необходимо их сравнение с нормальными галактиками.

Определение нормальной галактики, по-видимому, является наиболее трудным. Отметим, что, согласно Дж.Хью (1978) галактику можно считать нормальной, если она соответствует всем оптическим критериям классификации Хаббла и не обладает какими-либо особенностями структуры или исключительной яркостью. В настоящей работе мы будем исходить из того, что галактика является нормальной, если она не входит ни в один из упомянутых выше списков.

После работ Мэйолла (1939, 1958) и Бэрбиджа и Бэрбиджа (1965) стало ясным, что наличие эмиссионных линий в галактиках разных морфологических типов скорее правило, чем исключение. Слабые линии низкого возбуждения – [O II]  $\lambda 3727$ , [N II]  $\lambda 6584$  и  $H_{\alpha}$  могут наблюдаться если есть всего несколько горячих звезд. Для галактики M 51 достаточно всего 50 таких звезд (Видман 1977). В 1958 году Мэйолл докладывал, что в спектрах 18 % эллиптических галактик, 48 % линзовидных галактик, 62 % галактик типа Sa, 80% галактик типа Sb, 85 % галактик типа Sc и почти всех иррегулярных галактик присутствует дублет [O II]  $\lambda\lambda 3726, 3729$  ионизованного кислорода.

В своем исследовании двойных галактик Пейдж (1952) отмечает, что в спиральных и неправильных галактиках в случае присутствия линии [O II]  $\lambda 3727$ , всегда присутствует и линия  $H_{\alpha}$ , причем чаще она интенсивнее, чем линия [O II]. Джонсон (1953), исследуя

диффузные туманности в Галактике, отмечает, что после  $H_{\alpha}$ , чаще всего наблюдается линия [N II]  $\lambda 6584$ , а могут присутствовать и линии [S II]  $\lambda\lambda 6717, 6731$ , [O III]  $\lambda\lambda 4959, 5007$ , [O II]  $\lambda 3727$ ,  $H_{\beta}$  и др. Таким образом, можно утверждать высокую частоту встречаемости не только линии [O II]  $\lambda 3727$ , но и других упомянутых линий.

Тем не менее, как отмечалось, с точки зрения физических условий, ядра нормальных галактик исследованы в гораздо меньшем количестве, чем пекулярные внегалактические объекты. Очевидно, это обусловлено существованием точки зрения, что ядра нормальных галактик с эмиссионными линиями по своим физическим условиям идентичны областям H II в спиральных рукавах Галактики. Однако, имеющиеся данные указывают на существование заметных различий в параметрах, характеризирующих условия в ядрах нормальных галактик с эмиссионными линиями, с одной стороны, и в спиральных рукавах, с другой. Далее, наблюдаются различия в физических условиях при переходе от поздних морфологических типов к ранним.

Бэрбидж и Бербидж (1962, 1965) исследовали ядерные области почти всех галактик, отмеченных Хьюмасоном и др. (1956) как объекты, показывающие в своих спектрах эмиссионные линии. Ими наблюдалась красная область спектра около линии  $H_{\alpha}$ . Особое внимание обращалось на отношение [N II]  $\lambda 6584 / H_{\alpha}$  как на возможный индикатор изменения условий ионизации и возбуждения, содержания ионов и химического состава. Их результаты можно суммировать следующим образом: в ядрах всех E, SO и Sa - галактик газ, если он имеется, локализован вблизи центральных областей. Генетически Sa - галактики ближе к Sb и Sc, чем к E - и SO - галактикам. Отношение [N II]  $\lambda 6584 / H_{\alpha} = 0,2 - 0,3$  в спиральных рукавах (так и в нашей Галактике) и становится больше 1 в ядрах (вплоть до пол-

ногого исчезновения  $H_{\alpha}$ ). В галактиках типа E и S0, как и в центральных частях S - галактик, отношение  $[N II] \lambda 6584 / H_{\alpha} \geq 1$  и возможно  $N/H$  выше нормального для электронных температур 10-20 тысяч градусов.

Одним из первых, кто интерпретировал изменение относительных интенсивностей линий в галактиках как изменение химического состава, является Аллер (1942). Он установил градиент отношения  $[O III] / H_{\beta}$  в галактике M 33 и показал, что параллельно с изменением отношения  $[O III] / H_{\beta}$  происходит и слабое изменение отношения  $[O II] / H_{\beta}$ . В дальнейшем было установлено, что градиент отношения  $[O III] / H_{\beta}$  может быть очень большим. Для галактики M 101 это отношение меняется в 100 раз от ядра к спиральным рукавам. Бэрбидж и Бэрбидж (1965), Пеймберт (1968) и Пеймберт и Спинрад (1970) наблюдали градиенты отношения  $[O II] / [N II]$ ,  $[N II] / [S II]$ ,  $[N II] / H_{\alpha}$ . Пеймберт (1968), исследуя галактики M 51 и M 81 установил факт изменения химического состава и в частности содержания кислорода и азота по сравнению с солнечным и отметил, что в ядрах отношение  $N/H$  вероятно в 2-6 раз больше. Как уже отмечалось, отношение  $[N II] / H_{\alpha}$  меняется от примерно 0,3 в спиральных руках до 10 и больше в ядрах галактик. Бэрбидж (1970) приводит два возможных объяснения этого факта:

а/ температура в ядрах и в руках существенно различна. В ядерных областях источники радиации являются в основном звезды гиганты спектрального класса K. Газ нагревается кинетическим способом (например звездным ветром) до электронных температур порядка 10-20 тысяч градусов.

б/ возможно изменение относительного содержания ионов  $N^+$  /  $H^+$ , причем это отношение в ядрах выше, чем во внешних частях

галактики.

Моргая и Остерброк (1969) рассматривали исключенную Бэрсайдж и Бербиджем возможность изменения отношения  $[N\text{II}]/H_\alpha$  как следствие изменения степени ионизации только азота, а не как изменение температуры или химического состава газа.

Градиент химического состава газа по диску спиральных галактик специально исследовали Сирл (1971), Шилдс (1974), Смит (1975), Комт (1975), Йенсен, Стром и Стром (1976) и пр. Логарифм отношения  $[O\text{III}]/H_\beta$  в тех областях Н II, которые наблюдал Сирл (1971), менялся в границах от - I до + I, при этом в той же области отклонения от среднего невелики  $\pm 0,1$ . Все другие отношения -  $[N\text{II}]/H_\alpha$ ,  $[O\text{II}]/[N\text{II}]$  и т.д. просто коррелируют с отношением  $[O\text{III}]/H_\beta$ , образуя таким образом однопараметрическое семейство. На базе простой ионизационной модели области Н II Сирл рассмотрел некоторую общую схему, учитывая и эффект стратификации. Рассматривалась область с двумя зонами - VI и VII (зоны  $[O\text{II}]$  и  $[O\text{III}]$ , соответственно по терминологии Дибая и Есипова). В зоне VI излучают ионы  $H^+$ ,  $He^0$ ,  $O^+$  и в принципе  $Ne^+$ . В охлаждении всего объема газа принимают участие ионы  $O^+$ ,  $N^+$  и  $Ne^+$ . В зоне VII излучают ионы  $H^+$ ,  $He^+$ ,  $O^{++}$ ,  $N^{++}$ ,  $Ne^{++}$ . В этой зоне главным охлаждающим агентом являются ионы  $O^{++}$ .

Области Н II, бедные металлами, будут высоко возбужденными. С другой стороны, если содержание тяжелых элементов преыщает примерно в два раза солнечное, то область Н II с таким химическим составом будет никакого возбуждения. Сирл отмечает, что градиент химического состава во внутренних областях галактик не наблюдается, но такой градиент существует в галактическом диске.

Шилдс (1974) исследовал более детально вопрос, рассмотрен-

ный Сирлом, и подтвердил его результаты и выводы. Им найден больший градиент в содержании кислорода, при этом градиенты  $O^+$  и  $O^{++}$  различны, что подтверждает предположение о том, что эти ионы светятся в разных зонах.

Согласно Сирлу (1971) отношение  $O / H$  уменьшается примерно в 2 раза, а отношение  $N / O$  – примерно в 10 раз от ядер к спиральным рукавам. Смит (1975), рассматривая области Н II в ближайших галактиках, находит больший градиент  $O / H$ , а следовательно меньший градиент  $N / O$ .

Кроме интенсивности эмиссионных линий и их отношений в областях Н II существуют и другие факты, интерпретируемые как изменения химического состава при переходе от центральных частей галактик к периферии.

а/ существует корреляция в зависимости "период – светимость" для цефеид и их расстояний от центра Галактики. В свою очередь цефеиды, более близкие к центру Галактики, по – видимому, богаче металлами (ван ден Берг 1958).

б/ отношение числа самых ярких синих гигантов к красным меняется от центральных областей к периферии галактик. (Уокер 1964, Неймберт и Спинрад 1970).

в/ интенсивности звездных абсорбционных характеристик в ядрах галактик и в окрестностях ядер различны (Мак Клур 1969, Спинрад и др. 1971, Спинрад и пр. 1972).

г/ статистически у звезд гигантов спектрального типа K орбиты имеют большие перигелические расстояния, чем у звезд со слабыми линиями CN – т.е. с меньшим отношением металлы /водород – (Джайнес и Мак Клур 1972).

д/ галактические планетарные туманности указывают на то, что содержание серы, кислорода, азота и гелия уменьшается с уве-

личением расстояния от центра Галактики (Л'Оторико и др. 1976, Торрес - Неймберт и Неймберт 1977). Коллин Суффен и Жоли (1976) рассматривали градиент интенсивности линий по диску спиральных галактик.

Приведенные данные показывают целесообразность изучения физических условий в ядрах нормальных галактик с эмиссионными линиями и их сравнения, с одной стороны, с ядрами пекулярных внегалактических объектов, а с другой - с диффузными туманностями в нашей и ближайших галактиках. Подобному сравнительному исследованию и посвящена настоящая работа.

В первой главе рассматриваются вопросы, связанными с программой наблюдений, аппаратурой и методикой. Приводятся эквивалентные ширины эмиссионных линий в ядрах 50 галактик несейфертовского типа. Подробно обсуждается выбор объектов в связи с ожидаемыми результатами, а также приборы - телескопы и светоприемники. Приводятся результаты исследования отношения  $[N\text{II}]/\text{H}_\alpha$  в ядрах галактик несейфертовского типа и диффузных туманностях.

Во второй главе определены физические условия и оценено содержание некоторых ионов в ядрах галактик с эмиссионными линиями. Обсуждаются методы определения электронных температур и электронных плотностей изучающего газа и содержания ионов.

В третьей главе приведены содержания ионов и физические параметры в ядрах сейфертовских галактик и радиогалактик. Рассматриваются и некоторые корреляционные зависимости между показателями цвета и светимостями и потоками в линиях для сейфертовских галактик типа *NGC4151*. Делается сравнение с подобными зависимостями, рассмотренными ранее другими авторами.

В четвертой главе проведено сравнение физических условий и содержания ионов в объектах с эмиссионными линиями - планетарных

туманностях, областях H II, ядрах галактик с эмиссионными линиями, радиогалактиках с узкими и широкими линиями и сейфертовских галактик. Обсуждается отношение  $[N\text{ II}] / N_{\alpha}$  и зависимость  $([N\text{ II}] / N_{\alpha}) / ([S\text{ II}] / N_{\alpha})$ .

На защиту выносятся результаты спектрофотометрического исследования ядер 50 галактик с эмиссионными линиями в плане сравнения с пекулярными внегалактическими объектами.

Новое в настоящей работе:

1/ Получены спектры и определены эквивалентные ширины эмиссионных линий в красной области спектра для 50 ядер нормальных галактик, больше, чем для 40 из них впервые.

2/ Определены относительные интенсивности эмиссионных линий и сделана оценка электронных плотностей в областях, излучающих в запрещенных линиях.

3/ Примерно для 250 объектов с эмиссионными линиями оценено содержание некоторых ионов.

4/ По наблюдательному материалу, предоставленному Л.В. Видманом, определены эквивалентные ширины эмиссионных линий для 20 сейфертовских галактик типа *NGC 4151*, для большинства - впервые.

5/ На большем наблюдательном материале рассмотрены некоторые зависимости между показателями цвета и светимостями и потоками в линиях для сейфертовских галактик типа *NGC 4151*, рассмотренные ранее Аракеляном (1977).

## ГЛАВА I

### СПЕКТРОФОТОМЕТРИЧЕСКОЕ ИССЛЕДОВАНИЕ ЯДЕР ГАЛАКТИК С ЭМИССИОННЫМИ ЛИНИЯМИ

#### I. ПРОГРАММА И ПОСТАНОВКА ЗАДАЧИ

В последние годы интерес к эмиссионным внегалактическим объектам непрерывно возрастает. Интенсивные исследования сейфертовских галактик начались сразу после того, как было установлено, что по спектральным особенностям они сходны с квазизвездными объектами. Поскольку сейфертовские галактики, будучи более близкими и яркими, легче поддаются исследованиям, то можно было надеяться, что их изучение будет способствовать также пониманию природы квазаров. Одновременно с этим было установлено, что многие радиогалактики спектрофотометрически также подобны сейфертовским галактикам (например ЗС 120 и 390.3), а некоторые сейфертовские галактики известны как объекты с мощным радиоизлучением — например *NGC 1275*. Особенно интенсивное спектрофотометрическое исследование радиогалактик и сейфертовских галактик примерно с одинаковым спектральным разрешением на одним и тем же телескопом ведется в настоящее время Остерброком, Кошки, Филлипсом и Миллером на Ликской обсерватории. Пока вляющее большинство спектрофотометрических данных о сейфертовских галактиках и радиогалактиках получено этой группой. Аллер, Калер, Баркер, Пеймберт, Торрес — Пеймберт, Киллен, Харлоу, Дюбоур, Сирл, Смит, Шилд и многие другие активно занимались и занимаются изучением планетарных и диффузных туманностей в нашей и других галактиках. Из-за малых угловых размеров выявление и изучение планетарных и диффузных туманностей в других галактиках возможно только для ближайших из

них. Все, что нам известно о подобных объектах, основывается на исследованиях указанных авторов. Эти исследования немногочисленны и относятся к нескольким планетарным туманностям в Магеллановых облаках и около 50 диффузным туманностям в примерно десяти галактиках. В то же время нормальные галактики остались в стороне от интересов больших обсерваторий и в большинстве случаев их спектральные исследования сводятся к определению лучевых скоростей. Из примерно 4500 объектов, приведенных во Втором пересмотренном каталоге ярких галактик Вокулера и др. (1976), спектрофотометрически исследована только 171 галактика. При этом для 44 из них определялось только распределение энергии в непрерывном спектре. Из упомянутых 171 объектов 19 являются сейфертовскими галактиками, а для 37 галактик данные очень скучны. Таким образом остается 71 галактика несейфертовского типа, для которых проводились спектрофотометрические исследования. Из них 17 являются галактиками Маркаряна, 9 - галактиками Цвикки, 11 - галактиками с peculiarными ядрами. После выхода в свет этого каталога появилось довольно много данных по спектрофотометрии галактик, но они также относятся главным образом к сейфертовским галактикам и радиогалактикам. Такие данные есть примерно для 60 сейфертовских галактик и для примерно 30 радиогалактик. Нормальным галактикам посвящено очень мало работ, среди которых выделяется работа Кохен (1976), изучающей эмиссию в линии  $H_{\alpha}$  в диске 53 галактик, в основном спиральных. По существу в этом исследовании наблюдалась бленда  $H_{\alpha} + [NII]$   $\lambda\lambda 6548, 6584$ .

Ранее отмечалось изменение отношения  $[NII] / H_{\alpha}$  при переходе от спиральных рукавов к ядрам галактик, обнаруженное Бербиж и Бербижем. С другой стороны, из опубликованных работ по

спектрометрии было установлено, что это отношение в ядрах сейфертовских галактик сильно отличается от его значения в ядрах нормальных галактик. Поэтому кажется весьма целесообразным получить достаточно однородные данные о ядерных областях нормальных галактик. Существует мнение, что в ядрах нормальных галактик условия таковы, как в областях H II. По-видимому этим можно в большой степени объяснить тот факт, что нормальные галактики изучены слабо. Однако ещё первые работы по исследованию физических условий в нормальных галактиках (Пеймберт, 1968 для M 51 и M 81 и Вернер, 1973 – для M 51, M 81 и M 64) показали, что ядра нормальных галактик это не просто колоссальные области H II. В ядрах часто наблюдается сильная линия [O I]  $\lambda 6300$ , линии [S II]  $\lambda\lambda 6717, 6731$  тоже очень сильны. Линия H $_{\alpha}$  обычно сильнее линии [O II]  $\lambda 3727$ . Между тем, самой сильной линией в областях H II обычно является линия [O II]  $\lambda 3727$ , линии [O I] слабы, а линии серы [S II]  $\lambda\lambda 6717, 6731$  практически всегда слабее линий [N II]  $\lambda\lambda 6548, 6584$ .

В связи с этим кажется полезным получение достаточного по объему материала, чтобы можно было в сравнительном плане изучить физические условия, содержание ионов, некоторые возможные статистические зависимости, связывающие отдельные параметры относящиеся к ядрам нормальных и активных галактик. Для этой цели было подобрано около 200 сравнительно ярких галактик, не относящихся к сейфертовскому типу, в спектрах которых другими авторами ранее наблюдалась хотя бы одна из линий H $_{\alpha}$ , [N II]  $\lambda\lambda 6548, 6584$  и [S II]  $\lambda\lambda 6717, 6731$ . Среди выбранных нами объектов встречаются все основные морфологические типы.

Программа наблюдений была составлена в предположении, что они будут проводиться на телескопе ЗТА 2,6 м Бораканской астрофизиче-

ской обсерватории. К сожалению, по независящим от нас причинам, выполнение этой программы на ЗТА оказалось невозможным. Благодаря любезности руководства Крымской станции ГАИШ часть намеченной программы удалось осуществить на телескопе ЗТЭ 125 см этой станции.

## 2. АППАРАТУРА

Диаметр главного зеркала ЗТЭ Крымской станции ГАИШ - 1250 мм, а диаметр касегреновского зеркала - 310 мм. Фокусное расстояние первичного фокуса 5040 мм, а фокусное расстояние касегреновского фокуса - 21250 мм. Таким образом, это классический касегренновский телескоп с отношением  $D/F = 1 : 17$ . Масштаб изображения около  $10''/мм$ . В качестве гида используется рефрактор с диаметром объектива 250 мм и фокусным расстоянием 4000 мм -  $D/F = 1 : 16$ . При масштабе изображения  $51,5''/мм$  поле зрения около  $20'$ . Спектральная аппаратура к телескопу содержит четыре спектрографа и один спектрометр. Для наших наблюдений использовались только два спектрографа.

### а/ спектрограф УАГС

Спектрограф УАГС, производство народного предприятия "Карл Цейс", Цена, ГДР, при общем весе около 50 кг может быть применен к телескопам с диаметром зеркала равным или большим 60 см. Благодаря возможности замены коллиматора, спектрограф может быть согласован с телескопами от  $F/3$  до  $F/18$ . В качестве диспергирующего элемента применяются дифракционные решетки с защрихованной частью  $80 \times 110$  мм. В комплект входят четыре решетки: одна с  $325 \text{ mm}^{-1}$ , работающая в первом порядке и три решетки с  $651 \text{ mm}^{-1}$ , работающие в первом, втором и третьем порядках соответственно. Спектрограф имеет три камеры: две камеры Шмидта с фокусными расстояниями

(\*) Кол. балгарскии УАГС ширина рабочего поля  $1200/170$  мк.

ниями 110 и 175 мм соответственно и одна камера Шмидта - Кассегрена с внешним фокусом и фокусным расстоянием 150 мм. Диаметр коллимированного пучка 75 мм.

В таблице I приводятся дисперсии, которые можно получить, комбинируя различные камеры и решетки. I, II и III в скобках означает соответствующий порядок спектра.

Таблица I

Некоторые параметры спектрографа УАГС

F кам. [мм]	Решетка ([ $\text{мм}^{-1}$ ])			
	325(I)	65I(I)	65I(II)	65I(III)
110	268	136	70	47
175	167	86	44	29
150	195	101	51	34

На рисунке I приведена оптическая схема универсального дифракционного астрономического спектрографа, а на рисунке 2 - внешний вид. На рисунке 3, взятом из работы Гайера (1975), представленная зависимость "границная звездная величина - время экспозиции" для 106 см телескопа обсерватории Хоер Лист, ФРГ, при дисперсии 47  $\text{\AA} / \text{мм}$ , а на рисунке 4 - камера Шмидта - Кассегрена, использованная нами.

6/ А - спектрограф

Спектрограф сконструирован В.Ф.Есиповым и П.В.Шегловым. В качестве коллиматора применена склеенная двойная ахроматическая линза с диаметром 60 мм и фокусным расстоянием 960 мм. Диаметр коллимированного пучка 56,5 мм. В спектрографе предусмотрены две

камеры. Менисковая камера с апертурой 80 мм и фокусным расстоянием 50 мм и камера для Э О П с объективом "Биотар" - диаметр свободного отверстия 68 мм и фокусное расстояние 58 мм ( $A = I : 0,85$ ). Щелевой узел спектрографа состоит из двух алюминированных пластинок размерами 40 x 40 мм. Вес спектрографа около 40 кг. В качестве диспергирующего элемента используются две решетки с  $600 \text{ mm}^{-1}$  и  $1200 \text{ mm}^{-1}$ .

Поскольку остальная спектральная аппаратура нами не применялась, то мы её описывать не будем.

В таблице 2 приведены дисперсии, которые можно получить при различных комбинациях камер и решеток на А - и Б - спектрографах телескопа З Т Э. В таблицу включены и данные для Б - спектрографа, не использованного нами, так как менисковая камера является общей для обоих спектрографов. (Либай, 1969).

Таблица 2

Некоторые параметры А-спектрографа

Спектрограф	А - спектрограф	А, Б - спектр	Б - спектр
Решетка [ $\text{мм}^{-1}$ ]	Камера		
	Биотар + ЭОП $F=58 \text{ } D=68$	Менисковая $F=50 \text{ } D=80$	Кинон + ЭОП $F=300 \text{ } D=200$
600	225	300	64
1200	110	140	25

Обе решетки профилированы с высокой степенью концентрации света в первом порядке. На рисунке 5 показан А - спектрограф с Э О П на телескопе З Т Э и блок питания для Э О П.

Во всех случаях спектры получались при помощи однокаскадного электроннооптического преобразователя с электростатической фо-

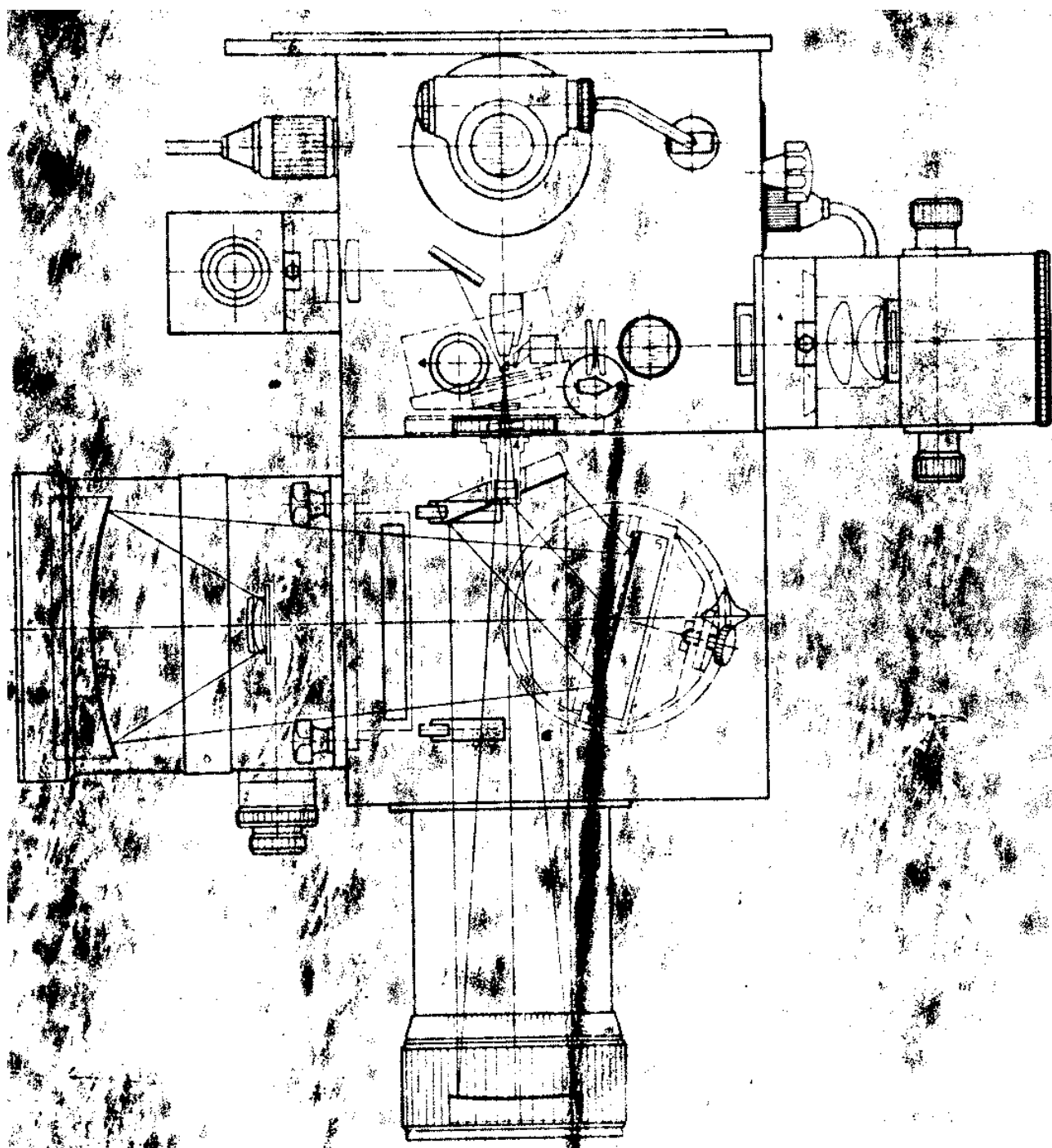


Рис. 1

Оптическая схема универсального астрономического люминесцентного спектрографа УАПС.

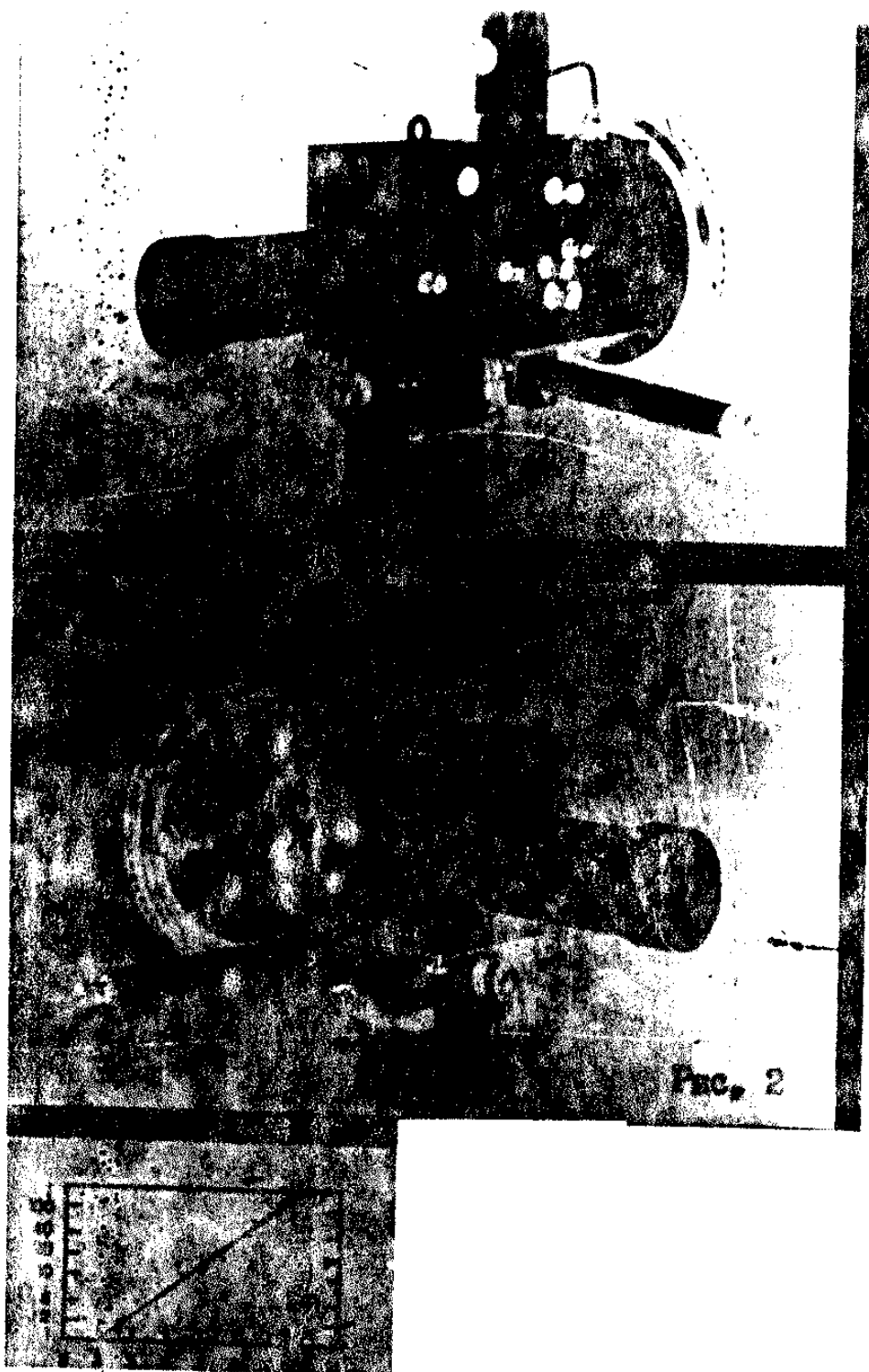


Рис. 3

Рис. 3 - Внешний вид спектрометра УАС.

Рис. 3 - Зависимость "Фоновая интенсивность ~ время экспонирования" для 100 см<sup>-1</sup> положения обсерватории Норд Лист, СРГ. Дисперсия 17 А / мм, ширина спектра ~ 0,02 см.

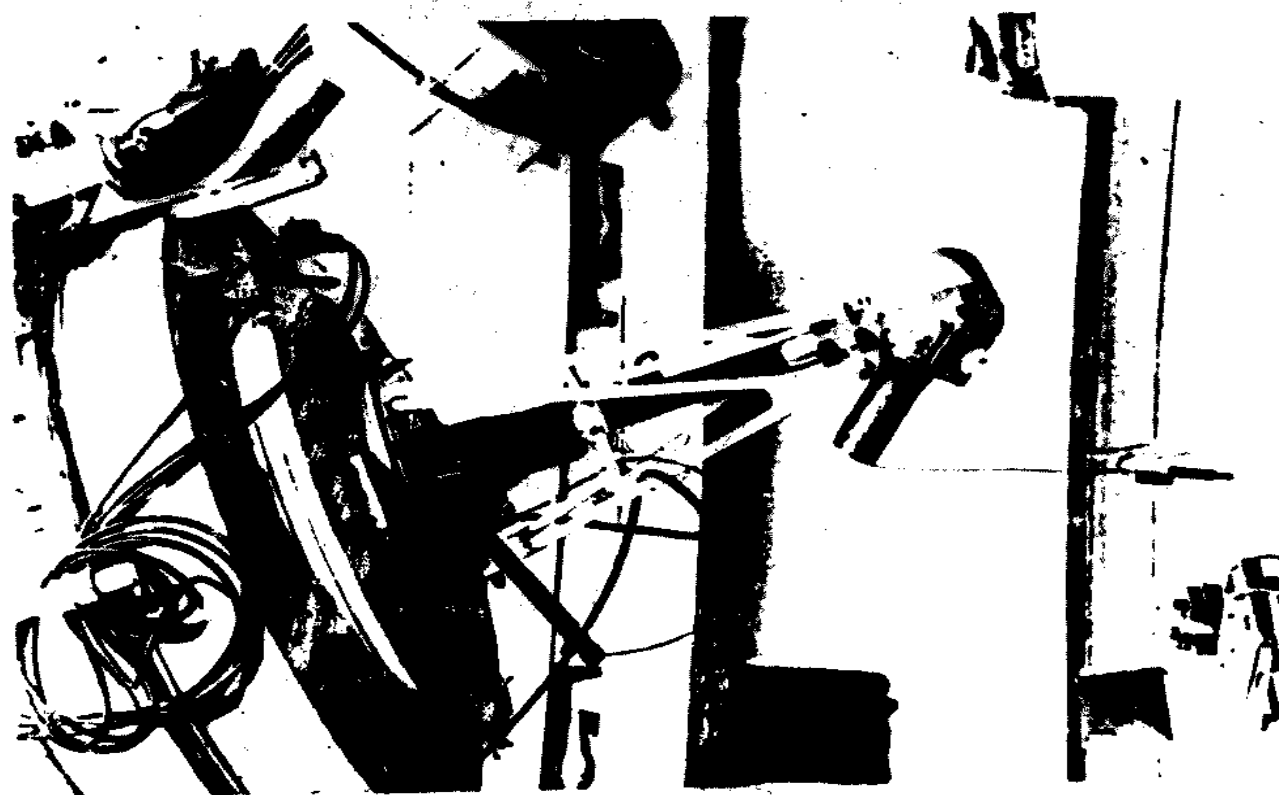
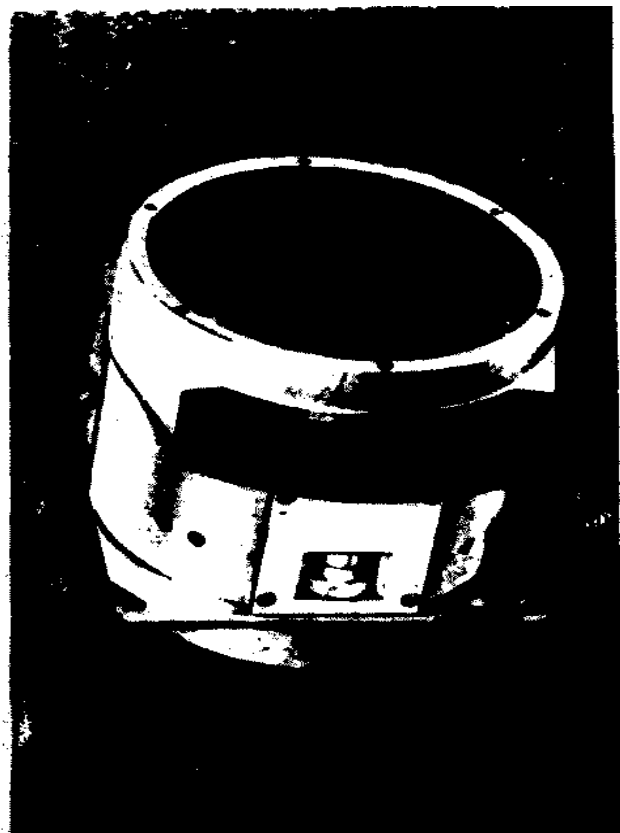
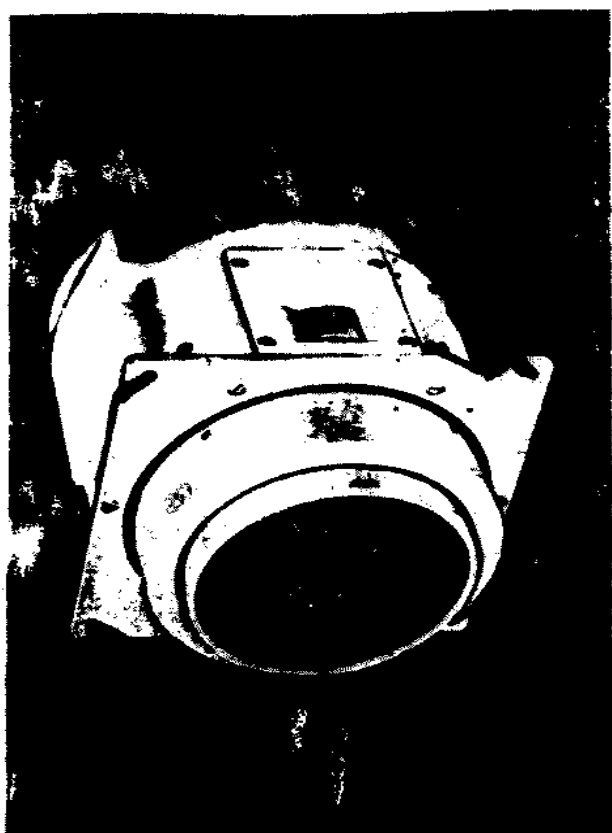


Рис. 4 - Кассегренова - Кассегрена к спектрографу ТАИК.

Рис. 5 - А - спектрограф с БОН к телескопу 3Т9 125 см

Пулковской станции ГАИС.

кусировкой. На электроды подавалось ускоряющее напряжение 12-13 киловольт. Спектры получались на эмульсии А 600 с подсветкой до плотности около 0,3 и на эмульсиях Кодак ТОЗ а0 и ТОЗ аД как с подсветкой, так и без подсветки. Все пленки проявлялись в проявителе Л Т9 при температуре 19°С при постоянном перемещении. Время проявления 7 минут. На рисунке 6 показано изменение коэффициента контрастности для эмульсии А 600 без подсветки и с подсветкой длительностью 1/25, 1/50 и 1/100 сек соответственно.

### 3 . МЕТОДИКА

Так как заранее было известно, что линии у большинства подобранных нами галактик слабы, то пришлось ограничиться исследованием только красной области спектра, где контраст между линиями и непрерывным спектром больше. Для того, чтобы получить некоторое оптимальное спектральное разрешение, дающее возможность разделять дублет [S II]  $\lambda\lambda$  6717, 6731 и бленду [N II]  $\lambda\lambda$  6548, 6584 и Н<sub>α</sub>, была выбрана дисперсия 110 Å / мм, или 225 Å / мм, соответствующая разрешению 5 - 10 Å при разрешении фотоэмulsionи с ЭОП около 20 пар линий / мм. Поскольку диаметр выходного окна ЭОП около 10 мм, то при дисперсии 100 Å / мм охватывается спектральный диапазон около 1000 Å. В этот интервал попадают линии водорода [O I]  $\lambda\lambda$  6300, 6363, азота [N II]  $\lambda\lambda$  6548, 6584, серы [S II]  $\lambda\lambda$  6717, 6731, а в принципе и линии  $\lambda$  6618 Не I и  $\lambda$  6312 [S III], нами не обнаруженные. Восемь объектов снимались и в области линии Н<sub>β</sub>, но из-за слабости линий и небольшого разрешения эмиссия не выявлена.

Применяемая нами методика – относительная фотографическая спектрофотометрия. Калибровка фотоматериалов проводилась при помощи лабораторного спектрографа ИСП - 51 и девятиступенчатого

нейту ального платинового ослабителя. На пластинах Kodak I03 ad проходились специальные исследования зависимости характеристических кривой от длины волн, но такая зависимость в диапазоне длин волн 4500–6000 Å найдена не была.

Известно, что нелинейная зависимость поглощения эмульсии от интенсивности падающего света затрудняет использование полученных результатов для прямых количественных расчетов. Разработано немало приборов, с помощью которых можно повысить точность и достоверность фотоэлектрической обработки негативов. В Крымской Астрофизической обсерватории Букачем и др. (1977) разработан микрофотометр в шкале интенсивностей с шаговым двигателем на базе быстродействующего фотометра Г – III, производстве ГДР. Задаваясь характеристической кривой по 22 точкам, при помощи высокочувствительного реохорда, жестко связанного с первом самописца КСП – 4, на бумажной ленте получается запись в интенсивностях. Для обеспечения точной привязки результатов измерения к длине волны и для передвижения предметного стола микрофотометра применен шаговой двигатель типа ШД-4 с шагом  $H = 1,5^\circ$ . Для Цейсовского фотометра Г – III с его шагом микрометрического винта столика  $h = 4$  мм это соответствует перемещению стола на величину  $\Delta \tilde{\theta} = 0,016$  мм / шаг /  $\Delta \tilde{\theta} = H \times h : 360$ . Скорость движения каретки  $V_k$  можно менять в границах от 0,066 мм / сек до 0,8 мм / сек, а скорость бумажной ленты  $V_l$  – от 0,3 до 42 мм / сек. Таким способом, подбирая  $V_k$  и  $V_l$  можно получить желаемое увеличение при записи (масштаб регистрограммы). Нами применялись увеличения в основном 50 и 100 раз, в некоторых случаях для более интересных деталей спектра – 200 раз.

#### 4. НАБЛЮДАТЕЛЬНЫЕ ДАННЫЕ

Всего было обработано 113 спектров 100 галактик. Из них 42

спектра получены автором при помощи описанной уже аппаратуры. На спектрографе УАГС получены спектры галактик *NGC* 2685, 2903, 3998, 4258, 4486 и Мрк I85. Применялась пленка А 600 с предварительной подсветкой. Обратная линейная дисперсия во всех случаях была 101  $\text{A} / \text{мм}$ . Все остальные спектры получены на А - спектрографе с контактным ЭОП при обратной линейной дисперсии 110  $\text{A} / \text{мм}$  на эмульсиях типа Кодак I03 a0 или I03 aII в зависимости от того, каким люминофором был покрыт экран ЭОП. Во всех случаях щель спектрографа располагалась по прямому восхождению. Ширина щели бралась равной 0,3 – 0,35 мм, что соответствует 3 – 3,5". Спектры 38 галактик Маркаряна были получены Аракеляном, Дибаем и Есиовым, а 33 спектра галактик высокой поверхностной яркости – Дорошенко и Теребижем. Все эти спектры получены на А - спектрографе с контактным ЭОП при обратной линейной дисперсии 230  $\text{A} / \text{мм}$ . Ширина щели была 0,3 – 0,35 мм и щель располагалась по прямому восхождению. Методика и аппаратура были описаны ранее Аракеляном, Дибаем и Есиовым (1970) и Дорошенко и Теребижем (1975).

Из всех обработанных нами спектров информативными с точки зрения определения физических условий оказались около 50 спектров. В остальных случаях линии недостаточно сильны или блецируются друг с другом или с линиями ночного неба. Для определения относительных интенсивностей линий производилась привязка к звездам с известным распределением энергии в спектре.

На рисунке 7 представлена спектральная чувствительность аппарата – 125 см телескоп ЭТЗ + А - спектрограф + ЭОП. В таблице 3 собраны некоторые исходные наблюдательные данные для исследованных нами объектов. 1 – № по *NGC*, 2 – другое обозначение, 3 – 4 – прямое восхождение и склонение галактик на эпоху 1950,

(2)

$\lg J \lg S'$

1 0.5 0.0735

2 0.5459 0.0853

3 0.5895 0.0941

4 0.6363 0.1206 (1-D)

5 0.6818 0.1529

6 0.7222 0.1981

7 0.7727 0.2353

8 0.8181 0.2880

9 0.8636 0.3235

10 0.9090 0.3529

11 0.9545 0.3827

12 0.9999 0.4411

13 1.0555 0.4765

14 1.0909 0.515815

15 1.1363 0.5528

16 1.1818 0.6089

17 1.2222 0.6413

18 1.2727 0.6768

19 1.3181 0.7265

20 1.3636 0.7647

21 1.4091 0.8

22 1.4545 0.8236

23 1.5 0.8529

24 1.5909 0.8824

25 1.5909 0.9059

26 1.6363 0.9265

27 1.6818 0.9412

28 1.7272 0.9559

29 1.7727 0.9706

30 1.8181 0.9765

31 1.8636 0.9824

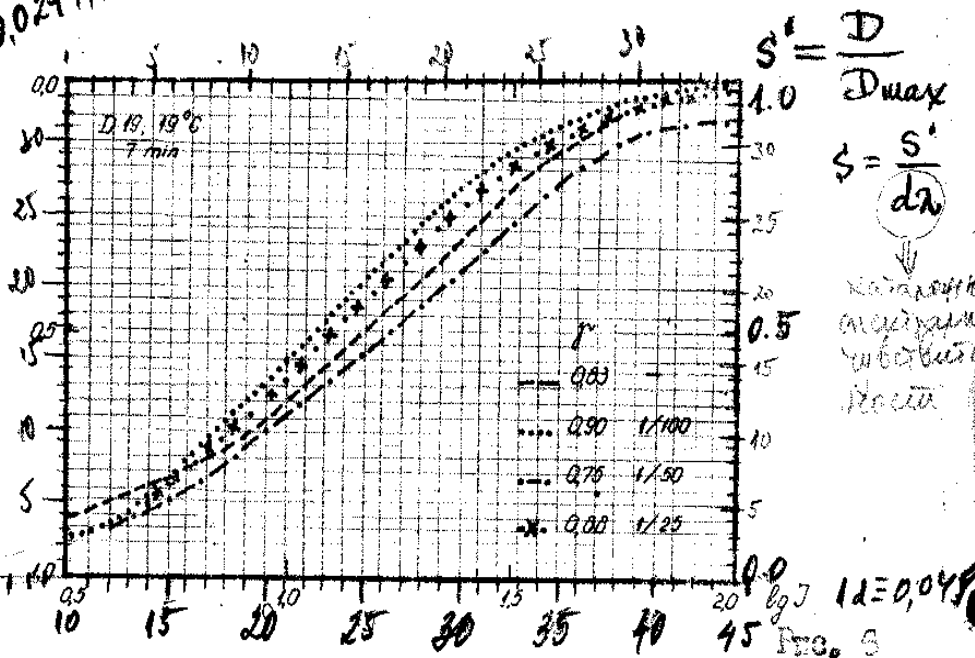
32 1.9091 0.9862

33 1.9545 0.9941

34 2.0 1.0

35

- 33 -



$$S' = \frac{D}{D_{\max}}$$

$$S = \frac{S'}{dN}$$

Найпръв  
издаден  
работил  
настъп.

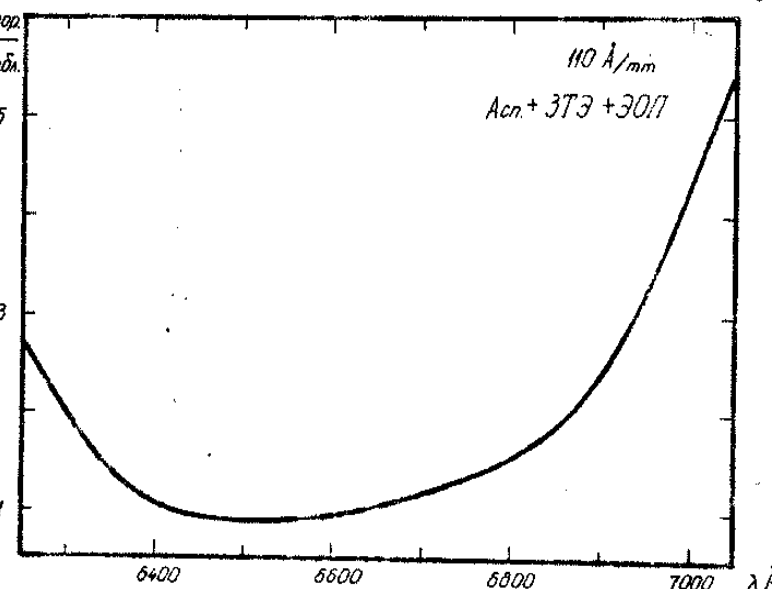


Рис. 7

Рис. 6 - Изменение коэффициента контрастности для поглощ.

им. А. СОО при очуваните им путем предварителната подстройка дигиталността в 1/25, 1/100 и 1/1000 сек.

30 1.8181 0.9765

A 600:  $I_{\max} \sim 2.5 \Rightarrow$  в табличата може да се  
напомни  $S'' = 1.5 + S'$

Таблица 3

Объект	Другое обозначение	Координаты 1950		II 6	тип	$m_P$	$CZ$ [км/с]	Размеры [м. Мин.]	B		
		I	2	3	4	5	6	7	8	9	10
Мрж	334			00 00,6	21 42	-39,5	Pec	14,4	7119	1,0 x 0,7	23,3
Мрж	341	IC 1559		00 34,2	23 43	-38,8	Sb	13,3	5692	0,7 x 0,4	24,0
Мрж	353	M6C 354		01 00,6	22 05	-40,4	Sb	14,2	4983		
Мрж	356			01 20,0	26 36	-35,5		16?	9000		
Мрж	369			02 34,7	20 56	-35,3		16?	3900		
Мрж	370			02 37,6	19 05	-36,6	Pec ?	13,5	999	1,5 x 1,1	23,3
Мрж	373			06 50,7	50 25	21,0		15,1	6000		
АКН	147	M6C 2469		07 54,0	56 49	31,4	E 0,5?13,2		3300	0,95x0,65	21,9
Мрж	86	M6C 2537		08 09,7	46 09	33,0	S.O ? II,7	424		6,7 x 4,5	24,6
Мрж	97			08 46,7	65 51	36,8			7200		
Мрж	109			09 19,1	47 27	44,8		15,7	9000	0,4	
M6C	2903			09 29,4	21 44	44,5	Sb/Sc	9,8	438	12,2xII,8	24,4
АКН	211			09 40,6	42 42	50,8		15,3		0,2 x 0,2	21,1
АКН	215			09 43,9	42 45	52	Sab	15,4	5400	0,3 x 0,3	22,0

Таблица 3 - продолжение

1	2	3	4	5	6	7	8	9	10
АКН 229		10 01,7	13 52	48,8	5b	13,6	2577	0,8 x I,0	21,4
АКН 257	<i>MCG</i> 3395	10 47,0	33 14	63,1	5c	12,1	1592	1,5 x 0,8	21,8
АКН 258	IC 651	10 48,5	-01 52	48,8	Pec	12,9	4200	0,8 x 0,8	21,4
<i>MCG</i> 3504		II 00,4	28 15	66,0	5a SBb	II,6	1489	2,4 x 2,4	22,8
АКН 283		II 10,8	47 51	62	5	13,6	5400	0,7 x 0,5	21,8
АКН 286		II 15,6	19 07	70	Pec	13,6	1050	0,6 x 0,6	21,8
<i>MCG</i> 3656		II 20,8	54 07	58,8	Pec,E?	13,4			
МРК 171б	<i>MCG</i> 3690	II 25,7	58 50	55	конт.	II,8	3060	2,2 x I,8	22,6
МРК 171а	IC 694	II 25,7	58 50	55			3060		
АКН 296	<i>MCG</i> 3690	II 26,2	35 41	73			2250	0,5 x 0,4	21,1
АКН 312		II 39,7	00 37	62	Pec	13,7	5400	0,4 x 0,25	20,6
МРК 186	<i>MCG</i> 3870	II 43,3	50 30	63,8	50?	13,2	690	1,0 x 0,8	22,3
МРК 190	<i>MCG</i> 3928	II 49,1	48 57	65,5	E0	13,1	1020	1,0 x I,0	22,4
АКН 337	<i>MCG</i> 3994	II 55,0	32 33	77,2	5	13,7	3000	0,7 x 0,4	21,8
МРК 198		II 06,6	47 20	68,4			7500	0,6 x 0,6	23,4
МРК 203		II 15,7	44 27	71,7	50?	13,4	7557	0,63x 0,4	21,4
<i>MCG</i> 4259		II 16,5	47 35	68,8	5b	8,9	580	12,0 x 4,0	22,8
<i>MCG</i> 4618		II 39,1	41 26	75,0	SBm	11,5	617	1,0 x 3,5	23,7
<i>MCG</i> 4631		II 39,7	32 49	86,2	5c, E <sub>S</sub>	5,8	6052	1,0 x 2,0	24,1

Таблица 3 - продолжение

1	2	3	4	5	6	7	8	9	10
Мрк 223		12 45,5	71 36	45,8		15,3	1200		
Мрк 237		12 59,1	30 19	85			9300		
Мрк 248		13 13,0	44 40	70		14,9	10887	0,3 x 0,25	
<i>MCG 5194</i>		13 27,8	47 27	68,6	Sc	8,8	580	9,0 x 8,0	22,8
Мрк 262		13 29,5	75 53	41,3			9000		
Мрк 281	<i>MCG 5383</i>	13 55,0	42 05	70,1	<i>SB8</i>	12,7	2201	2,5 x 2,1	23,9
Мрк 286	<i>MCG 5607</i>	14 18,7	71 50	43,1	<i>Pec</i>	13,9	7998	0,85x0,65	22,5
<i>MCG 5665</i>		14 30,0	08 18	59,4	Sc	12,6	2247	2,0 x 1,2	23,0
<i>MCG 5929</i>		15524,3	41 51	55,3	<i>E-S0</i>	13,0	2594	0,7 x 0,7	22,6?
Мрк 289		15 31,7	58 04	48		15,5	12000		
Ажн 533	<i>MCG 6488</i>	17 48,9	62 14	30		14,6		0,5 x 0,4	22,0
<i>MCG 6503</i>		17 49,9	70 10	39,4		10,9	266	8,4 x 6,7	24,5
Мрк 308		22 39,5	20 00	-33,2		14,7	7200	0,45x 0,3	21,8
Мрк 318	<i>MCG 7580</i>	23 15,1	13 44	-43,0	S ?	14,8	5019	0,7 x 0,6	22,1
Мрк 326	<i>MCG 7677</i>	23 25,6	23 15	-35,4	<i>SB8 ?</i>	13,9	4141	1,6 x 0,9	23,6
III 125		23 59,2	23 14	-38,0		13,9	4537		

Примечание: Красные смещения галактик, отмеченные звездочкой, брались из каталога Гислера, (1975), препринт, а для всех остальных галактик – из оригинальных публикаций: эти галактики – согласно Нильсон (1973).

5 - галактическая широта, 6 - морфологический тип галактики, 7 - фотографическая величина согласно Каталогу галактики и скоплений галактики Цвикки и др. (1961, 1963, 1965, 1966 а, б, 1968), 8 - красное смещение, 9 - размеры галактик согласно Морфологическому каталогу галактик Воронцова - Вельяминова и др. (1962, 1963, 1964, 1968), 10 - поверхностная яркость галактик в звёздных величинах с квадратной секунды.

Таблица 4 представляет дневник наблюдений. В столбцах приведены соответственно дата, № спектра, объект, время экспозиции, спектральный диапазон, дисперсия, спектрограф.

#### 5. ЭКВИВАЛЕНТНЫЕ ШИРИНЫ ЭМИССИОННЫХ ЛИНИЙ И ИХ ОТНОСИТЕЛЬНЫЕ ИНТЕНСИВНОСТИ В ЯДРАХ ГАЛАКТИК НЕСЕЙФЕРТОВСКОГО ТИПА

Эквивалентные ширины линий  $H_{\alpha}$ ,  $[N\text{ II}]\lambda\lambda 6548, 6584$ ,  $[S\text{ II}]\lambda\lambda 6717, 6731$  и в двух случаях  $[O\text{ I}]\lambda\lambda 6300, \lambda\lambda 6364$  определены для 10 галактик несейфертовского типа, не являющимися галактиками Маркаряна и не входящих в список Аракеляна (1975) (в дальнейшем мы будём называть их для краткости яркими галактиками). Для галактики *NGC* 2903 эквивалентная ширина линии  $H_{\alpha}$  приведенная в таблице 5, сильно преувеличена, поскольку спектр галактики недодержан. Аллоин (1973) приводит для этой галактики значение  $W_{H_{\alpha}} = 35$  Å. Поскольку шумы ЭОП и фотоэмulsionи довольно сильны, точность определения эквивалентных ширин для сильных линий около 20 %, а для слабых линий доходит до 50 %. В последовательных столбцах таблицы 5 приведены: 1 - объект, 2 -  $W_{H_{\alpha}}$ , 3 -  $W_{\lambda} 6548$ , 4 -  $W_{\lambda} 6584$ , 5 -  $W_{\lambda} 6717$ , 6 -  $W_{\lambda} 6731$ . В 7-ом и 8-ом столбцах приведены эквивалентные ширины линий  $[O\text{ I}]\lambda\lambda 6300, 6364$  для двух галактик, для

Таблица 4

Дата	Сп. №	Объект	<i>t</i> экс.	Обл	Лиспер	Спектрограф
I	2	3	4	5	6	7
II-12.IV.1978	4084	NGC 2685	30	H <sub>α</sub>	10I	УАГС + ЭОН
" " "	4086	4151	25	"	"	"
13-14.IV.1978	4093	2903	90	"	"	"
" " "	4094	NGC 3998	30	"	"	"
5-6. V.1978	4098	Мрк 185	90	"	"	"
" " "	4099	NGC 4486	40	"	"	"
6-7. V.1978	4104	HD 109995	10	"	"	"
7-8. V.1978	4107	NGC 4258	60	"	"	"
8-9. V.1978	4109	4278	30	"	III0	A - сп.+ ЭОН
" " "	4110	5195	10	"	"	"
" " "	4111	5194	8	"	"	"
" " "	4112	5929	30	"	"	"
9-10. V.1978	4113	3489	10	"	"	"
" " "	4114	3489	7	"	"	"
" " "	4115	3504	5	"	"	"
" " "	4116	4258	5	"	"	"
" " "	4117	5353	10	"	"	"
" " "	4119	5383	15	"	"	"
" " "	4120	5866	12	"	"	"
" " "	4121	6503	15	"	"	"
" " "	4122	6503	25	H <sub>β</sub>	"	"
10-II. V.1978	4125	4618	20	H <sub>α</sub>	"	"
" " "	4126	NGC 4631	30	"	"	"
14+15. V.1978	4129	B+33° - 2642	3	"	"	"
" " "	4131	NGC 5792	15	"	"	"
" " "	4132	NGC 5444	15	"	"	"

Таблица 4 - продолжение

I	2	3	4	5	6	7
14-15. V. 1978	4I33	N6C	5445	15	H <sub>2</sub>	III0
15-16. V. 1978	4I34		3928	15	"	"
" " "	4I35		3998	5	"	"
" " "	4I36		4374	5	"	"
" " "	4I37		4710	15	"	"
7 - 8.VI.1978	4I40		5930	15	"	"
" " "	4I41		5929	22	"	"
8-9.VI. 1978	4I42		3187	20	"	"
" " "	4I43		3656	25	"	"
" " "	4I44		3690	10	"	"
" " "	4I45		3870	12	"	"
" " "	4I46	N6C	5665	25	"	"
" " "	4I50		I800+I5	5	"	"
10-11.VI.1978	4I61	N6C	4486	7	"	230
" " "	4I62		4651	15	"	"
" " "	4I65	N6C	5194	5	H <sub>2</sub>	"
" " "	4I66		I800+I5	1	"	"
11-12.VI.1978	4I67	Akh	296	20	"	"
" " "	4I68	Akh	337	35	"	"
" " "	4I69	N6C	4258	5	"	"
" " "	4I70	N6C	4278	10	"	"

которых эти линии наблюдались.

Для определения эквивалентных ширин эмиссионных линий галактик высокой поверхностной яркости из списка Аракеляна (1975) было обработано 33 спектра, полученных Дорошенко и Теребижем, для которых наличие эмиссионных линий ими было отмечено. Кроме этого, было просмотрено и записано около 30 спектров, в которых подозревалось наличие эмиссионных линий. Эти последние спектры в таблицы не включены, поскольку линии или очень слабы или из-за красного смещения блендируются с эмиссионными полосами ночного неба. Для галактик Акн 296 и Акн 337 автором получены два спектра в области  $H\beta$  для выявления линии  $[O\ III]\ \lambda 4363$ , но эта линия нами не была обнаружена. В двух случаях – для галактик Акн 211 и Акн 257 дублет серии  $[S\ II]\ \lambda\lambda 6717, 6731$  не разделяется и поэтому определена только суммарная эквивалентная ширина. Линии  $[O\ I]$  не обнаружены. Полученные спектральные данные о галактиках высокой поверхностной яркости приведены в таблице 6, аналогичной таблице 5.

В таблице 7, аналогичной двум предыдущим таблицам, приведены эквивалентные ширины эмиссионных линий для 27 галактик Маркаряна. Эквивалентную ширину линии  $[N\ II]\ \lambda 6548$  в большинстве случаев не удается определить, поскольку она блендируется с линией  $H\delta$ . Во всех этих случаях в таблице есть знак "+" – присутствует, а эквивалентная ширина линии  $H\delta$  корректирована, исходя из того, что  $W_{\lambda 6584} = 3 W_{\lambda 6548}$ . Кроме галактик Маркаряна в таблицу включен и объект III Zw 125, для которого приведены эквивалентные ширины линии  $H\delta$  и  $[N\ II]\ \lambda\lambda 6548, 6584$ . Линии ионизованной серы не обнаружены.

Таблица 5

Эквивалентные ширины эмиссионных линий в ядрах

10 ярких галактик

Объект	$W_{H\alpha}$	$W_{\lambda 6548}$	$W_{\lambda 6584}$	$W_{\lambda 6717}$	$W_{\lambda 6731}$	$W_{\lambda 6300}$	$W_{\lambda 6362}$
NGC 2903	210:		100:				
3504	39	9,5	32	5,5	7,0		
3656	6,5	2,0	5,5				
4258	5,0	2,5	5,0	6,0	4,0		
4618	36	10	13		8,5	16	5,5
4631	56	12	29	12	12		
5194	9,5	7,5	19	3,5	3,0		
5665	46	9,5	28	20	19		
5929	17		18	8,5	7,5	17	2,5
NGC 6503	16	3,0	5,0	2,5	2,0		

Примечание: Поскольку спектр галактики NGC 2903 сильно неоднороден, значения эквивалентных ширин линий возможно преувеличены несколько раз, Аллоин (1973) приводит для  $W_{H\alpha}$  значение 35 Å.

Таблица 6  
Эквивалентные ширины эмиссионных линий в ядрах 12 галак-  
тик высокой поверхностной яркости

Объект	$W_{H\alpha}$	$W_{\lambda 6548}$	$W_{\lambda 6584}$	$W_{\lambda 6717}$	$W_{\lambda 6731}$
Акн 147	25	+	20	19	5,0
211	I7	4,0	I0		25
215	37		II		
229	I3		7,5		
257	30				I0
258	52	+	I6	6,5	I3
283	I2	I,5	4,5	3,0	2,5
286				I6	I5
296				3,0	3,0
312				9,5	8,5
337	27	3,0	I5	19	I2
Акн 533	39	+	34	9,0	I2

Таблица 7

Эквивалентные ширины эмиссионных линий в галактиках

Маркаряна

Объект	$W_{H\alpha}$	$W_{\lambda 6548}$	$W_{\lambda 6584}$	$W_{\lambda 6717}$	$W_{\lambda 6731}$
Mrk 86	48	+	18	6,5	5,5
97	21	+	15		
I09	72	+	23	35	41
I7Ia	56	9,5	39	43	52
I7Iб	92	20	93	45	40
I86	34	4,5	7	7,0	7,0
I90	34	14	17	6,5	9,5
I98	38	+	19		
203	58		30		
223	60		23		I7
237	69	+	18	8,5	6,5
248	27	+	28	I3	6,0
262	45	+	II	5,5	4,5
28I	33	3,5	I2	9,5	4,0
286	50	+	33	5,0	5,0
289	III6:	+	52:	3I:	34:
308	I36:	+	59:		
3I8	39	+	25	I2	I4
326	30	+	30	3,5	2,5
334	58	+	33		I0
34I	66	+	I2	42	26
353	48	+	28	5,0	8,0
356	презеп.			33	I9
369	42	+	20	I2	I2
370	55	+	I3	9,5	I0
373	43	+	.26	6,5	I2
Mrk 408	89	+	I0	I8	I7
III Zw I25	8	2,5	7		

На рисунках 8 – 10 для иллюстрации приведены регистрограммы спектров ярких галактик *NGC* 5383, 5665 и 5929. В нижней части регистрограмм записан спектр ночного неба. Спектр сравнения – неон.

## 6. ОТНОШЕНИЕ $[N\text{ II}] \lambda 6584 / H\alpha$ В ЯДРАХ ГАЛАКТИК

Поскольку для определения лучевых скоростей галактик до сравнительно недавнего времени снималась синяя область спектра, то индикатором наличия или отсутствия ионизованного газа служил лишь дублет ионизованного кислорода  $[O\text{ II}] \lambda 3727$ . Первый, кто наблюдал этот дублет в эллиптической галактике был Мэйолл (1936), обнаруживший его в галактике *NGC* 1052. Из работ Мэйолла (1939, 1958) известно, что дублет  $[O\text{ II}] \lambda 3727$  может с различной частотой наблюдаться в галактиках, представляющих все морфологические типы классификации Хаббла. Частота встречаемости этой линии, согласно цитированным работам, а также Хьюмасону, Мэйоллу и Сэндику (1956) минимальна (~15 %) в эллиптических галактиках и быстро растет с переходом к более поздним морфологическим типам.

В дальнейшем изучением межзвездной материи в эллиптических галактиках занимались Минковский и Остерброк (1959) и Остерброк (1960). Известно, что линия  $[O\text{ II}] \lambda 3727$  может наблюдаваться только в облаках ионизованного газа низкой плотности. Определяя электронную плотность в галактике *NGC* 1052, они показали, что плотность в этих облаках меньше, чем в планетарных туманностях и следовательно источник эмиссии может рассматриваться как межзвездная материя. Указанные авторы подробно изучили эмиссионный спектр галактики *NGC* 4278 и показали, что в ней линия  $[O\text{ II}] \lambda 3727$  возникает в области с диаметром около 170 пс – т.е. большим, чем для стандартной области  $H\text{ II}$ . Относительные интенсивности эмиссионных линий в среднем таковы, как в планетарных туман-

ностях низкого возбуждения или в диффузных туманностях. Осторожный определен содержание ионов для этой галактики при двух принятых значениях температуры - 10 и 20 тысяч градусов.

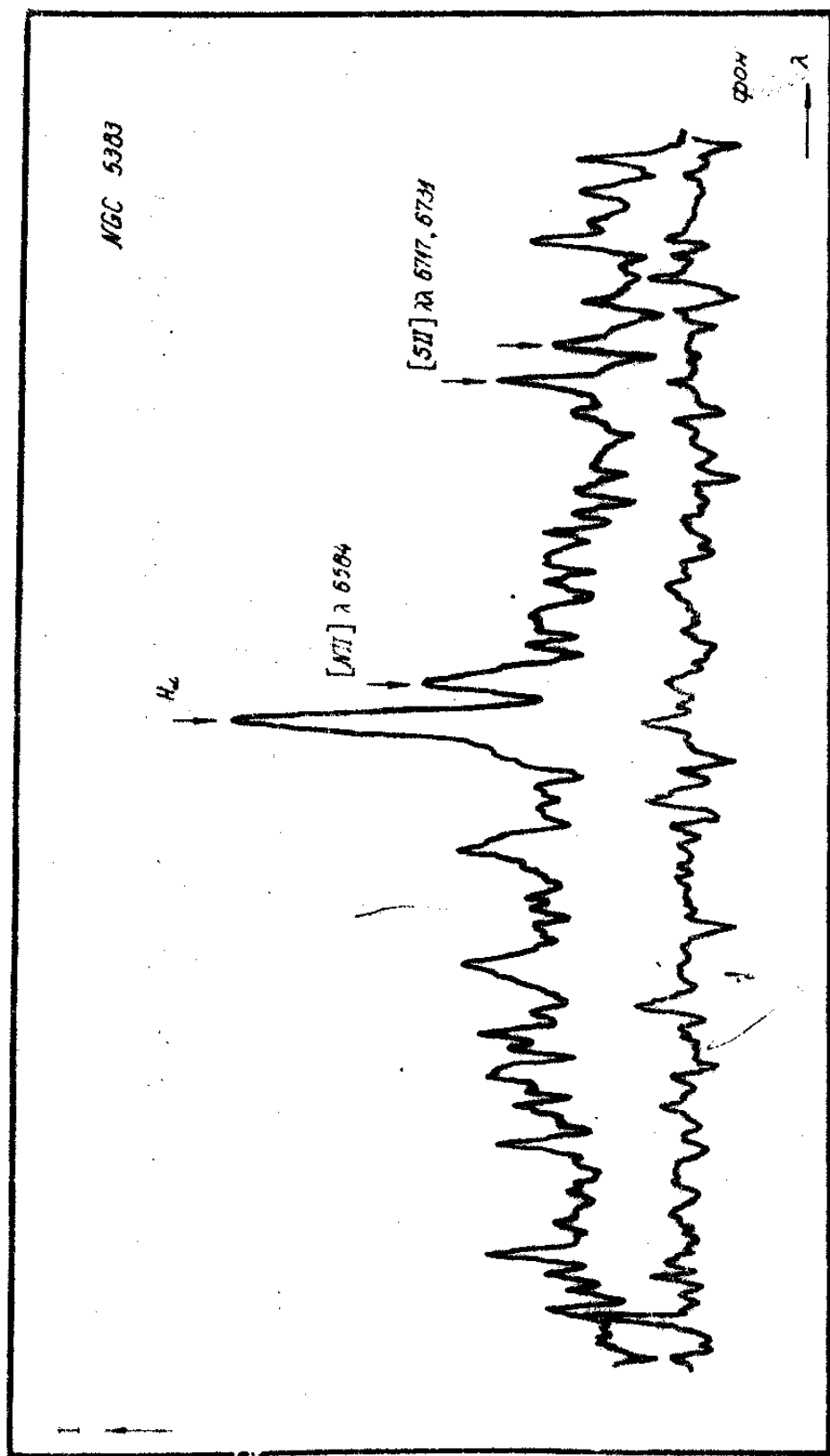
В 1952 году Пэйдж, исследуя двойные галактики, показал, что если в галактике наблюдается линия  $[O\text{ II}] \lambda 3727$ , то наблюдается и линия  $H_{\alpha}$ , причем чаще она сильнее  $\lambda 3727$ . Пэйдж первый продемонстрировал, что красная область спектра со всех точек зрения более информативна.

Бэрбидж и Бэрбидж (1962, 1965) первыми получили достаточный наблюдательный материал в красной области спектра для суждения о распределении газа в галактиках разных морфологических типов. Ими рассматривалось отношение  $[N\text{ II}] \lambda 6584/H_{\alpha}$  примерно в 85 галактиках для подавляющего большинства которых Хьюмасоном, Мэйоллом и Сандиджем уже эмиссия наблюдалась.

Основной результат указанных авторов состоит в установлении факта изменения отношения  $[N\text{ II}] \lambda 6584/H_{\alpha}$  от 0,2-0,3 в спиральных рукавах до 1 и больше /плоть до полного исчезновения  $H_{\alpha}$  в ядрах галактик/. При этом указанное отношение равно или **больше 1** для всех эллиптических галактик, для 81 % линзовидных галактик и для 55 % спиральных галактик. Для всех неправильных галактик это отношение равно или **меньше 0,3**.

Так как это отношение содержит информацию о звездном населении /возбуждение газа/, температуре, радиации и относительном содержании ионов, то необходимость его дальнейшего изучения очевидна.

Сопоставление результатов Бэрбиджа и Бэрбиджа с результатами исследования диффузных туманностей в Галактике показывает важное отличие в возможных состояниях газа в ядрах галактик



Фиг. 5 - Линейчатый спектр галактики NGC 5383, определенный методом спектрального анализа с шагом  $1.0 \text{ Å} / \text{дел}$ , выделен СРО 1000 един.,  $\lambda$  - спектральный диапазон с XII.

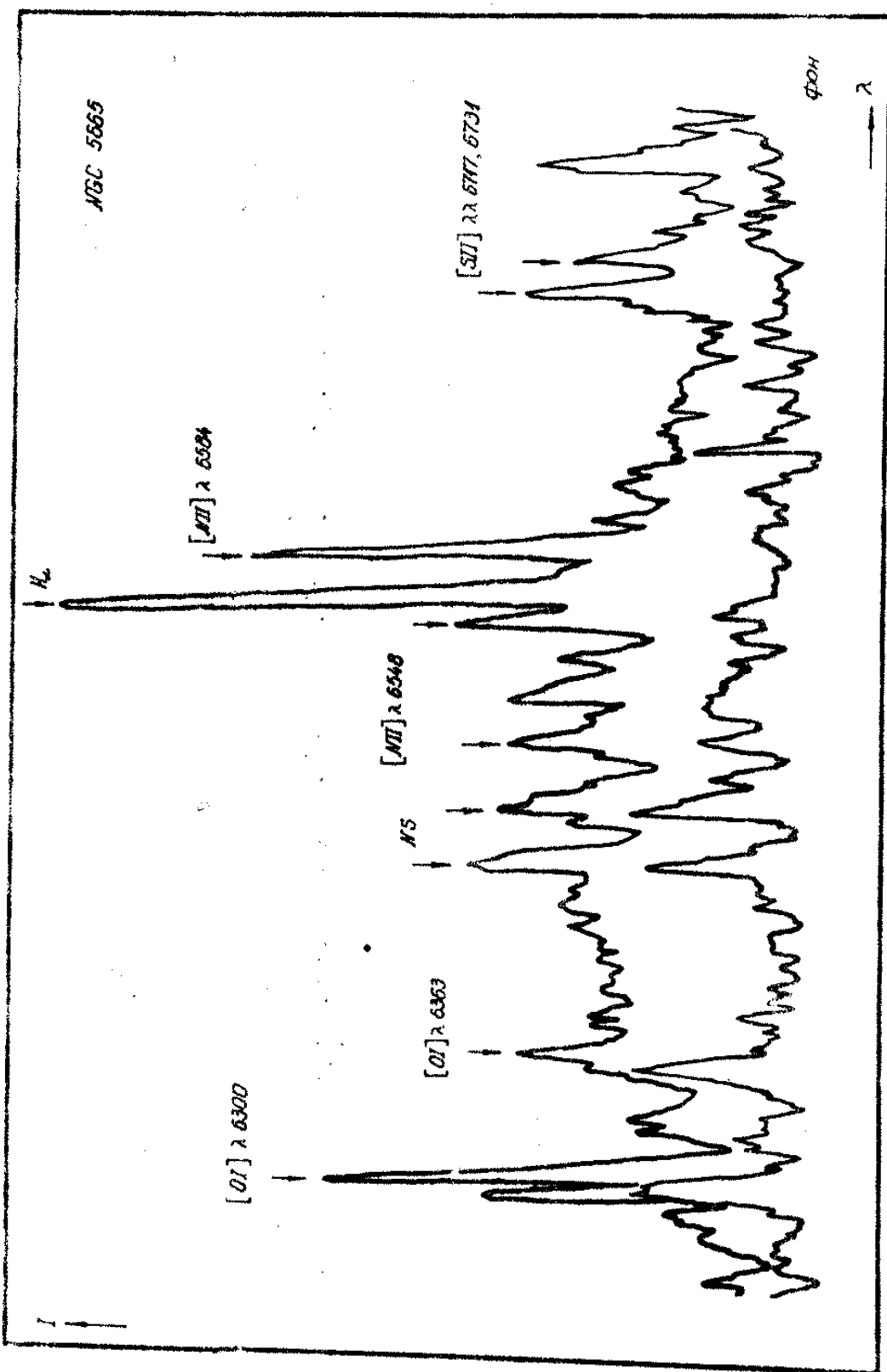


Рис. 9 - Стандартные спектры галактики NGC 5665, полученные дисперсией около 110 Å / мк, телескоп СТО 125 см, λ - спектрограф с ЗОП.

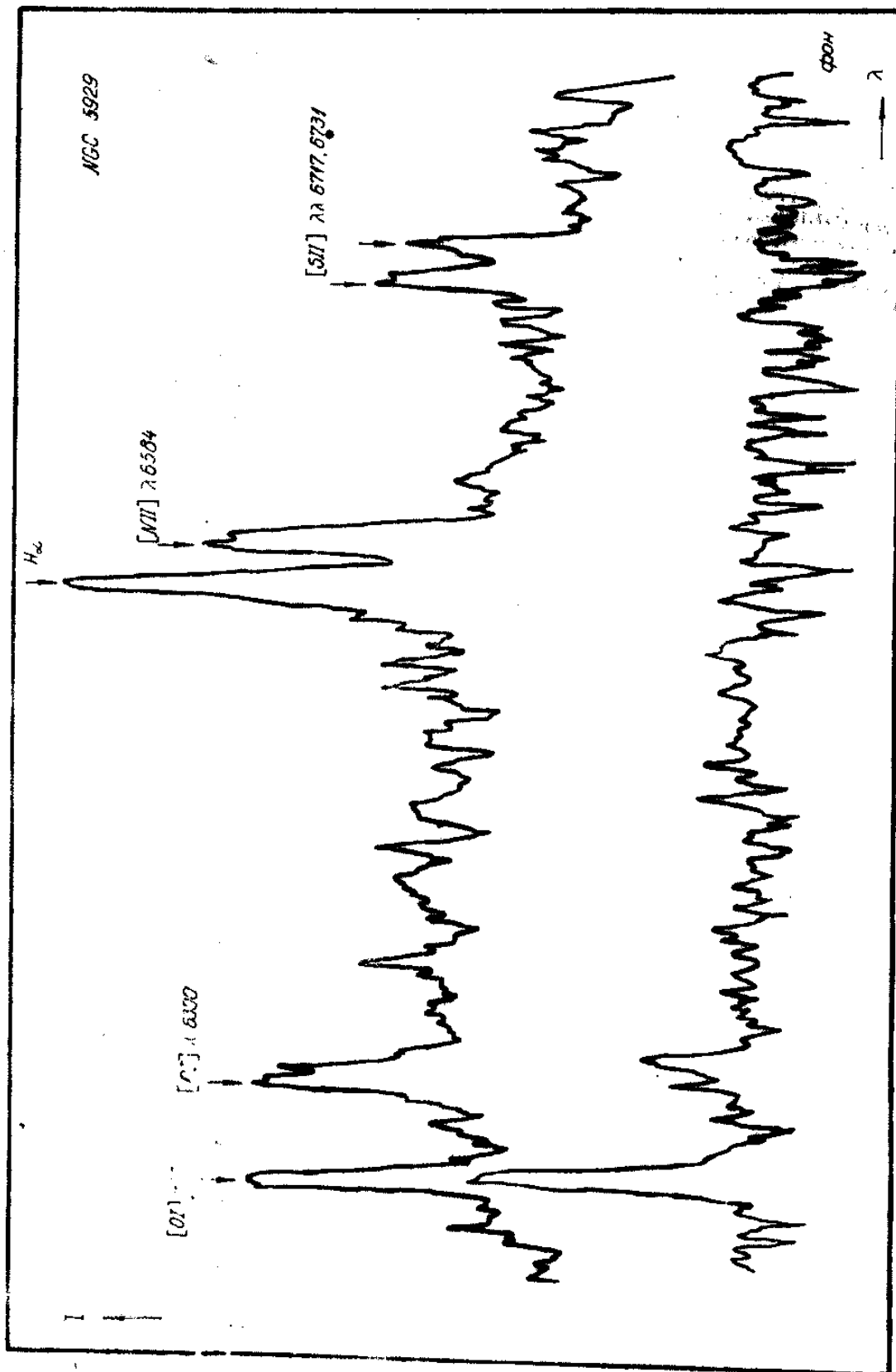


FIG. 12 - EMISSION LINES OF THE STAR NGC 5929, OBSERVED  
BY MEANS OF A SPERCHIOGRAPH WITH 110 A FOCAL LENGTH AND 120 MM DIAMETER.  
A = CORRESPONDING TO 3000.

и диффузных туманностях. Это отличие не было отмечено указанными авторами, но непосредственно следует из сравнения их результатов с результатами исследования диффузных туманностей. Для иллюстрации приведем краткую статистику частоты встречаемости линии  $H_{\alpha}$  и  $[N\text{II}] \lambda 6584$  в галактиках разных морфологических типов, основанную на данных Бэрбидж и Бэрбиджа.

Эмиссия наблюдалась в II эллиптических галактиках. Только в двух из них видна линия  $H_{\alpha}$ . Среди 16 50 галактик с эмиссией,  $H_{\alpha}$  видна только в 4. Линия  $H_{\alpha}$  наблюдалась также в 5 из 7  $Sa$  галактик с эмиссией и в 15 из 19  $Sb$  галактик. Для всех  $Sc$  галактик и неправильных галактик наблюдалась и  $H_{\alpha}$  и  $[N\text{II}] \lambda 6584$ . Сопоставляя эти данные с данными Мэйолла (1958), видим, что для большинства эллиптических и линзовидных галактик отношение  $[N\text{II}] \lambda 6584 / H_{\alpha} \geq 1$ , а часто  $H_{\alpha}$  просто не обнаружена.

Обратимся теперь к результатам исследования диффузных туманностей.

а/ Джонсон, (1953), изучая области H II в Галактике, отмечает, что после  $H_{\alpha}$ , чаще всего видна линия  $[N\text{II}] \lambda 6584$ . Их отношение меняется от 1,1 до 7,7 и в среднем равно 3,2. ( $r([N\text{II}]/H_{\alpha}) \sim 0,3$ )

б/ Куртез (1960) при помощи интерферометра Фабри - Перо исследовал эмиссионные области Галактики и группировал их в пять классов на основе отношения  $[N\text{II}] / H_{\alpha} > 0,3, = 0,3, < 0,3, [N\text{II}]$  - слаб.,  $[N\text{II}]$  отсутствует. Иными словами, не отмечается ни одного случая, когда  $H_{\alpha}$  не наблюдается. Между тем Бэрбидж и Бэрбидж не отмечают ни одного случая, когда наблюдается линия  $H_{\alpha}$ , а линия  $[N\text{II}] \lambda 6584$  не видна. Изучением отношения  $[N\text{II}]/H_{\alpha}$  в диффузных туманностях занимались и Куртез и другие (1969). Для полноты укажем на средние значения отношения  $[N\text{II}] \lambda 6584 / H_{\alpha}$  для

диффузных туманностей. По 49 объектам Галактики получено значение 0,45 (Янкулова, Петров, Голов 1980), для 27 туманностей галактики М 33 - 0,29 и по 37 областей Н II ближайших галактик по данным Смита (1975) получено 0,25. По 19 планетарным туманностям Галактики это отношение равно 0,07 и почти то же самое получено для 13 диффузных туманностей в Магеллановых облаках.

Указанное различие представляется нам принципиальным с той точки зрения, что оно может являться указанием на отличия в состояниях газа в ядрах галактик и диффузных туманностях. Оно явилось одним из факторов, подбуживших приведенные в настоящей работе спектральные наблюдения галактик, не проявляющих каких-либо пекулярностей.

Для объяснения изменений отношения  $N_{\alpha} / [N\text{II}]$  от спиральных рукавов к ядрам галактик Бэрбидж и Бэрбидж (1962), а также Бэрбидж и др. (1963) подробно рассмотрели две возможности:

а/ отношение  $N^+ / H^+$  более высокое в ядрах, чем во внешних областях галактик.

б/ в ядрах газ нагревается до температуры 10 - 20000 К за счет диссипации кинетической энергии звезд. В областях же Н II спиральных рукавов электронная температура оценивается в 6000 К.

Остерброк и Морган (1969) рассматривают изменения отношения  $N_{\alpha} / [N\text{II}]$  как следствие изменений только степени ионизации азота - предположение, которое исключалось Бэрбиджем и др. (1963).

Поскольку для примерно 40% исследуемых нами объектов морфологические типы не определены, то прямое сравнение наших результатов с результатами Бэрбидж и Бэрбиджа невозможно. Однако замечается некая тенденция. Отношение  $[N\text{II}] / N_{\alpha}$  для ярких галактик  $\sim 1$ , при этом в 5 случаях из 10 оно равно или больше 1, что сог-

ласуется со статистикой Бэрбидж и Бэрбиджа. С переходом к более активным объектам, однако, положение меняется. Для галактик Маркаряна и галактик высокой поверхностной яркости среднее отношение  $[N\text{ II}] / N_{\alpha}$  = 0,55. При этом лишь в небольшом числе объектов оно больше 1. В таблице 8 приведены средние отношения  $[N\text{ II}] / N_{\alpha}$  и их дисперсии для некоторых объектов.

Таблица 8

Отношение  $[N\text{ II}] / N_{\alpha}$  в диффузных туманностях и галактиках

Объекты	$\frac{6584}{N_{\alpha}}$	$\sigma$	$n$
Яркие галактики	1,06	0,71	10
Галактики Маркаряна	0,55	0,26	28
Галактики высокой поверхностной яркости	0,55	0,26	8
Диффузные туманности в Галактике	0,45	0,39	49
Диффузные туманности в галактике M 33	0,29	0,10	27
Области H II в ближайших галактиках	0,25	0,20	37
Диффузные туманности в Магеллановых Облаках	0,05	0,02	13

Таким образом, результаты наших наблюдений галактик, не входящих в списки Маркаряна и Аракеляна, находятся в хорошем согласии с результатами Бэрбидж и Бэрбиджа. Галактики же Маркаряна и галактики высокой поверхностной яркости с точки зрения отношения  $[N\text{ II}] / N_{\alpha}$  ближе к диффузным туманностям.

## ГЛАВА II

### ФИЗИЧЕСКИЕ УСЛОВИЯ В ЯДРАХ НОРМАЛЬНЫХ ГАЛАКТИК С ЭМИССИОННЫМИ ЛИНИЯМИ

#### § I. МЕТОДЫ ОПРЕДЕЛЕНИЯ ЭЛЕКТРОННЫХ ТЕМПЕРАТУР И ЭЛЕКТРОННЫХ ПЛОТНОСТЕЙ.

Методы количественного анализа спектров планетарных и диффузных туманностей разработаны достаточно подробно. При некоторой модификации их можно с успехом применять для анализа протяженных оболочек звезд и расширяющихся оболочек новых звезд. Этими методами можно изучать и физические условия в областях H II нашей и других галактик, а также в ядрах галактик, показывающих эмиссионные линии. В любом конкретном случае необходимо выяснить состоятельность всех допущений, сделанных при получении рабочих формул из более общих соотношений.

Определение физических условий в эмиссионных объектах по существу сводится к двум отдельным задачам.

а/ разработка методов определения физических условий и в частности определения электронных температур и плотностей.

б/ получение наблюдательных данных, необходимых для определения физических условий и вытекающих из разработанных методов.

Некоторые физические параметры - например, электронная температура, могут быть определены детальным рассмотрением всех процессов, происходящих в эмиссионных объектах. Проник (1962) производит обширный обзор методов определения электронных температур в газовых туманностях.

К 1918 году уже накопились немало спектров туманностей, но первые сведения об электронных температурах туманностей появились только в 1939 году, когда Амбарцумяном был разработан ставший

классический метод определения электронной температуры по запрещенным линиям поглощения ионизованного кислорода  $\lambda\lambda 4363, 4959$  и  $5007$ . Первые оценки по методу Амбарцумяна дали среднее значение для электронной температуры туманностей  $T_e \sim 7000$  К. / Оценки зависят от принятых значений эффективных сечений соударений и с их уточнением несколько изменились /. Беккер и др. (1938), решая уравнение лучистого равновесия при условии стационарности, получили связь между электронной температурой газа  $T_e$  и температурой центральной звезды  $T_x$  за пределом серии Лаймана для чисто водородной туманности. При этом однако получались слишком высокие температуры  $T_e$ . Расхождение между двумя оценками электронной температуры было объяснено Мензелом и Аллером (1941) охлаждением туманности на ионах  $O^{++}$ , не учитываемым Беккером и др. Этот эффект понижает электронную температуру туманности с примерно 57000 К до 8000 К, если относительное содержание ионов кислорода  $O^{++} / X_i$  порядка  $10^{-4}$ .

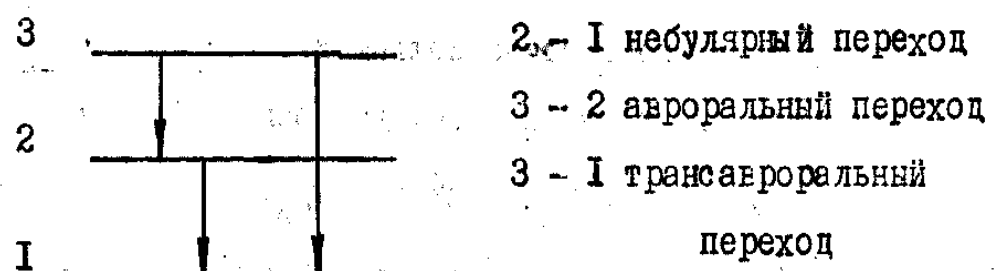
Соболев (1941) предложил метод определения электронных температур, идея которого состоит в том, что количество энергии, которое получают электроны при фотоионизации водорода, должно равняться полному количеству энергии, которое они теряют при взаимодействии с другими атомами и ионами, плюс энергия рекомбинирующих электронов. Он исходил из того, что электроны теряют энергию на излучение в непрерывном спектре, на возбуждение линий [O III]  $\lambda\lambda 4959, 5007$  и при неупругих столкновениях с атомами водорода. Найденная при помощи выведенного им уравнения температура для ряда планетарных туманностей порядка  $13 - 19 \times 10^3$  К.

Аллер (1953) представил энергию, излучаемую туманностью в запрещенных линиях в виде:  $E = E_{H\beta} \sum_i / I_{H\beta}$ , где  $E_{H\beta}$  энергия, из-

лучаемая в линии  $H_{\beta}$ ,  $\Sigma I_i / I_{H_{\beta}}$  - наблюдаемое отношение суммарной интенсивности всех запрещенных линий к интенсивности линии  $H_{\beta}$ . Значения электронных температур, полученные этим методом, как правило существенно больше значений, определенных по запрещенным линиям дважды ионизованного кислорода.

Поскольку метод энергетического баланса нами не применялся, то подробно на нем останавливаться не будем.

Основной метод определения электронной температуры основывается на сравнении интенсивностей двух запрещенных линий с одним совпадающим уровнем одного и того же иона, возбуждаемых электронными ударами. При этом, чем больше разность в потенциалах возбуждений верхних уровней этих линий, тем меньше ошибка определения  $T_e$ , обусловленная неточностью наблюдений. Если для этих линий, помимо потенциалов возбуждения, существенно отличаются еще и вероятности спонтанных переходов, их отношение будет зависеть и от электронной плотности  $N_e$ . Таким образом, для определения и электронной температуры и электронной плотности, необходимы два соотношения, связывающих небуллярные линии с авроральными или трансавроральными с небуллярными (Ситон, 1954).



$$\text{Для иона } O^{++} \quad \frac{I_{\text{неб}}}{I_{\text{авр}}} = \frac{\chi_{21} A_{21} n_2}{\chi_{32} A_{32} n_3}, \text{ где } n_2 \text{ и}$$

$n_3$  - населенности соответствующих уровней,  $A_{21}$  и  $A_{32}$  - вероятности переходов,  $\chi_{21}$  и  $\chi_{32}$  - потенциалы возбуждения. Соотношения этого типа существуют для линий [O III]  $\lambda\lambda 4363, 4959, 5007$ , а

также и для линий [Ne II]  $\lambda\lambda$  5755, 6548, 6584, [Ne III]  $\lambda\lambda$  3343, 369, 3968, [Ne V]  $\lambda\lambda$  2972, 3346, 3426 и других линий ионов  $S^{+}$ ,  $H^{+}$ ,  $Ar^{+++}$ ,  $O^0$ ,  $N^0$  и других. Поскольку в общем случае отношение  $A_{\text{бр}} / I$  не зависит и от электронной температуры и от электронной плотности, то на плоскости  $N_e$ ,  $T_e$  должны существовать семейства кривых равных отношений.

В случае, когда потенциалы возбуждения верхних уровней двух линий равны или очень близки, а вероятности спонтанных переходов различные, отношение интенсивностей этих линий слабо зависит от электронной температуры. На этом основывается метод определения электронной плотности по отношению интенсивностей линий ультрафиолетового дублета однократно ионизованного кислорода  $\lambda 3726 / \lambda 3729$  [O II], предложенный Ситоном и Остерброком, 1976).

Рабочие формулы для некоторых практически важных линий приведены в нижеследующей таблице, взятой из работы Калера и др.

$$t = 10^{-4} T_e \text{ и } X = 10^{-2} N_e T_e^{-1/2}.$$

Наиболее полезной из приведенных ниже формул является формула (5), связывающая запрещенные линии дважды ионизованного кислорода, поскольку линии достаточно сильны и свободны от блещущей ошибки. Ошибки происходят из-за того, что обычно  $X = 10^{-2} N_e T_e^{-1/2}$  неизвестно точно. Для  $T_e = 10^4$  К и  $N_e = 10^4 \text{ см}^{-3}$   $X = 1$  и с точностью 6 % выражением 0,063  $X$  в знаменателе формулы (5) можно пренебречь по сравнению с единицей. Таким образом уравнение (5) превращается в уравнение для определения электронной температуры  $T_e$ . Однако, при  $N_e \geq 10^5 \text{ см}^{-3}$  и разумных  $T_e > 0,063 X$  в знаменателе формулы (5) не является пренебрежимо малым по сравнению с единицей. В этих случаях уравнение (5) является уравнением с

$$[OI] \quad \frac{I_{\lambda 5577}}{I_{\lambda 6300} + I_{\lambda 6363}} = 0,113 \cdot t^{0,06} \cdot 10^{-1,12t}; \quad t = 10^4 T_e \quad (1)$$

[SII]  $I_{\lambda 6717}/I_{\lambda 6731}$  — заподобулировано Krueger et al., 1970, ApJ, 160, 921 и другими

[OII]  $I_{\lambda 3726}/I_{\lambda 3729}$  — заподобулировано Somach & Seaton, 1970, MNRAS, 148, 367

$$[NII] \quad \frac{I_{\lambda 6548} + I_{\lambda 6584}}{I_{\lambda 5755}} = \frac{6,92 \text{ dex } (10850/T_e)}{1+0,31x} \quad \text{Seaton, 1975, MNRAS, 170, 475.} \quad (2)$$

$$[SIII] \quad \frac{I_{\lambda 9531} + I_{\lambda 9069}}{I_{\lambda 6312}} = \frac{4,80 \text{ dex } (9300/T_e)}{1+0,021x} \quad (3)$$

[CIII]  $I_{\lambda 5537}/I_{\lambda 5517}$  — заподобулировано Krueger et al., 1970, ApJ, 160, 921

$$[AIII] \quad \frac{I_{\lambda 7751} + I_{\lambda 7135}}{I_{\lambda 5192}} = \frac{11,08 \text{ dex } (12000/T_e)}{1+0,0041x} \quad (4)$$

$$[OIII] \quad \frac{I_{\lambda 4959} + I_{\lambda 5007}}{I_{\lambda 4363}} = \frac{7,20 \text{ dex } (14300/T_e)}{1+0,053x} \quad \text{Seaton, 1975, MNRAS, 170, 475.} \quad (5)$$

$$[CIV] \quad \frac{I_{\lambda 8045} + I_{\lambda 7530}}{I_{\lambda 5323}} = \frac{8,75 \text{ dex } (11700/T_e)}{1+0,005x} \quad (6)$$

[ArIV]  $I_{\lambda 4740}/I_{\lambda 4711}$  — заподобулировано Krueger et al., 1970, ApJ, 160, 921 и другими

$$[ArIV] \quad \frac{I_{\lambda 7237} + I_{\lambda 7170}}{I_{\lambda 4740}} = 37,2 \frac{b_5}{b_2} \text{ dex } (-8615/T_e) \quad (7)$$

$\frac{b_5}{b_2}$  — заподобулировано Czysack et al., 1970, Proc. Nat. Acad. Sci., 66, 282

$$[NeIII] \quad \frac{I_{\lambda 3868} + I_{\lambda 3968}}{I_{\lambda 3342}} = \frac{13,5 \text{ dex } (18700/T_e)}{1+0,0027x} \quad \text{Seaton, 1975, MNRAS, 170, 475.} \quad (8)$$

[KIV]  $I_{\lambda 4163}/I_{\lambda 4122}$  — заподобулировано Somach & Seaton, 1970, MNRAS, 148, 367.

$$[ArV] \quad \frac{I_{\lambda 7005} + I_{\lambda 6435}}{I_{\lambda 4825}} = \frac{15,7 \text{ dex } (13500/T_e)}{1+0,0021x} \quad (9)$$

двуя неизвестными и для решения необходимы некоторые дополнительные соображения.

Для газовых туманностей очень часто определяют  $X$  по отношению интенсивностей линий [O II]  $I_{\lambda} 3726 / I_{\lambda} 3729$  или [S II]  $I_{\lambda} 6717 / I_{\lambda} 6731$  и с полученным таким способом  $X$  из уравнения (5) определяют  $T_e$ . Поскольку в общем случае электронные плотности в газовых туманностях порядка  $10^3 - 10^4 \text{ см}^{-3}$ , то допускаемая при этом ошибка невелика. Тем не менее операция эта не совсем корректина, поскольку известно немало случаев, когда  $n_e > 10^4 \text{ см}^{-3}$ . Кроме того, как уже отмечалось, ионы  $O^{++}$ ,  $O^+$  и  $S^+$  светятся в разных зонах, в которых физические условия могут сильно отличаться. Совместное решение уравнений (2) и (5) по этой причине не дает истинного значения электронной температуры и плотности, хотя оба уравнения зависят и от того и от другого параметра. Полученные таким путем результаты должны рассматриваться как некоторые средние параметры, характеризующие излучающий газ. В зависимости от потенциалов ионизации более естественно решать совместно уравнения (5) с (7) или с (8). Препятствием к этому является тот факт, что линии [Ar IV] слабы, а линия  $\lambda 3342$  [Ne III] редко наблюдается, поскольку для этого требуется кварцевая оптика.

## § 2. ХИМИЧЕСКИЙ СОСТАВ ЭМИССИОННЫХ ОБЪЕКТОВ

В спектрах практически всех эмиссионных объектов присутствуют водородные линии излучения. В эмиссионных объектах, оптически тонких для излучения в линии  $H_{\beta}$ , отношение интенсивности  $I_i$  некоторой запрещенной линии к интенсивности линии  $H_{\beta}$  можно записать в виде

$$\frac{I_i}{I_{H\beta}} = \frac{n_e r}{n_p} \theta_i (n_e, T_e) \quad (10)$$

где  $I_i / I_{H\beta}$  - относительные интенсивности эмиссионных линий, полученные из наблюдений и исправленные за дифференциальное межзвездное покраснение света,  $n_{ir}/n_p$  - отношение плотностей соответствующих ионов в основном состоянии (поскольку есть сильная дилатация излучения, практически все атомы или ионы находятся в основном состоянии) к плотности протонов,  $\theta_i(n_e, T_e)$  - некоторая функция электронной температуры и электронной плотности. Формулы для вычисления  $\theta_i(n_e, T_e)$  приведены например Боярчуком и др. (1963), а графики с учетом уточнения некоторых атомных параметров - Боярчуком и др. (1969). Следует отметить, что при низких электронных плотностях зависимость функции  $\theta_i$  от  $n_e$  становится пренебрежимо малой.

Как известно, отношения интенсивностей небуллярных, аворальных и трансаворальных линий практически не зависят от степени ионизации соответствующего элемента - степенью ионизации обусловлена абсолютная светимость в этих линиях. Поэтому, не привлекая никаких дополнительных соображений о поле излучения, химическом составе и т.д., пользуясь формулами (I - 9) или их графическим представлением, возможно определить электронную температуру и плотность. Соотношения (10), однако, более общие. Они связывают отношения интенсивностей эмиссионных линий, отношения плотностей соответствующих ионов и протонов и некоторую известную функцию электронной плотности и температуры. В принципе, если из каких-либо иных соображений известны химический состав излучающего газа и степень ионизации светящегося вещества, с помощью формулы (10) возможно определить функцию  $\theta_i(n_e, T_e)$  для нескольких линий и далее по приведенным графикам определить и значения электронной плотности и электронной температуры.

С другой стороны, зная значения  $n_e$  и  $T_e$  и относительные ин-

тенсивности запрещенных линий из наблюдений , по той же формуле возможно определить содержание данного элемента по отношению к водороду ( в общем случае определяется содержание какого - либо иона). Для облегчения всех количественных расчетов , все графики, приведенные Боярчуком и др. (1969) , построены в одном и том же масштабе.

Удобный метод для определения содержания ионов и химического состава эмиссионных объектов предложил Пеймберт (1963) . Поскольку он приложил свою схему к ядрам галактик M 51 и M 81 , а наша задача - сравнительное исследование физических условий в ядрах псевдогалактик и нормальных галактик , то в дальнейшей работе мы следовали схеме Пеймбера. Для определения относительного содержания генов Пеймберт использует следующие соотношения :

$$\frac{N(O^+)}{N(H^+)} = 72 \cdot 10^{-5} \frac{47,6x + 6,8x^2}{1+5,6x} T_e^{-0,375} \frac{I_{\lambda 3727}}{I_{H\alpha}} e^{\frac{386 \cdot 10^4}{T_e}} \quad (11)$$

$$\frac{N(O^{++})}{N(H^+)} = 1,65 \cdot 10^{-4} (1+0,01x) \cdot T_e^{-0,375} \frac{I_{\lambda 5007}}{I_{H\alpha}} e^{\frac{289 \cdot 10^4}{T_e}} \quad (12)$$

$$\frac{N(N^+)}{N(H^+)} = 1,65 \cdot 10^{-4} (1+0,14x) \cdot T_e^{-0,375} \frac{I_{\lambda 6584}}{I_{H\alpha}} e^{\frac{220 \cdot 10^4}{T_e}} \quad (13)$$

Формула (11) верна для  $T_e$  порядка 10000 К и  $x < 1$  .

Далее Пеймберт предполагает , что кислород находится только в состоянии однократной или двукратной ионизации. В таком случае полное содержание кислорода по отношению к водороду будет определяться выражением

$$\frac{N(O)}{N(H)} = \frac{N(O^+) + N(O^{++})}{N(H^+)} \quad (14)$$

Это выражение , как отмечает Пеймберт , подтверждается тем фак-

том, что отношение  $I_{\lambda} 5007 / I_{\lambda} 3727$  обычно мало, что свидетельствует об относительной малости количества кислорода в третьем и более высоких состояниях ионизации. Наличие линии  $[O II] \lambda 6300$  указывает на то, что есть некоторое количество нейтрального кислорода, но поскольку потенциалы ионизации  $H^0$  и  $O^0$  практически одинаковы, то можно ожидать, что такая же часть водорода находится в нейтральном состоянии. Подобным образом, чтобы определить полное количество азота, необходимо найти какой-то коррекционный множитель, учитывающий долю ненаблюдаемых ионов. На основании того факта, что потенциалы ионизации азота и кислорода практически совпадают, Пеймберт определяет

$$\frac{N(N)}{N(H)} = \frac{N(O^+) + N(O^{++})}{N(H^+)} \cdot \frac{N(N^+)}{N(H^+)} \quad (15)$$

Рассматривая отношения  $I_{[N II]} \lambda 6584 / I_{H_\alpha}$  и  $[S II] \lambda 6724 / I_{H_\alpha}$  для областей H II в галактике M 33 Бенвенути и др. (1973) установили, что  $N^+ \sim S^+$  и на основании этого предлагают формулу для определения относительного содержания ионизированной серы, использованная в дальнейшем и нами

$$\frac{N(S^+)}{N(N^+)} = (1 + 0.14x) \cdot 3.43 e^{\frac{5.10^2}{T_e}} \frac{I_{\lambda} 6724}{I_{\lambda} 6584} f(x, T_e), \quad f(x, T_e) \approx 1 \quad (16)$$

Предположение, что  $N^+ / S^+ \sim N / S$  оспаривалось несколькими авторами (см. напр. Хаули и Гранди, 1977) и по-видимому не отвечает действительности. Для определения полного содержания серы Пеймберт и др. (1975), исходя из разницы в потенциалах ионизации, предложили следующую формулу:

$$\frac{N(S)}{N(H)} = \frac{N(O^+) + N(O^{++})}{N(O^{++})} \cdot \frac{N(S^+) + N(S^{++})}{N(H^+)} \quad (17)$$

для применения которой необходимы наблюдения, охватывающие  $[S III] \lambda 9069, 9532$ , к сожалению, находящиеся в инфракрасной об-

ласти спектра. Обзоры рассматриваемой проблемой приводят Остерброк (1970) и Пеймберт (1975).

Для определения содержания ионов гелия Пеймберт и Спинрад (1970 б) предлагают следующие формулы, которыми пользовались и мы:

$$\frac{He^+}{H^+} = 9.8 \cdot 10^{-2} \cdot T_e^{0.22} \frac{I_{\lambda 5876}}{I_{H\beta}} = 6.3 \cdot 10^{-1} \cdot T_e^{0.13} \frac{I_{\lambda 4472}}{I_{H\beta}} = 6.5 \cdot 10^{-1} \cdot T_e^{0.13} \frac{I_{\lambda 5876}}{I_{H\alpha}} \quad (18)$$

$$\frac{He^{++}}{H^+} = 0.099 \frac{I_{\lambda 4686}}{I_{H\beta}} \quad \text{для } T_e = 10000 \text{ К}$$

Следует отметить, что неопределенность в значениях электронных температур в 1000 К приводит к погрешности в 1 - 2 % при определении содержания ионов  $He^+$  (Спинрад и Пеймберт (1975)).

### § 3. ФИЗИЧЕСКИЕ УСЛОВИЯ И СОДЕРЖАНИЕ ИОНОВ В ЯПРАХ

#### ГАЛАКТИК С ЭМИССИОННЫМИ ЛИНИЯМИ

Из содержания § I следует, что для определения электронных температур и плотностей необходимы наблюдательные данные из спектрального диапазона примерно от 3200 до 7000 Å. Кроме этого, необходимы спектры высокого спектрального разрешения и чистоты, чтобы выявить слабые эмиссионные линии, если они присутствуют в спектре. Для большинства исследованных нами объектов подобные данные получить не удалось. В лучшем случае мы располагали двумя спектрами – один "красный", центрированный на линию  $H_\alpha$  и один "синий", центрированный на линию  $H_\beta$ . Даже в этих случаях линия [O III] λ4363 не выявлялась. Поэтому возможности получить прямую оценку электронной температуры мы не имели. Однако дублет ионизованной се́рии [S II] λλ 6717, 6731 почти во всех случаях был разрешен и это давало возможность определить величину  $X = 10^2 n_e T_e^{-1/2}$  (Вилман, 1968). При условии  $T_e = 10^4$  К эта величина дает электронную плотность в зонах [O II] излучающего газа. многими авторами было показано, что электронная температура областей H II порядка  $10^4$  К. За неимением

лучшего с целью получения количественных оценок, нами были определены содержания некоторых ионов и электронной плотности в ядрах примерно 50 галактик несейфертовского типа, в двух предположениях о значении  $T_e$  - 7500 и 10000 К. Рабочие формулы для определения содержания ионов получены из формул (II-13 и I6) подстановкой в них принятых значений  $T_e$ .

В таблице 9 приведены относительные интенсивности эмиссионных линий величины  $b_X$  и логарифмы чисел ионов  $N^+$  и  $S^+$  для 10 ярких галактик, перечисленных в первом столбце, полученные в предположении, что количество водородных атомов равно  $10^{12}$ . Содержание ионов определялось для двух значений электронной температуры - 7500 и 10000 К. В двух последних столбцах таблицы для сравнения приведены логарифмы чисел ионов  $S^+$  для тех же электронных температур, определенные по графикам, приведенным Боярчуком и др. (1969).

Полученные различия в относительном химическом составе ядер различных галактик часто превышают различие *par* значений, соответствующих двум принятым значениям электронной температуры у той же галактике. Это указывает на реальность различий результатов, относящихся к разным галактикам.

Следующей группой исследованных объектов являются 12 галактик высокой поверхностной яркости из списка подобных объектов, составленного Аракеляном (1975). Этот список содержит 620 галактик. Семь из них включены в сводках Видмана (1977, 1978) как обладающие признаками, характерными для галактик сейфертовского типа. Аракелян (1977) показал, что среди этих объектов имеется избыток галактик с радиоизлучением на частоте 408 МГц. У некоторых галактик из списка Аракеляна заподозрено или обнаружено рентгеновское

излучение (Елвис и др. 1978). Перечисленные факты иллюстрируют целесообразность более детального исследования галактик высокой поверхностной яркости с точки зрения определения физических условий в ядрах этих объектов.

По спектрам, любезно предоставленными В.Т.Дорошенко и В.Ю.Теребижем, нами определены некоторые физические параметры, дающие общую картину условий излучающего газа в ядрах этих галактик. Методика изложена в параграфах 1 и 2 настоящей главы.

Таблица 9

Физические условия и содержание ионов в ядрах

ярких галактик

Объект	<i>I<sub>6584</sub></i>	<i>I<sub>6724</sub></i>	<i>I<sub>6717</sub></i>	<i>lg X</i>	<i>N<sup>+</sup></i>		<i>S<sup>+</sup></i>		<i>S<sup>+</sup></i>	
	<i>I<sub>Hα</sub></i>	<i>I<sub>Hα</sub></i>	<i>I<sub>6731</sub></i>		7500 K	10000 K	7500 K	10000 K	7500 K	10000 K
NGC 2903	0,34				7,57	7,20				
3504	1,06	0,32	0,83	3,35	8,08	7,71	6,99	6,64	7,28	6,87
3656	1,12				8,09	7,72				
4258	1,54	0,75	2,21		8,22	7,86	7,35	6,99		
4618	0,63	0,10			7,83	7,47	6,47	6,12		
4636	0,70	0,50	0,83	3,35	7,90	7,53	7,18	6,83	7,48	7,34
5194	2,81	0,65	1,15	2,80	8,49	8,13	7,29	6,93	7,60	7,20
5665	0,80	0,48	1,22	2,55	7,94	7,58	7,16	6,80	7,46	7,08
5929	1,08	0,90	1,22	2,55	8,07	7,71	7,43	7,07	7,73	7,34
NGC 6503	0,48	0,18	1,21	2,65	7,72	7,36	6,73	6,37	7,04	6,63

Примечание: Теоретические границы отношения  $I_{\lambda 6717} / I_{\lambda 6731}$  0,43 - 1,42, что соответствует значениям  $lg X$  от 6 до 1 соответственно.

Таблица 10

Физические условия и содержание ионов в ядрах галактик высокой  
поверхностной яркости

Объект	<i>I</i> <sub>6584</sub>	<i>I</i> <sub>6724</sub>	<i>I</i> <sub>6717</sub>	<i>log X</i>	<i>N</i> <sup>+</sup>		<i>S</i> <sup>+</sup>		<i>S</i> <sup>+</sup>	
	<i>I</i> <sub>H<sub>α</sub></sub>	<i>I</i> <sub>H<sub>α</sub></sub>	<i>I</i> <sub>6731</sub>		7500 K	10000 K	7500 K	10000 K	7500 K	10000 K
Aкн 147	1,00	0,75	2,81		8,04	7,67	7,35	6,99		
2II	0,56	1,09			7,78	7,42	7,51	7,16		
2I5	0,29				7,50	7,13				
229	0,54				7,77	7,40				
257			1,02	3,05						
258	0,30	0,28	0,54	3,95	7,57	7,20	6,97	6,61	7,23	6,83
283	0,34	0,34	1,23	2,55	7,57	7,21	7,00	6,65	7,30	6,91
286		0,16	1,14	2,85					6,98	6,58
296			1,10	2,92						
3I2		0,17	1,20	2,70					7,00	6,61
337	0,54	0,30	1,70		7,77	7,40	6,95	6,59		
Aкн 533	0,86	0,55	0,80	3,40	7,99	7,62	7,23	6,87	7,52	7,11

Таблица II

Физические условия и содержание ионов в ядрах галактик Маркаряна

Объект	<i>I</i> <sub>6584</sub>	<i>I</i> <sub>6724</sub>	<i>I</i> <sub>6717</sub>	<i>log X</i>	<i>N</i> <sup>+</sup>		<i>S</i> <sup>+</sup>		<i>S</i> <sup>+</sup>	
	<i>I</i> <sub>H<sub>α</sub></sub>	<i>I</i> <sub>H<sub>δ</sub></sub>	<i>I</i> <sub>6731</sub>		7500 K	10000 K	7500 K	10000 K	7500 K	10000 K
Мрк 36	0,36	0,24	1,12	2,72	7,60	7,23	6,86	6,50	7,15	6,76
97	0,67				7,86	7,50				
109	0,30	0,68	0,88	3,28	7,53	7,16	7,32	6,96	7,61	7,20
171a	0,84	1,00	0,83	3,35	7,97	7,61	7,48	7,13	7,78	7,38
171b	1,II	0,64	1,22	2,65	8,09	7,72	7,28	6,92	7,60	7,20
186	0,35	0,42	1,08	2,95	7,59	7,22	7,10	6,75	7,40	7,00
190	0,53	0,37	0,76	3,45	7,78	7,41	7,06	6,70	7,34	6,95
193	0,50				7,74	7,37				
203	0,50				7,74	7,37				
223	0,35	0,20			7,58	7,22	6,77	6,42		
237	0,98	0,32	0,56	3,90	8,08	7,71	7,02	6,67	7,28	6,89
248	1,02	0,87	1,26	2,57	8,08	7,68	7,42	7,06	7,72	7,32
262	0,26	0,18	1,26	2,60	7,45	7,09	6,73	6,37	7,04	6,63
281	0,45	0,32	2,62		7,68	7,33	6,98	6,62		
286	0,64	0,16	1,01	3,08	7,85	7,48	6,68	6,33	6,96	6,58
289	0,43	0,33	1,10	2,92	7,68	7,31	7,00	6,64	7,30	6,90
308	0,43				7,67	7,30				
318	0,61	0,56	0,87	3,30	7,84	7,47	7,23	6,88	7,53	7,II
326	0,97	0,20	1,42	1,40	7,43	7,07	6,18	5,83	7,08	6,68
334	0,56	0,13			7,78	7,42	6,59	6,23		
341	0,19	0,83			7,32	6,95	7,39	7,03		
353	0,62	0,44	0,60	3,75	7,86	7,50	7,15	6,79	7,41	7,04
356	0,42	0,51	1,54		7,66	7,30	7,18	6,82		
369	0,48	0,55	0,97	3,12	7,73	7,36	7,22	6,86	7,52	7,II
370	0,23	0,30	0,92	3,32	7,41	7,04	6,96	6,60	7,26	6,86
373	0,60	0,52	0,52	24,00	7,87	7,51	7,25	6,89	7,49	7,08
Мрк 408	0,12	0,38	1,06	3,00	7,12	6,76	7,06	6,70	7,36	6,96

В таблице 10 приведены относительные интенсивности основных линий величины  $\lg X$  и логарифмы чисел ионов  $N^+$  и  $S^+$  для 12 галактик высокой поверхностной яркости, перечисленных в первом столбце в предположении, что число водородных атомов равно  $10^{12}$ . Как и в таблице 9, содержание ионов определялось для двух значений электронной температуры - 7500 и 10000 К. Данные двух последних столбцов получены методом, предложенным Боярчуком и др. (1969).

Наконец в таблице 11 приведены аналогичные данные для 27 галактик Маркаряна из первых четырех списков (Маркарян 1967, 1969 а, б и Маркарян и Липовецкий 1971).

Разумеется, приведенные результаты не свободны от некоторых предположений. В первую очередь следует отметить, что они получены для двух принятых значений электронной температуры - 10000 и 7500 К. Однако, зависимость вычисляемых параметров от электронной температуры довольно слаба и это дает нам основание считать обоснованным дальнейшее их сравнение с аналогичными параметрами, полученными для пекулярных объектов.

С другой стороны, вследствие сравнительно слабой зависимости параметра  $X$  от электронной температуры, значения  $\lg X$ , приведенные в пятых столбцах таблиц 9, 10, 11, близки к значениям  $\lg P_e$  в довольно широком интервале электронных температур. Следовательно, мы можем заключить, что в зонах [0 II] галактик, не относящихся к сейфертовскому типу,  $\langle \lg X \rangle \approx 2$ . При этом замечается небольшая разница между средним  $P_e$  по галактикам, взятым случайно, (таблице 9) с одной стороны, и различным для таблиц 10 и 11, с другой.

## ГЛАВА III

### ФИЗИЧЕСКИЕ УСЛОВИЯ В ЯДРАХ ПЕКУЛЯРНЫХ ОБЪЕКТОВ

#### § I. ВВЕДЕНИЕ

Определением физических условий в ядрах пекуллярных объектов в частности в сейфертовских галактиках занимался ряд авторов. На основе данных спектрофотометрии определялись электронная плотность и температура и содержание ионов в галактике *NGC* 1068 (Либай и Проник, 1965, Остерброк и Паркер, 1965). Либай и Проник (1967) рассматривали физические условия в галактике *NGC* 1275, принимая нормальный химический состав. Либай, Есипов и Проник (1967) изучали галактику *NGC* 5548, а Либай и Проник (1967) подробно рассматривали физические условия в ядрах шести сейфертовских галактик, включая *NGC* 1068 и 1275. Воронцов-Бельяминов и Либай (1968) и Бук и Сарджент (1968) изучили галактику *NGC* 4151. В дальнейшем изучение физических условий в ядрах галактик Сейфера занимались Рубин и Форд (1968), Андерсон (1970), Вамплер (1971), Шиллес и др. (1972). Аллоин периодически изучает *NGC* 3516 и др. Нойгейзер и др. (1976) исследовали спектрофотометрически 18 галактик Маркаряна, примерно половину из которых составляли объекты сейфертовского типа. Смит и др. (1976) определили физические условия в ядрах трех  $\mathcal{N}$ -галактик с большими красными смещениями.

В эволюционном аспекте вопрос о физических условиях в ядрах пекуллярных объектов рассматривался многими авторами (см., например, Олдер, 1959, Проник, 1976, 1977, Дэвидсон, 1972).

В настоящей главе сделана попытка определения некоторых физических условий в ядрах сейфертовских галактик и радиогалактик с применением единой методики к более полному и по возможности однородному наблюдательному материалу.

§ 2. ЗАВИСИМОСТИ СВЕТИЛОСТИ И ПОТОКА В ЛИНИЯХ ОТ ПОКАЗАТЕЛЯ ЦВЕТА ДЛЯ СЕЙФЕРТОВСКИХ ГАЛАКТИК ТИПА *NGC* 4151.

Аракеляном (1977) были рассмотрены зависимости от показателя цвета  $U$  – В эквивалентных ширин линий  $H\beta$  и [O III] и их отношения интенсивностей этих линий для примерно 15 галактик сейфертовского типа. Им сделан вывод, что при посинении сейфертовских галактик, запрещенные линии в среднем ослабевают, а водородные линии усиливаются. Между тем, у галактик, не относящихся к сейфертовскому типу, и те и другие линии с посинением заметно усиливаются. Поскольку среди галактик, рассмотренных Аракеляном, имеются объекты обоих типов сейфертовских галактик, то имеет смысл проверить эти результаты на материале, более однородном с точки зрения классификации сейфертовских галактик (Петров, 1979а).

Для этой цели нами использован наблюдательный материал, любезно предоставленный Видманом. Этот материал был получен с августа 1975 по февраль 1976 года с тем же спектральным сканером на телескопах 2,1 и 4 м обсерваторий Мак Дональд и Кит Пик и содержит спектры 25 сейфертовских галактик типа *NGC* 4151 (типа I по классификации Хачикяна и Видмана, 1974), т.е. галактик с широкими водородными и узкими запрещенными линиями. Для каждого из объектов Мрк 304 и Мрк 374 мы располагали тремя спектрами, а для Мрк 352 и Мрк 509 имелось по два спектра.

Результаты фотоэлектрических  $UVV$  наблюдений имелись лишь для 20 из них. Данные о цветах и красных смещениях взяты из сочинения Видмана (1977). По спектrogramмам определены эквивалентные ширины линий  $H\alpha$ ,  $H\beta$  и [O III] $\lambda\lambda$  4959, 5007. Далее, принимая,

Таблица 12

Эквивалентные ширины, потоки и светимости эмиссионных линий сейфертовских галактик типа *NGC 4151*

Объект	$(U-B)_o$	$(B-V)_o$	$Z$	$M_{V_o}$	$\lg W_{H\alpha}$	$\lg W_{H\beta}$	$\lg W_{[OIII]}$
Мрк 6	-0,08	0,83	0,018	-20,59	2,60	I,90	2,30
9	0,74	0,42	0,040	23,01	2,30	I,86	I,67
10	0,64	0,55	0,029	22,12	2,49	I,75	I,92
42	0,24	0,73	0,024	20,04	2,21	I,36	I,17
79	0,83	0,35	0,022	22,42	2,71	2,04	2,09
III0	0,73	0,68	0,036	21,61	2,93	2,19	2,45
205	I,00	0,31	0,071	23,85	2,50	I,77	I,56
304	0,93	0,26	0,066	24,33	2,59	2,11	I,50
335	0,76	0,32	0,025	22,73	2,60	2,01	I,60
352	0,74	0,33	0,015	20,70	2,41	I,94	I,37
374	0,49	0,55	0,044	22,88	2,18	I,80	I,72
376	0,68	0,41	0,056	23,69	2,42	I,82	I,44
382	0,72	0,39	0,034	22,91	2,05	I,67	I,61
Мрк 509	I,02	0,11	0,036	24,80	2,79	2,15	2,08
<i>NGC 7469</i>	0,78	0,46	0,017	22,54	2,45	I,74	I,83
<i>NGC 7603</i>	0,27	0,64	0,029	22,19	2,08	I,45	I,45
I Zw I	0,86	0,33	0,061	24,54	2,38	I,77	I,43
II Zw I36	0,97	0,10	0,062	24,69	2,62	2,16	I,76
III Zw 2	0,76	0,44	0,090	23,19	2,08	I,73	I,37
SC 399,3	-0,79	0,54	0,057	-23,02	2,72	2,07	2,23

$$\lg L_{H\beta} [\text{erg/s}] = (M.39 + \lg F_{H\beta}) [pt/s]$$

Таблица 12 - продолжение

$$L_{H\beta} [\text{erg/s}] = 2.45 \cdot 10^{44} [\text{pt/s}]$$

Маса на  
дясната  
дължина  
 $\phi/10^6 M_\odot$

Объект	$\lg F_{H\beta}$	$\lg F_{[OIII]}$	$\lg L_{H\beta}$ [ $\text{erg/sec}$ ]	$\lg L$ [ $OIII$ ]	$\frac{\lg L_{4686}}{\lg L_{H\beta}}$	$\lg M$
					( $\lg \phi$ )	
Mrk 6	-12,22	-II,82	41,92	42,32		
0.22	9	I2,35	12,56	42,48	42,27	
	10	I2,48	12,31	42,07	42,24	0.44 (-0.35)
0.84	42	I3,68	13,86	40,71	40,53	
	79	II,94	II,90	42,37	42,31	0.14 (-0.85)
0.63	II0	I2,38	I2,12	42,36	42,62	0.20 (-0.7)
	205	I2,71	I2,94	42,62	42,39	26.75 (-0.75)
1.6	304	I2,I3	I2,76	43,14	42,51	26.7 (-0.82)
0.55	335	II,90	I2,32	42,53	42,11	0.33 (-0.48)
0.1	352	I2,36	I2,94	41,63	41,05	0.44 (-0.35)
0.62	374	I2,45	I2,53	42,47	42,39	26.9 (-0.54)
	376	I3,I7	I3,56	41,96	41,57	0.29 (-0.54)
0.03	382	I3,II	I3,18	41,58	41,51	27.55 (-0.187)
1.3	Mrk 509	II,50	II,61	43,23	43,13	0.29 (-0.54)
0.47	NGC 7469	II,86	II,78	42,23	42,31	0.25 (-0.60)
	NGC 7603	I2,58	I2,57	41,97	41,98	26.8 (-0.22)
	I Zw I	I2,21	I2,57	42,99	42,63	
2.5	II Zw I36	II,89	I2,31	43,32	42,89	0.14 (-0.85)
0.9	III Zw 2	I3,08	I3,43	42,13	41,78	0.07 (-1.15)
	SC 390.3	-I2,46	-I2,30	42,68	42,84	26.2 (-0.22)

\* Вижд и табл. 18. Отбелязаните с "V" са обиди

за дългата

\*\* Отбелязано са включени в наша работа  
на Калинка Величкова

что спектральное распределение энергии ядра описывается степенным законом вида  $F_\nu = C \cdot \nu^{-\eta}$  и используя исправленный за покраснение в Галактике показатель цвета  $(B - V)_0$ , для каждой галактики по данным Метьюза и Сандейджа (1963) был подобран показатель  $\eta$ . Для  $\eta > 2$  зависимость между  $(B - V)_0$  и экстраполирована. Апроксимировав непрерывный спектр каждой галактики степенной функцией с соответствующим  $\eta$  и используя красные смещения, приведенные Видманом, мы вычислили потоки и светимости в линиях  $H_\alpha$  и [O III]. Наши вычисления согласуются с данными Адамса и Видмана (1975) и Видмана (1976). Потоки и светимости в линии  $H_\alpha$  не вычислялись, так как для этого необходимо экстраполировать непрерывный спектр в область, не охватываемую  $UV$  наблюдениями.

Все исходные данные и результаты вычислений собраны в таблице I2, которая содержит: 1 - объект, 2 - и 3 - исправленные за покраснение света в Галактике показатели цвета, 4 - красное смещение, 5 - абсолютная звездная величина объекта в системе  $U$  при  $H = 50$  км/сек. Мпс, исправленная за поглощение света в Галактике, 6, 7 и 8 - логарифмы эквивалентных ширин линий  $H_\alpha$ ,  $H_\beta$  и [O III], 9 и 10 - логарифмы потоков в линиях  $H_\beta$  и [O III] в [ $\text{эрг.см}^{-2} \cdot \text{сек}^{-1}$ ], 11 и 12 - логарифмы светимостей в линиях  $H_\beta$  и [O III] в [ $\text{эрг.сек}^{-1}$ ].

На рисунке II приведены эквивалентные ширины линий  $H_\alpha$ ,  $H_\beta$ , [O III] и их отношения, а также и вычисленные нами потоки в линиях в зависимости от показателя цвета  $(V - B)_0$ , а на рисунке I2 - те же величины в зависимости от показателя цвета  $(B - V)_0$ . По этим данным получается, что чем синее галактика, тем интенсивнее водородные линии - результат, который отмечают Проник

(1972) и Аракелян (1977). Эквивалентные ширины запрещенных линий практически не зависят от показателя цвета. Коэффициент регрессии и корреляции для линии  $H\beta$  по нашим данным хорошо согласуются с величинами, полученными Аракеляном, но для линий [O III] они сильно отличаются. Можно поэтому предполагать, что эффект, отмеченный Аракеляном обусловлен тем, что им рассматривались совместно объекты обоих типов — типа *NGC* 1068 и типа *NGC* 4151. Этот результат является несколько формальным, поскольку, если из рассмотрения исключить галактики Мрк 6, Мрк 42 и *NGC* 7603, зависимость  $\lg W[\text{O III}]$  от  $(U - B)_0$  изменит свой характер и станет сходной с зависимостью, полученной Аракеляном. То же самое имеет место и для зависимости  $\lg W[\text{O III}]$  от  $M_U_0$ . Следует, при этом, отметить, что Коски (1978) относит галактику Мрк 6 к промежуточному типу, а галактику Мрк 42 — ко второму типу, но с сильными линиями железа, характерными для сейфертовских галактик первого типа. На основании результатов, полученными Аракеляном, можно было ожидать, что после исключения этих галактик, полученная нами зависимость будет выражена сильнее. Действительно, после исключения этих галактик, угловой коэффициент зависимости несколько возрастает, однако, остается меньше, чем величина, полученная Аракеляном.

На рисунке I3 показаны зависимости эквивалентных ширин линий  $H_\alpha$ ,  $H\beta$  и [O III] и их отношения, а также и потоки в линиях  $H\beta$  и [O III] от абсолютной звездной величины  $M_U_0$ , исправленной за поглощение света в Галактике. Сильное сходство между рисунками II и I3 указывает на то, что наблюдаемые зависимости обусловлены в первую очередь мощностью ультрафиолетового излучения. В связи с этим, представляет очевидный интерес сравнение полученных зависимостей с аналогичными зависимостями между светимостью

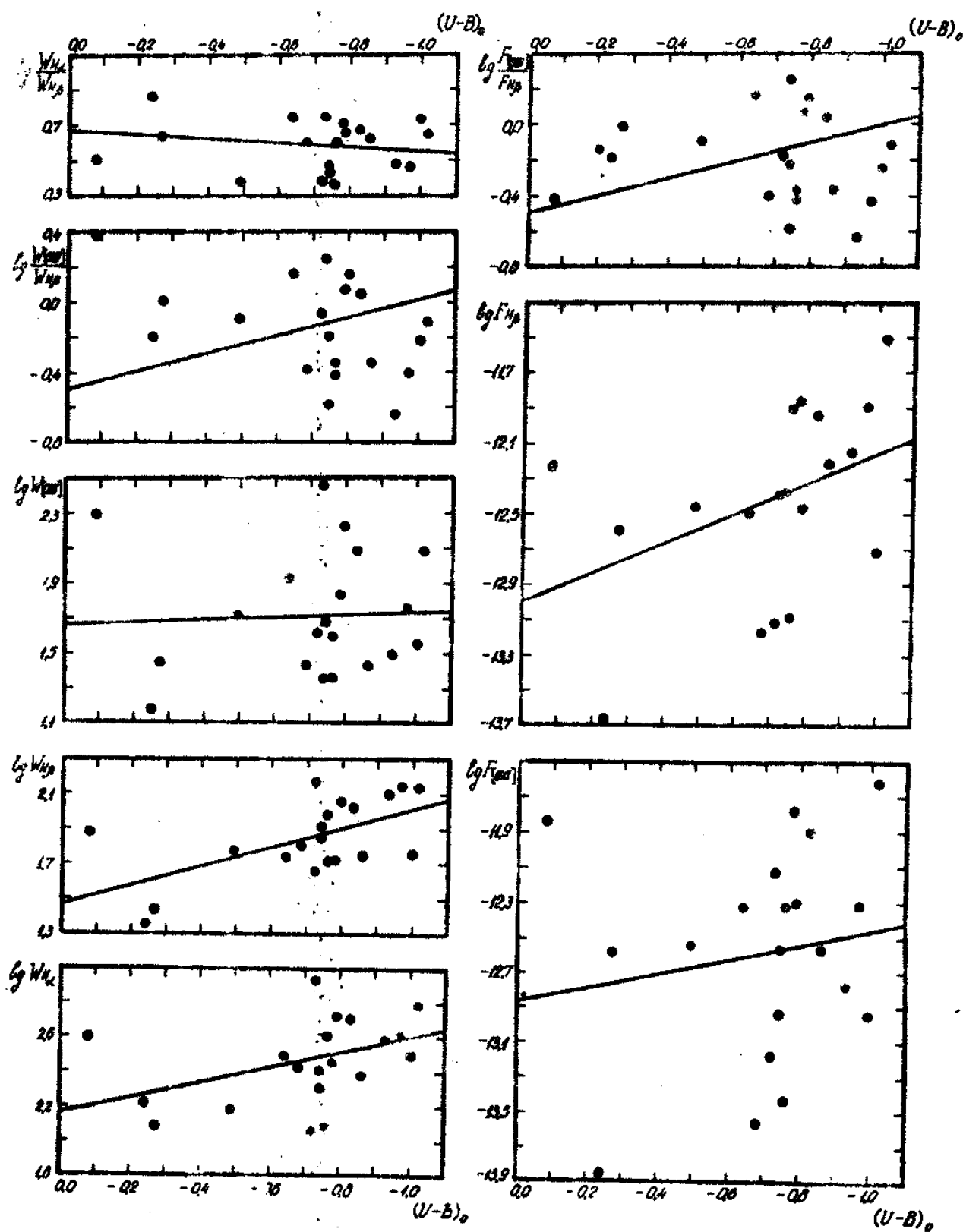


Рис. 11 - Связь яркости излучения и потока в линиях с показателем цвета  $U-B$  при сферической рефракции типа NGC 4151.

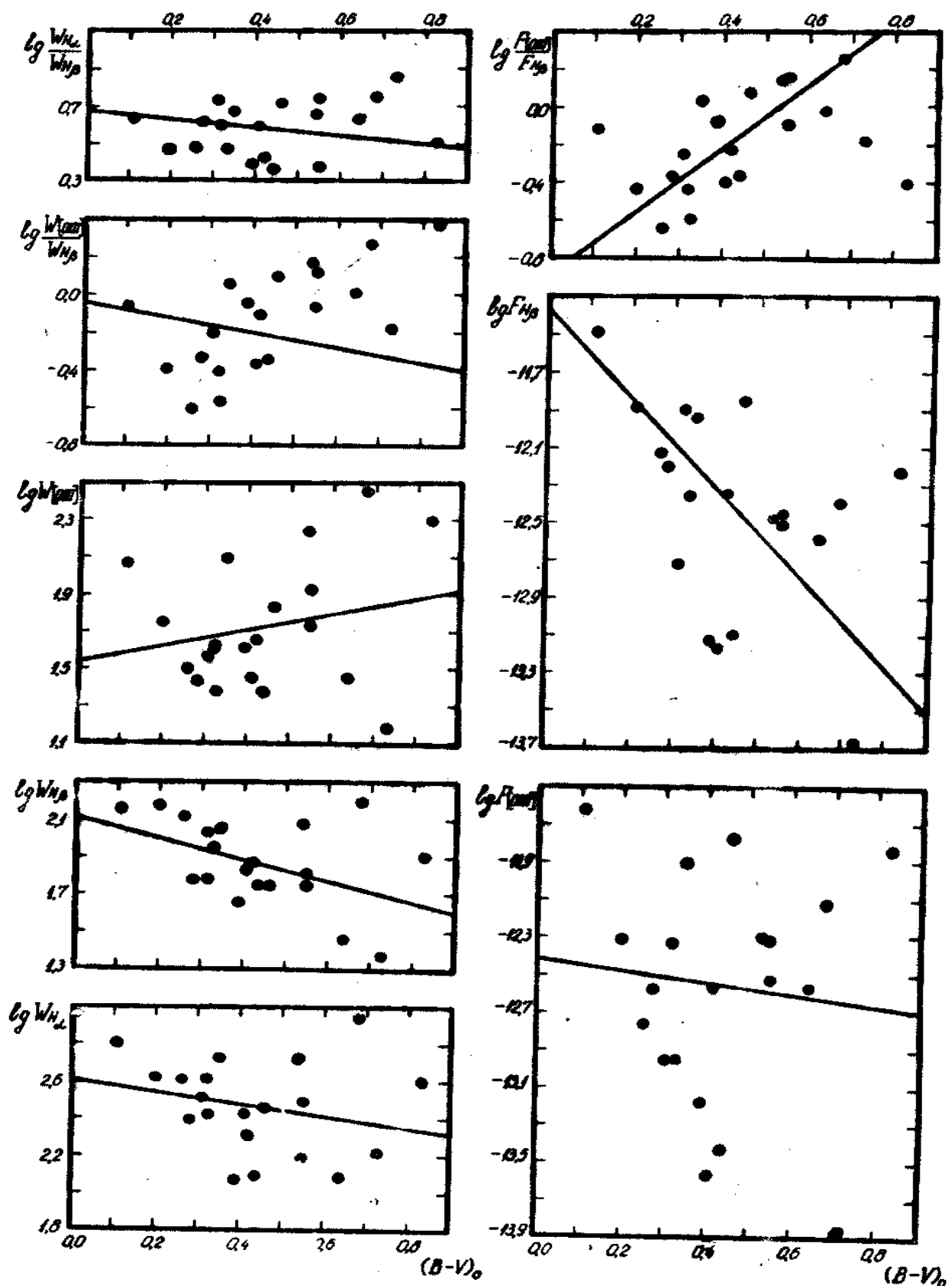


Рис. 12 - Вариации спектральной плотности и потока в линии от показателя цвета  $B - V$  для сейфертовских галактик типа NGC 4151.

в линиях и мощностью рентгеновского излучения. Соответствующие данные для 10 сейфертовских галактик типа *NGC* 4151 (включая и *NGC* 1275) приведены Ельисом и др. (1978). Эти данные свидетельствуют о том, что с ростом рентгеновской светимости возрастает светимость в линиях  $H_{\alpha}$ , [O III] и  $H\epsilon$  II. Указанные зависимости приведены на рисунке I4, а в таблице I3 собраны все коэффициенты регрессии и корреляции в зависимостях эквивалентных ширин, потоков и светимостей в линиях от показателей цвета, мощности ультрафиолетового излучения и от мощности рентгеновского излучения.

Для полноты приведем аналогичные зависимости для сейфертовских галактик и галактик несейфертовского типа, полученные Аракеляном (1976, 1977) и Хухра (1977); ( $R$  – коэффициент корреляции).

а/ для сейфертовских галактик обоих типов (Аракелян 1977)

$$\lg W[\text{OIII}] = 0.28(U-B)_o + 1.51 \quad R = 0.32$$

$$\lg W_{H\beta} = -0.69(U-B)_o + 1.08 \quad R = -0.79$$

$$\lg W[\text{OIII}]/W_{H\beta} = 0.93(U-B)_o + 0.46 \quad R = 0.77$$

Для галактик несейфертовского типа

б/ Аракелян (1976, 1977)

$$\lg W[\text{OIII}] = -1.16(U-B)_o + 0.80 \quad R = -0.57$$

$$\lg W_{H\beta} = -0.67(U-B)_o + 0.72 \quad R = -0.37$$

$$\lg W[\text{OIII}]/W_{H\beta} = -0.44(U-B)_o + 0.12 \quad R = -0.29$$

в/ Хухра (1977)

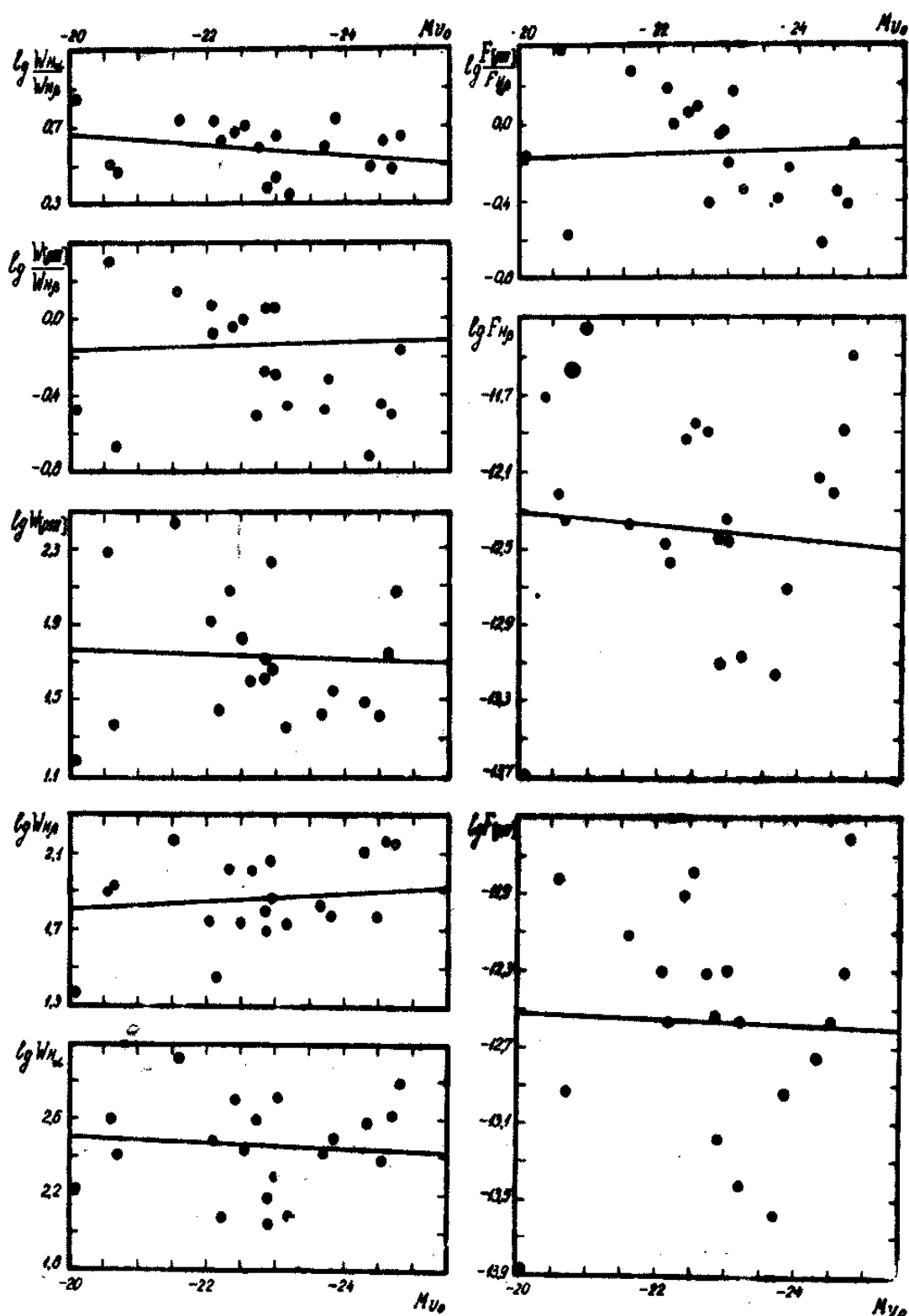
$$\lg W_{H\beta} = -1.39(U-B) + 0.61 \quad R = -0.65$$

$$\lg W_{H\beta} = -0.93(B-V) + 1.45 \quad R = -0.28$$

$$5007/H\beta = -3.16(U-B) + 1.47 \quad R = -0.41$$

$$5007/H\beta = -2.63(B-V) + 3.61 \quad R = -0.24$$

Кохен (1976), исследовавшей эмиссию в линии  $H_{\alpha}$  в ядрах 53 спиральных галактик несейфертовского типа, отмечает, что с уменьшением показателя цвета ( $B - V$ ) галактики, эквивалентная ширина линии  $H_{\alpha}$



Фиг. 12. - Спектральные характеристики к галактикам в группе от абсолютной звездной величины  $M_{V_0}$  в направлении для соответствующих параметров типа NGC 1251.

Таблица 13 а

Коэффициенты регрессии и корреляции в зависимости  
"Интенсивность линий - показатель цвета или або-  
лютная величина"

$y$	$a$	$R$	$a$	$R$	$a$	$R$
$x$	$\lg W_{H\beta}$		$\lg W[\text{OIII}]$		$\lg \frac{W[\text{OIII}]}{W_{H\beta}}$	
$(U - B)_0$	-0,53 $\pm 0,17$	-0,58 $\pm 0,15$	-0,03 $\pm 0,32$	-0,02 $\pm 0,22$	0,49	0,44
$M_U_0$	-0,06 $\pm 0,04$	-0,33 $\pm 0,19$	-0,03 $\pm 0,07$	-0,08 $\pm 0,22$	0,04	0,30
$(B - V)_0$	-0,54	-0,44	0,43	0,22	0,97	0,61

$y$	$a$	$R$	$a$	$R$	$a$	$R$	$a$	$R$
$x$	$\lg F_{H\beta}$		$\lg F[\text{OIII}]$		$\lg L_{H\beta}$		$\lg L[\text{OIII}]$	
$(U - B)_0$	-0,89 $\pm 0,44$	-0,43 $\pm 0,18$	-0,39 $\pm 0,56$	-0,16 $\pm 0,22$	-1,70 $\pm 0,42$	-0,69 $\pm 0,12$	-1,20 $\pm 0,52$	-0,42 $\pm 0,17$
$M_U_0$	-0,14 $\pm 0,03$	-0,37 $\pm 0,19$	-0,06 $\pm 0,11$	-0,13 $\pm 0,22$	-0,38 $\pm 0,06$	-0,83 $\pm 0,07$	-0,30 $\pm 0,08$	-0,62 $\pm 0,13$
$(B - V)_0$	-2,52	-0,43	-0,28	-0,09	-2,16	-0,64	-1,14	-0,32

Таблица I3б  
Коэффициенты регрессии и корреляции

	$\lg L_{H\alpha}$		$\lg L_{H\beta}$		$\lg L [OIII]$	
	$a$	$R$	$a$	$R$	$a$	$R$
$\lg L_x$	0,71	0,83	0,69	0,75	0,28	0,58
$\Delta$	$\pm 0,17$	$\pm 0,10$	$\pm 0,22$	$\pm 0,14$	$\pm 0,14$	$\pm 0,21$

	$\lg \frac{L [OIII]}{L_{H\beta}}$		$\lg L_{HeII}$		$Mv_0$	
	$a$	$R$	$a$	$R$	$a$	$R$
$\lg L_x$	-0,41	-0,61	0,64	0,67	-2,77	-0,87
$\Delta$	$\pm 0,19$	$\pm 0,20$	$\pm 0,20$	$\pm 0,24$	$\pm 0,55$	$\pm 0,08$

Таблица I4  
Коэффициенты регрессии и корреляции по данным Остерброка

		$\lg W_{H\beta}$	$\lg \frac{I_{[OIII]}}{I_{H\beta}}$	$\lg \frac{I_{[OII]}}{I_{H\beta}}$	$\lg \frac{I_{[NII]}}{I_{H\beta}}$	$\lg \frac{I_{[SII]}}{I_{H\beta}}$
$(U - B)_0$	$a$	-0,38	0,41	0,70	0,75	0,87
	$\Delta Q$	$\pm 0,15$	$\pm 0,28$	$\pm 0,35$	$\pm 0,39$	$\pm 0,33$
	$R$	-0,43	0,26	0,37	0,38	0,39
	$\Delta R$	$\pm 0,14$	$\pm 0,16$	$\pm 0,16$	$\pm 0,18$	$\pm 0,14$

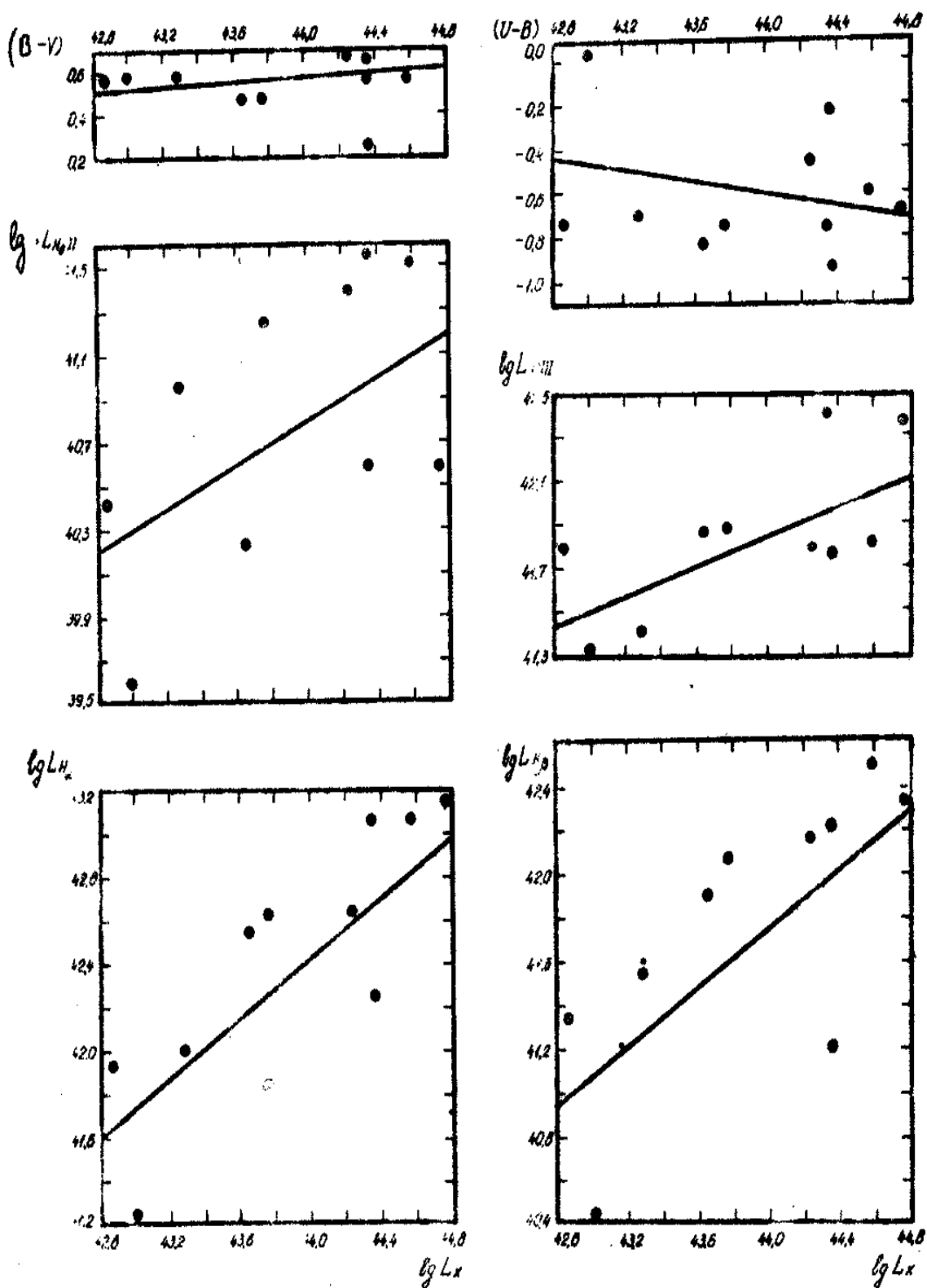


FIG. 11 - COLOR-MAGNITUDE DIAGRAMS OF THE ELLIPTICAL GROWTH-GROUP AND LUMINOSITY FUNCTIONS FOR THE GROUP NGC 3351.

увеличивается.

Полученные результаты можно суммировать таким образом:

а/ с посинением галактики или с ростом светимости в ультрафиолете эквивалентные ширины водородных линий, а также светимости и потоки в этих линиях увеличиваются.

б/ эквивалентные ширины линий [O III] практически не зависят от показателя цвета и от светимости в ультрафиолете. Потоки и светимости в линиях [O III], однако, увеличиваются с посинением или с ростом светимости в ультрафиолете.

в/ отношение эквивалентных ширин линий [O III] и водородных линий уменьшается с посинением галактики и с ростом светимости в ультрафиолете. Для галактик, не относящихся к сейфертовскому типу, как показано Аракеляном, это отношение увеличивается.

Отношение потоков и светимостей в [O III] и Н<sub>β</sub> также уменьшается с посинением.

г/ с увеличением рентгеновской светимости увеличивается светимость водородных, гелиевых и запрещенных линий. Отношение светимостей в линиях [O III] и Н<sub>β</sub> уменьшается с увеличением рентгеновской светимости.

Как заметил Аракелян, возникновение запрещенных линий в разных областях с повышенной электронной плотностью может объяснить различие между поведением запрещенных и водородных линий при посинении галактик. Ранее вывод о высокой электронной плотности в ядрах сейфертовских галактик на основе данных спектрофотометрии был сделан Видманом и Хачикяном (1971). Из изложенных выше результатов следует, что:

а/ ионы O<sup>++</sup> светятся в областях с такими высокими электронными плотностями, что зависимость относительных интенсивностей за-

запрещенных линий от значения плотности пренебрежимо мало. С другой стороны, поскольку существует верхний предел значения электронной плотности, при которой эти линии могут еще излучаться (около  $10^7 \text{ см}^{-3}$ ), то полученный результат есть в свою очередь свидетельство алокой дисперсии электронных плотностей в зонах [O III] различных сейфертовских галактик типа *NGC 4151*. Этот вывод подтверждается результатами непосредственного определения физических условий в областях, излучающих в линиях [O III]  $\lambda\lambda 4959, 5007$ , приведенными в следующем параграфе. Рассматривая аналогичные зависимости и для других запрещенных линий, можно получить более полное представление о физических условиях в ядрах галактик.

б) эквивалентные ширины линий сами по себе не являются наилучшим индикатором физических условий в ядрах сейфертовских галактик. По-видимому, это связано с тем обстоятельством, что с ростом светимости в ультрафиолете вместе с интенсивностью линий возрастают и интенсивность непрерывного спектра. По данным таблицы 3 можно заметить, что с переходом от эквивалентных ширин к светимостям в линиях, описанные зависимости оказываются выраженымиильнее. Особенно заметно возрастают коэффициенты регрессии и корреляции для линий [O III].

### §3. ФИЗИЧЕСКИЕ УСЛОВИЯ В ЯДРАХ СЕЙФЕРТОВСКИХ ГАЛАКТИК ТИПА *NGC 4151*

В предыдущем параграфе рассматривались зависимости эквивалентных ширин водородных и запрещенных линий сейфертовских галактик типа *NGC 4151* от показателей цвета ( $U - B$ ) и ( $B - V$ ) и от абсолютной величины  $M_V$  и аналогичные зависимости для светимостей и потоков в тех же линиях. Полученные зависимости, как и данные, полученные ранее Видманом и Хачикяном и Аракеляном, указывают на

то, что линии [O III] у сейфертовских галактик типа *NGC 4151* возникают в областях с сравнительно высокой электронной плотностью.

Для проверки этого предположения нами использованы эмиссионные линии *4I* галактики с широкими эмиссионными линиями (36 сейфертовских галактик и 5 радиогалактик). В их число входят большинство галактик, рассмотренных Аракеляном и автором (см. предыдущий параграф).

Эквивалентные ширины, определенные нами по спектрам, предоставленным Видманом, в большинстве случаев не отличаются от данных, приведенных Остерброком более, чем на 0,1 - 0,2 в логарифмической шкале. Лишь в нескольких случаях различие достигает 0,5.

Зависимость эквивалентной ширины линии  $H_{\beta}$ , а также относительных интенсивностей линий [O II], [O III], [ $N$  II], [ $S$  II] от показателя цвета  $U - B$ , полученная по данным Остерброка, иллюстрируются таблицей I4, где для разных линий приведены угловые коэффициенты этих зависимостей, а также и коэффициенты корреляции. Сами зависимости показаны на рисунке I5. Как видим, для линий  $H_{\beta}$  и [O III] они мало отличаются от соответствующих зависимостей, приведенных в предыдущем параграфе. Подобный характер зависимости был интерпретирован, как уже отмечалось, как свидетельство высокой электронной плотности в зонах, ответственных за свечение иона  $O^{++}$ . Что касается линий [O II], [ $N$  II] и [ $S$  II], то обращает на себя внимание прекрасное согласие между угловыми коэффициентами, а также коэффициентами корреляции, характеризующими зависимости их интенсивностей от показателя цвета. С другой стороны это указывает на то, что ионы  $O^+$ ,  $N^+$  и  $S^+$  излучают в од-

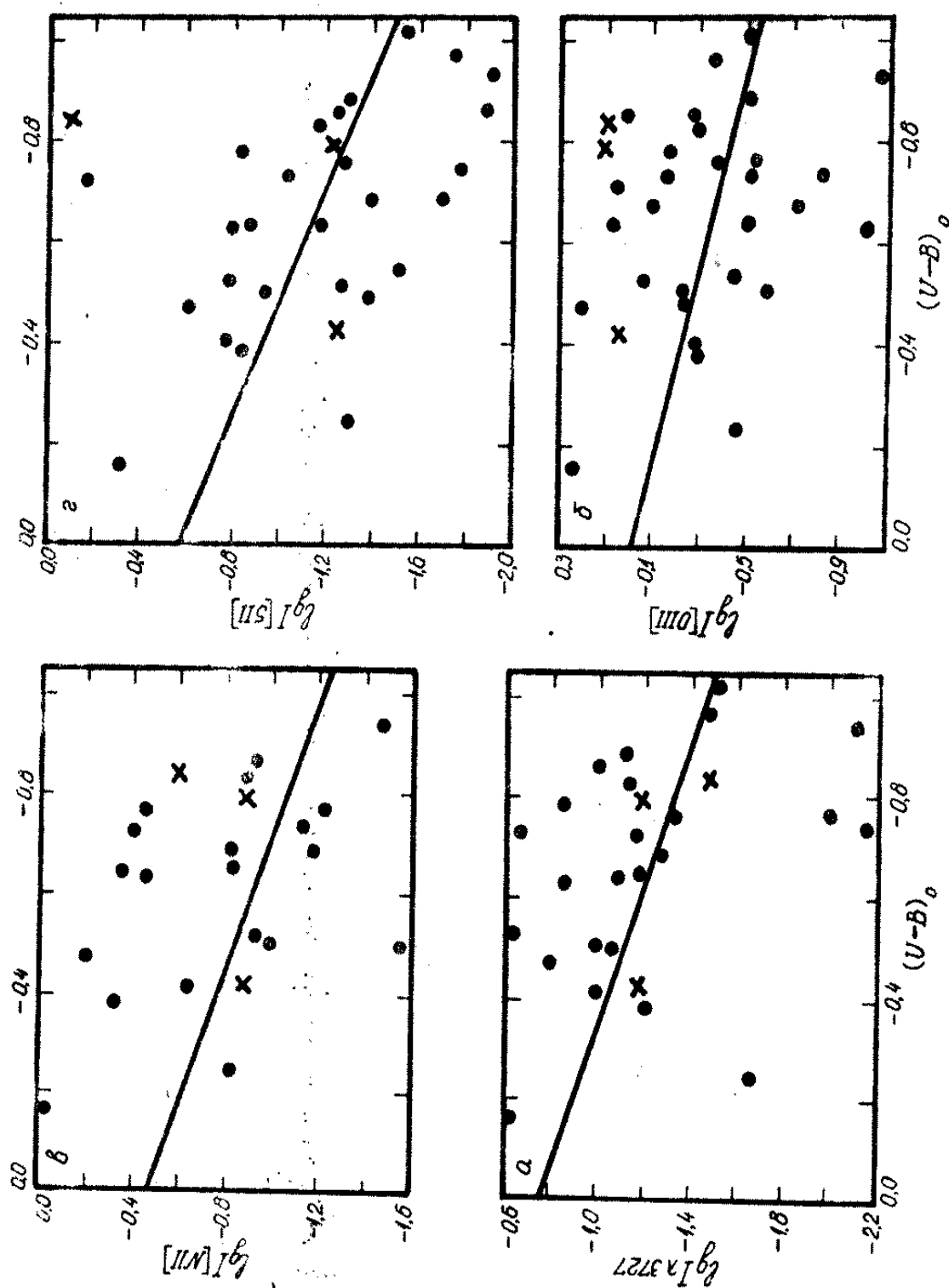


Рис. 15 - Зависимости интенсивности эмиссионных линий от показателя цвета  $U-B$  согласно данным Остерброка (1977). Точки - сейфертовские галактики типа NCC 4151, крестики - радиогалактики с широкими линиями.

ном и том же объеме.

Для определения физических условий в ядрах галактик Сейферта нами применялся метод пересечения кривых Ситона (1954) в варианте, предложенным Боярчуком и др. (1969). При этом, следуя Нойгебауэр и др. (1976), мы предполагали, что во всех объектах схематически существуют три зоны сечения — водородная зона H, зона [O III] и зона [O II]. В зоне [O III] светятся ионы  $O^{++}$ ,  $Az^{++}$ ,  $Ne^{++}$ ; в зоне [O II] излучают ионы  $O^+$ ,  $N^+$  и  $S^+$ . Так как примерно 60 % этих галактик показывают линии [Fe VII], то возможно существует и четвертая зона, в которой светятся ионы  $Fe^{+6}$  и  $Ne^{+4}$ . Естественно, в каждом отдельном случае может иметь место известное отклонение от предложенной схемы — т.е. некоторые зоны могут сосуществовать или отсутствовать. Подобная многокомпонентная модель рассматривалась ранее Дибаем и Проником (1967) и другими. Боесхар (1974) отмечал эффект стратификации для планетарных туманностей.

Рассмотрим сначала физические условия в зоне [O III]. Так как Остерброк не приводит данных о линиях [Ne III]  $\lambda\lambda$  3343, 3869, 3968, то мы не имели возможности непосредственно применить метода Ситона для независимого определения электронных плотностей и температур. Единственной кривой равных отношений, которую возможно использовать, является  $I_{\lambda} 4363 / (I_{\lambda} 4959 + I_{\lambda} 5007) = const$  для [O III]. Поэтому мы вынуждены принять определенный химический состав и степень ионизации излучающего газа. Химический состав был принят нами в соответствии с моделями 1, 2 и 3 Дэвидсона (1972). Что касается степени ионизации, то следуя Боярчуку и др. (1969) и Янкуловой (1974) примем для водорода  $H\text{ II} / H\text{ I} = 0,5$  и рассмотрим два значения степени ионизации кислорода:  $O\text{ III} / O\text{ I} = 0,5$

и 0,75. При этих данных мы определяли кривые равных значений функций  $\lg \theta_i(n_e, T_e)$  для иона  $O^{++}$ . Таким образом  $n_e$  и  $T_e$  для зоны [0 III] определялись по пересечению кривых (1)  $I_{\lambda} 4363 / (I_{\lambda} 4959 + I_{\lambda} 5007) = const$  (2) -  $\lg \theta_i(n_e, T_e)$  для линии  $\lambda 4363$  и (3) -  $\lg \theta_i(n_e, T_e)$  для линий  $\lambda\lambda 4959, 5007$ . На рисунке I6а для иллюстрации показано определение  $n_e$  и  $T_e$  для трех сейфертовских галактик и одной радиогалактики с широкими линиями. Полученные результаты представлены во втором - пятом столбцах таблицы I5. Как видно из таблицы, физические условия в зоне [0 III] для различных галактик очень близки и в среднем таковы:

а/ для 50 % ионизации кислорода

$$\lg T_e = 3,89 \quad \sigma^2(\lg T_e) = 0,002$$

$$\lg n_e = 6,72 \quad \sigma^2(\lg n_e) = 0,113$$

б/ для 75 % ионизации кислорода

$$\lg T_e = 3,95 \quad \sigma^2(\lg T_e) = 0,014$$

$$\lg n_e = 6,60 \quad \sigma^2(\lg n_e) = 0,078$$

Различия между результатами, соответствующими двум рассмотренным случаям невелики. Следует отметить также очень хорошее совпадение между  $n_e$  и  $T_e$ , определенными соответственно по кривым (1) и (2), (1) и (3) и (2) и (3). Следовательно, полученные величины мало зависят от исходных предположений и вероятно характеризуют истинную картину. Полученные результаты для значений электронных плотностей и температур в зонах [0 III] сейфертовских галактик типа *NGC 4151* согласуются с интерпретацией зависимости интенсивности эмиссионных линий от показателя цвета, предложенной Аракеляном и автором, а также с моделью Проника (1977). С видом этой зависимости хорошо согласуется также малая дисперсия электронных температур. Подобные результаты для шести сейфертовских

галактик получил Остерброк (1970б)

Рассмотрим далее данные о зоне [O II]. Интенсивности линий [O II]  $\lambda\lambda$  7320, 7330, [S II]  $\lambda\lambda$  4068, 4076 и [M II]  $\lambda$  5755 Остерброком не приводятся и кривых постоянного отношения как в случае зоны [O III] у нас не было. Поэтому значения электронных плотностей и температур определялись в предположении, что линии [M II]  $\lambda$  5755 и [S II]  $\lambda\lambda$  4068 и 4086 имеют интенсивность  $I_{\lambda} = 0,005$  по отношению к  $I_{H\beta}$  (минимальная интенсивность, уверенно определяемая Остерброком (1977). Получаются две линии равных отношений, пересечение которых дает значения  $N_e$  и  $T_e$ , независимо от химического состава и степени ионизации. В качестве контроля может быть использован приведенный Остерброком (1974) график, непосредственно задающий величину  $X = 10^2 N_e T_e^{-1/2}$ , т.е. значения  $N_e$  в предположении, что  $T_e = 10^4$  К. Этот параметр независим от каких-либо предположений.

По полученным значениям  $N_e$  и  $T_e$ , можно вычислить величину  $X_{\text{выч}}$  и сравнить её со значением, полученным по графику.

Значения  $N_e$  и  $T_e$ , полученные в предположении, что относительные интенсивности линий [M II]  $\lambda$  5755 и [S II]  $\lambda\lambda$  4068, 4086 равны 0,005  $I_{H\beta}$ , приведены в шестом и седьмом столбцах таблицы 16. В восьмом столбце приведены соответствующие значения  $X_{\text{выч}}$ , а в девятом столбце - теоретические значения  $X$  согласно Остерброку (1974). Из таблицы видно, что согласие между этими величинами неплохое - для II случаев из 17, для которых такое сравнение возможно,  $|\lg X_{\text{выч}} - \lg X| \leq 0,5$  -, т.е. примерно для 2 / 3 случаев метод дает приемлемые результаты.

Для зоны [O II]  $N_e$  и  $T_e$  меняются в следующих границах:

$$3,80 \leq \lg T_e \leq 5,50 \quad 1,20 \leq \lg N_e \leq 4,50$$

$$\text{При этом } \langle \lg T_e \rangle = 4,23 \quad \theta^2(\lg T_e) = 0,13 \\ \langle \lg n_e \rangle = 3,07 \quad \theta^2(\lg n_e) = 0,76$$

Значение  $\lg T_e = 5,50$  получается для объекта Мрк 304, который отличается от остальных объектов высокими значениями  $n_e$  и  $T_e$  и для зоны [0 III]. Следует, однако, отметить, что для этого объекта  $|\lg X_{\text{быв}} - \lg X| = 0,33$ . Это делает галактику Мрк 304 чрезвычайно интересной для дальнейшего более подробного исследования. После исключения Мрк 304, электронная температура меняется в границах 3,80 – 4,64. Можно заметить, что температуры зон [0 II] получаются в среднем несколько более высокими, чем в зоне [0 III] результат, который ранее для областей H II получил Неймберт (1967), а для сейфертовских галактик есть следствием фотопионизационных моделей ядер, расчитанные Мак Алпайном (1972, 1974) и результаты Мартина (1974) и Кунта и Сарджента (1978).

Определение физических условий в зоне [0 II] иллюстрируется рисунком I6<sup>6</sup>, на которой *N* и *S* означают соответственно линии равных отношений для азота и серы, а 1, 2 и 3 обозначены линии  $\lg \theta_i(n_e, T_e)$  для линий [0 II]  $\lambda 3727$ , [S II]  $\lambda\lambda 6717, 6731$  и [N II]  $\lambda\lambda 6548, 6584$ , принимая нормальный химический состав и 25 % степени ионизации для кислорода, азота и серы. Поскольку результаты для  $n_e$  и  $T_e$ , полученные по пересечению этих линий, сильно расходятся, то они обсуждаться в дальнейшем не будут.

Все полученные результаты сводятся к следующему: по относительным интенсивностям запрещенных линий 36 сейфертовских галактик типа *NGC 4151* и 5 радиогалактик с широкими линиями получается, что, если запрещенные линии излучаются в двух зонах, соответствующих разным потенциалам ионизации, то условия в зоне [0 III] в среднем характеризируются параметрами  $\lg T_e \sim 4$

и  $\log n_e \geq 6$ . В зоне [0 II]  $\log T_e \geq 4$  и  $\log n_e = 1,2 - 4,5$ . При этом, условия для разных объектов в зонах [0 III] очень близки. Резлиния в физических условиях для зоны [0 II] намного больше. Следовательно в зонах [0 II] различных галактик имеется значительно большой диапазон значений температуры и плотности, определяющих относительную интенсивность эмиссионных линий. Отсюда следует и больший диапазон самых относительных интенсивностей. Эти результаты качественно согласуются с тем фактом, что зависимость от показателя цвета относительных интенсивностей эмиссионных линий [0 II], [N II], [S III] заметно сильнее, чем аналогичная зависимость для линий [0 III].

Другим следствием является то, что стратификация излучения существует в сильной степени и что определение физических условий в зонах, излучающих запрещенные линии, по пересечению криевых для ионов  $O^{++}$ ,  $N^+$  и  $S^+$  может быть ошибочно в тех случаях, когда нет дополнительных соображений относительно существования этих двух зон.

Чтобы сравнить полученные нами результаты с результатами, полученными ранее другими авторами, мы приводим краткую сводку данных о физических условиях в ядрах сейфертовских галактик обоих типов, радиогалактик и  $N$ -галактик. Данные представлены в таблице I6. Хотя методика определения электронных температур и плотностей немного отличается в разных случаях, данные в среднем согласуются между собой. Для сейфертовских галактик типа NGC 4151 электронные плотности  $n \geq 10^6$  отмечаются у NGC 4051 и 7469, а также у NGC 1275, принадлежность которой к какому-нибудь типу спорна. Для NGC 5548  $n$ , полученная Либаем, Есиповым и Проником (1967) довольно неопределенна и может быть от  $10^4$  до  $10^6$ .

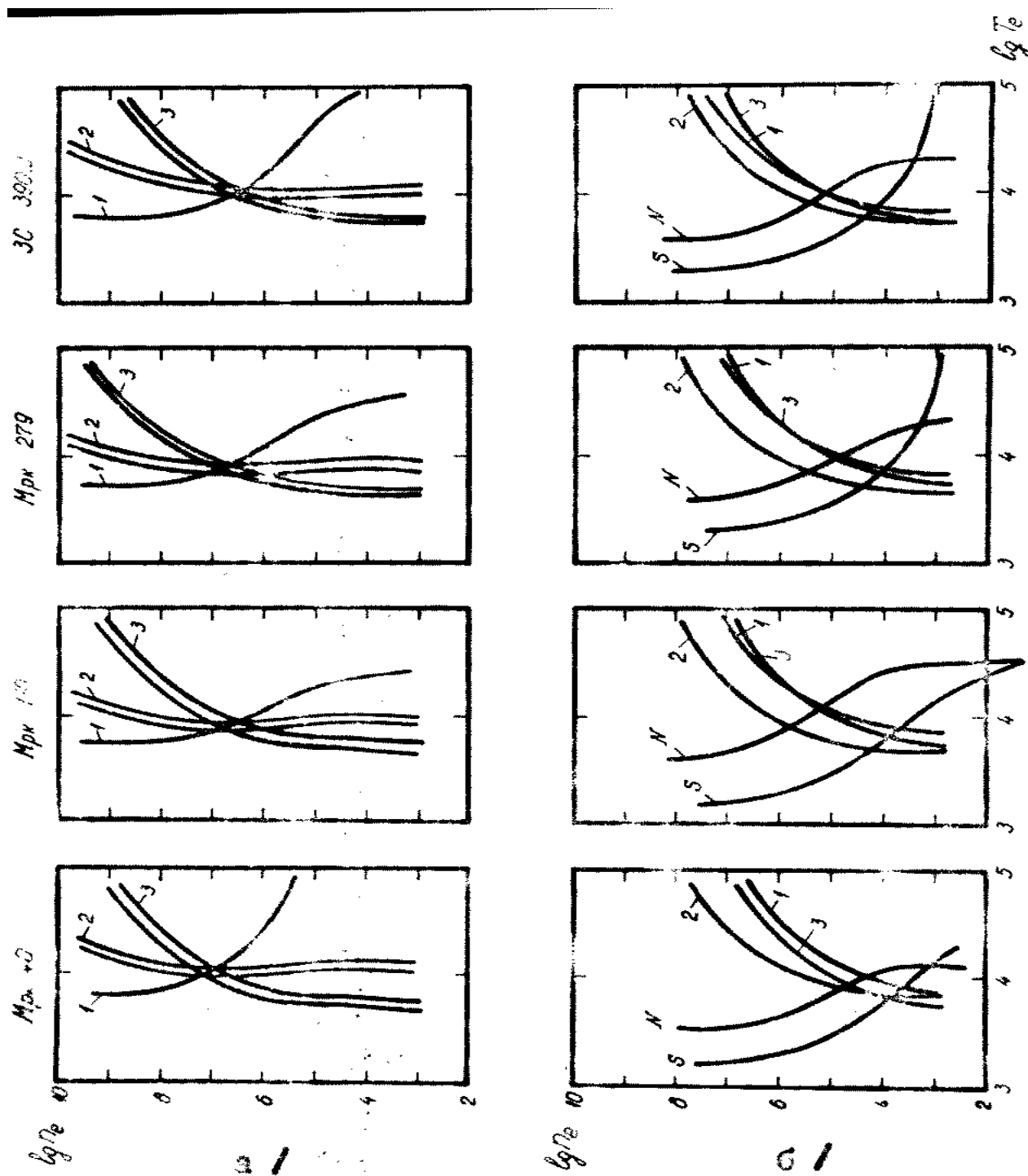


Рис. 16 - Определение электронных температур и электронных плотностей в язвах супергравитных галактик типа NGC 1151 методом Ситона (1983).

a / для зон [O III]: 1 -  $I_{\lambda 4263} / (I_{\lambda 4959} + I_{\lambda 5007})$ , 2 -  $I_{\lambda 4363}$ , 3 -  $I_{\lambda 4959} + I_{\lambda 5007}$ .

b / для зон [N II]: N и S - природные радиокомплексы для линий азота и серы соответственно, 1 -  $I_{\lambda 3727} / (I_{\lambda 3969})$ , 2 -  $I_{\lambda 6717}, 6731 [S II]$  и 3 -  $I_{\lambda 6543}, 6581 [N II]$ .

Для подробности см. в тексте.

Рабочая 15

Экологические условия в разных северотонких районах страны

NGC 4151

Таблица 15 - продолжение

1	2	3	4	5	6	7	8	9
Мрк 504	3,88	6,50	3,81	6,60				
506	3,92	6,30	3,88	6,40	4,00	2,50	2,50	2,85
509								3,20
541	3,96	7,20	3,88	7,40				
590	4,00	6,95	3,96	7,10	3,96	3,15	3,17	
Мрк 618	3,88	6,40	3,84	6,50	3,92	3,40	3,44	3,50
NGC 3227	3,96	6,00	3,92	6,20				3,12
3516	3,88	6,70	3,81	6,80	4,16	3,60	3,52	2,76
5543	4,00	6,70	3,84	6,80	4,36	3,30	3,12	3,08
NGC 7400	3,90	6,60	3,88	6,70				3,22
I Zw 1	3,92	6,70	3,88	6,80				
II Zw 1	3,92	6,10	3,90	6,20	3,88	2,40	2,96	3,20
II Zw 136								
III Zw 2	3,84	6,40	3,80	6,50	4,64	3,30	2,98	3,03
30 120	3,96	6,30	3,92	6,45				3,22
30 227	3,96	6,70	3,92	6,80	4,40	3,40	3,20	2,38
30 332	3,92	7,00	3,88	7,10				3,28
30 390.3	4,00	6,60	3,92	6,70	4,13	3,90		
30 445	4,40	6,30	4,00	6,30	4,00	2,50	2,50	2,32

Таблица 16

Физические условия в ядрах сейфертовских галактик

Объект	Зона [O III]			Зона [O II]		
	нзт.	$T_e [K]$	$n_e [cm^{-3}]$	нзт.	$T_e [K]$	$n_e [cm^{-3}]$
<i>NGC</i> 1068	1	17000	$10^3$	3	/10 - 20000	$10^3$
	2	10200	$4 \times 10^3 - 2 \times 10^5$	2	8 - 10000	$4 \times 10^3$
<i>NGC</i> 1275	4		$10^6$	3	10 - 20000	$10^3$
	5	16000	$3 \times 10^6 - 10^{10} \times 10^6$	5	12000	$4 \times 10^3$
<i>NGC</i> 3227	6	19000		6	11000	$200-2000$
	7	16000	$10^4$	7	12000	$10^3$
<i>NGC</i> 3516				7	15000	$10^3$
<i>NGC</i> 4051	7	16000	$5 \times 10^6$	7	12000	$3 \times 10^3$
<i>NGC</i> 4151	8	Одна зона с $T_e = 2 \times 10^4$ и $n_e = 4 \times 10^3$				
	9		14000			$2 \times 10^3$
	10		/13000/			5000
<i>NGC</i> 5548	11	14000	$3 \times 10^5$			
<i>NGC</i> 7469	7	14000	$5 \times 10^6$			
	4	$4 \times 10^4$	$2,5 \times 10^5$			
Мрк 79	8	$3-3,5 \times 10^4$	$2,5 \times 10^5$	8	$10^4$	$2,5-3 \times 10^4$
ЗС 120	12	26000	$/10^5/$	12	/26000/	1500
<i>N</i> -галакт.	13	10-12000	$5 \times 10^5 - 5 \times 10^6$			
СГ типа 1	14	$/10^4/$	$10^6$	14	$/10^4/$	$10^3$
СГ типа 2	14	/12000/	$10^5$	14	10-20000	$10^3$
Радиогал.	15	$10^4$	$10^6 - 10^7$			

Примечание к таблице 16: Значения  $n_e$  и  $T_e$ , заключенные в скобках, являются величинами, принятыми авторами. При этом получались приведенные в соседных столбцах значения  $n_e$  и  $T_e$  соответственно. 1 - Дибай и Проник (1965), 2 - Остерброк и Паркер (1965), 3 - Ванпльер (1971), 4 - Андерсон (1970), 5 - Дибай и Проник (1966), 6 - Рубин и Форд (1968), 7 - Дибай и Проник (1967), 8 - Чинкулова (1974), 9 - В. Вельяминов и Дибай (1968), 10 - Оук и Сарджент (1968), 11 - Дибай и др. (1967), 12 - Шилдс и др. (1972), 13 - Смит и др. (1976), 14 - Нойгебауэр и др. (1976), 15 - Остерброк и др. (1976).

$\text{см}^{-3}$ . Авторы приводят значение  $3 \times 10^5 \text{ см}^{-3}$ .

Для трех  $N$ -галактик Смит и др. (1976) отмечают, что при нормальном химическом составе  $n_e \geq 5 \times 10^5 \text{ см}^{-3}$  для галактик PKS 0353 + 027 и 3C 467 и  $n_e \geq 10^6 \text{ см}^{-3}$  для 3C 411.

Спектрофотометрия 18 маркарьяновских галактик привела Нойгебауэра и др. (1976) к выводу, что у сейфертовских галактик типа *NGC* 4151 существуют три зоны — плотная (водородная) зона с  $n_e \geq 10^8 \text{ см}^{-3}$  (ранее принимались значения  $n_e \geq 10^7 \text{ см}^{-3}$ ), зона [O III] с  $n_e \geq 10^6 \text{ см}^{-3}$  и  $T_e \sim 10^4 \text{ К}$  и зона [O II] с  $n_e = 10^3 \text{ см}^{-3}$  и  $T_e \sim 10^4 \text{ К}$ . Что касается сейфертовских галактик типа *NGC* 1068, то, как показано теми же авторами, плотная зона отсутствует.

Как отмечают Остерброк и др. (1976), электронные плотности и температуры в зонах [O III] четырех радиогалактик с широкими линиями порядка  $T_e \sim 10^4 \text{ К}$  и  $n_e = 10^6 - 10^7 \text{ см}^{-3}$ . Кроме того, указанные авторы отмечают, что для галактик 3C 382 и 3C 390.3 нет конечных температур, которые соответствовали бы наблюдаемому отношению линий [O III] при  $n_e = 10^5 \text{ см}^{-3}$ .

Таким образом, полученные нами результаты в принципе не противоречат результатам, полученным ранее другими авторами. С другой стороны, как уже отмечалось, они согласуются с интерпретацией зависимостей между интенсивностями линий и показателем цвета

#### § 4. СОДЕРЖАНИЕ ИОНОВ И ХИМИЧЕСКИЙ СОСТАВ ИЗУЧАЮЩЕГО ГАЗА

##### В ЯДРАХ СЕЙФЕРТОВСКИХ ГАЛАКТИК ТИПА *NGC* 4151 И РАДИОГАЛАКТИК С ШИРОКИМИ ЛИНИЯМИ.

На основе относительных интенсивностей эмиссионных линий для сейфертовских галактик типа *NGC* 4151, приведенных Остерброком (1977), и для радиогалактик с широкими линиями, приведенных Остерброком (1977) и Гранди и Остерброком (1978), применив метод

лику, изложенную в параграфе 2 второй главы, мы определили относительные содержания ионов  $O^0$ ,  $O^+$ ,  $O^{++}$ ,  $N^+$ ,  $S^+$ ,  $He^+$  и  $He^{++}$  по отношению к ионам водорода  $H^+$  и полное содержание элементов  $He$ ,  $N$  и  $O$ . Относительные интенсивности были исправлены за покраснения света в Галактике по формуле (Архипова 1970)

$$I_0 = I_{\text{набл}} + C \times f(\lambda).$$

Функция  $f(\lambda)$ , представляющая закон межзвездного поглощения света Уитфорда (1958), бралась из работы Калера и др. (1976). Она незначительно отличается от табуляции, приведенной Ситоном (1960). Поглощение С определялось по бальмеровскому декременту для  $T_e = 10^4$  К и  $n_e = 10^4$  см $^{-3}$  (зависимость от  $n_e$  слабая) согласно Броклеварсту (1971). Электронная температура определялась по линиям [O III]  $\lambda\lambda 4363, 4959, 5007$ . Уравнение, связывающее относительные интенсивности небуллярных и авроральных линий, решалось графическим методом при помощи данных, приведенных Боярчуком и др. (1969). Уравнение решалось при  $n_e = 5,5; 6,0$  и  $6,5$ . Соответствующие средние значения логарифмов электронных температур и их дисперсии приведены в таблице I7.

Таблица I7

Средние значения электронных температур для сейфертовских галактик типа  $NGC 4151$  и радиогалактик с широкими линиями

		Р Г Ш Л			С Г типа $NGC 4151$		
$\lg n_e$	$n$	$\lg T_e$	$\sigma$	$n$	$\lg T_e$	$\sigma$	
5,5	II	4,24	0,21	31	4,26	0,14	
6,0	I3	4,12	0,20	34	4,10	0,14	
6,5	I3	3,96	0,13	34	3,94	0,09	

Остерброк (1977) указывает, что для этих же объектов  $T_e = 10^{-}$

- 13000 К для  $\rho_e = 10^5 - 10^6 \text{ см}^{-3}$ .

В таблицах I8 и I9 для 36 сейфертовских галактик типа *NGC* 4151 и I5 радиогалактик с широкими линиями соответственно представлены логарифмы чисел ионов и атомов в галактиках, перечисленных в первых столбцах таблиц в предположении, что число во-цородных атомов равно  $10^{12}$ . Значение электронной температуры на основании данных таблицы I7 было при этом принято равным  $10^4$  К.

### § 5. ФИЗИЧЕСКИЕ УСЛОВИЯ, СОДЕРЖАНИЕ ИОНОВ И ХИМИЧЕСКИЙ СОСТАВ ИЗЛУЧАЮЩЕГО ГАЗА В ЯДРАХ СЕЙФЕРТОВСКИХ ГАЛАКТИК ТИПА *NGC* 1068 И РАДИОГАЛАКТИК С УЗКИМИ ЛИНИЯМИ.

В настоящем параграфе приведены данные, аналогичные данным предыдущего параграфа, относительно 23 сейфертовских галактик типа *NGC* I068 и I6 радиогалактик с узкими линиями. Результаты спектрографометрии для этих галактик приведены Кошки (1978), Костеро и Остерброком (1977), Пенстоном и Фосбури (1978) и Остерброком и Кошки (1975).

Кошки (1978) приводит средние плотности и температуры для 34 сейфертовских галактик типа *NGC* 1068 и радиогалактик с узкими линиями. Электронные плотности определялись им по относительным интенсивностям линий ионизованной серы [S II]  $\lambda\lambda 6717, 6731$  и использовались для определения электронных температур по линиям дважды ионизованного кислорода [O III]  $\lambda\lambda 4363, 4959, 5007$ . Полученные средние значения для  $\rho_e$  и  $T_e$  таковы:

$$\langle \lg \rho_e \rangle = 2,80 \quad \sigma(\lg \rho_e) = 1,13 \quad n = 34$$

$$\langle \lg T_e \rangle = 4,25 \quad \sigma(\lg T_e) = 0,20 \quad n = 28$$

Нам представляется, что столь низкие значения  $\rho_e$  и столь

высокие значения  $T_e$  являются результатами того, что Коски игнорирует стратификацию излучения, хотя и отмечает существование двух зон ионизации. Поэтому приведенные Коски температуры, по-видимому, надо рассматривать как верхние границы.

Для иллюстрации мы вычислили  $N_e$  и  $T_e$  с учетом стратификации излучения. Используя данные, приведенные Коски, мы определили электронные плотности и температуры отдельно для зон [O II] и [O III]. Эти параметры для зоны [O II] определялись по линиям [N II]  $\lambda\lambda$  5755, 6548, 6584 [S II]  $\lambda\lambda$  4068, 4086, 6717, 6731. Относительные интенсивности перечисленных линий приведены для пяти галактик, для которых получены средние значения  $N_e$  и  $T_e$ :

$$\lg T_e = 3,92 \quad \delta(\lg T_e) = 0,23 \quad \lg N_e = 4,38 \quad \delta(\lg N_e) = 0,51$$

Если же игнорируется стратификация излучения, то электронная температура получается значительно выше. Действительно, по линиям [S II]  $\lambda\lambda$  4068, 4086, 6717, 6731 и [O III]  $\lambda\lambda$  4363, 4959, 5007 получается  $\langle \lg T_e \rangle = 4,27 \quad \delta(\lg T_e) = 0,16; \langle \lg N_e \rangle = 3,84$  и  $\delta(\lg N_e) = 0,37$  для 22 галактик. (линии разных отношений для ионов  $\text{N}^{+}$  и  $O^{++}$  не пересекаются). Как видно, и применение другого метода в случае игнорирования стратификацией излучения приводит электронным температурам, совпадающим со значением полученным Коски.

Поскольку данные о линии неона [Ne III]  $\lambda$  3343 не приводятся, то однозначное определение  $N_e$  и  $T_e$  для зоны [O III] невозможно. Электронные температуры определялись как и в предыдущем параграфе по отношению линий [O III]  $\lambda\lambda$  4363, 4959, 5007 для трех значений электронных плотностей:  $\lg N_e = 5,5, 6,0$  и  $6,5$ . Соответствующие средние значения электронной температуры по 35 объектам следующие  $\lg T_e = 4,14, 4,00$  и  $3,88$ . Сравнение этих чисел с данными таблицы I7 предыдущего параграфа показывают, что значения

электронных температур в сейфертовских галактиках типа  $NGC\,1068$  и радиогалактиках с узкими линиями совпадают с их значениями в сейфертовских галактиках типа  $NGC\,4151$  в случаях, когда электронные плотности в объектах типа  $NGC\,1068$  примерно на полпорячка ниже, чем в объектах типа  $NGC\,4151$ . Это качественно согласуется с результатами Нойгебауера и др. (1976), а также с результатом, полученным Аракеляном (1977) по характеру зависимости интенсивностей линий от показателя цвета  $U - B$ . Следует отметить, что отношение  $I_{\lambda}4363 / (I_{\lambda}4959 + I_{\lambda}5007)$  во всех случаях равно или больше 0,008 – т.е. для  $\log T_e = 4,00$  всегда  $\log N_e \geq 5,00$ . На основании сказанного содержание ионов и атомов определялось нами при  $T_e = 10^4$  К. Данные для 37 объектов приведены в таблице 20, которая содержит логарифмы чисел ионов и атомов для галактик, перечисленных в первом столбце. Как обычно, число водородных атомов принималось равным  $10^{12}$ . Радиогалактики с узкими линиями отделены в конце таблицы после галактики Мrk 42.

На основании полученных результатов можно заключить, что:

1. Сейфертовские галактики типа  $NGC\,4151$  имеют в среднем относительное содержание гелия в полтора раза большее, чем сейфертовские галактики типа  $NGC\,1068$  и радиогалактики с узкими линиями и примерно в 3 раза большее, чем радиогалактики с широкими линиями.

2. Сейфертовские галактики типа  $NGC\,4151$  и радиогалактики с широкими линиями содержат примерно на порядок меньше азота и в пять–восемь раз меньше кислорода, чем сейфертовские галактики типа  $NGC\,1068$  или радиогалактики с узкими линиями.

3. Содержание серы у сейфертовских галактиках типа  $NGC\,4151$  и радиогалактиках с широкими линиями примерно на порядок меньше

Таблица 18

Содержание ионов и атомов в ядрах сейфертовских галактик типа:

*NGC4151 \**, *\*\**

Объекты	$O^{\circ}$	$O^{\circ}$	$O^{\circ\circ}$	$N^+$	$S^+$	$He^+$	$He^{++}$	$He$	$N$	$O$	$\frac{O}{N}$	
	1	2	3	4	5	6	7	8	9	10		
Мрк 10	6,35	6,60	7,46	6,22	5,43	11,11	10,64	11,24	7,14	7,86	0.44	
40	6,98	7,30	7,34	6,30	5,58	11,30	10,34	11,34	6,63	7,71		
69	7,04	7,13	6,85	5,82	11,18	10,62	11,23	7,20	7,30			
*	79	6,32	6,62	7,10	6,14	5,40	11,11	10,15	11,15	6,74	7,23	0.44
106		6,43	6,96	5,95			10,85	10,45	11,00	6,59	7,11	
110	6,43	7,94	7,22	5,96	5,51	10,78	10,30	10,91	6,03	8,02	0.20	
124		7,33	7,29			10,72	10,41	10,89			7,61	
141		6,48	7,08	6,74	5,78	10,79	10,26	10,95	7,44	7,18		
142		6,43	6,90	5,70	4,76	11,27	10,57	11,34	7,30	7,02		
236	7,60	6,68	7,15	6,00	5,65	11,15	10,58	11,26	6,59	7,77		
*	279	6,55	6,72	6,80	6,22	5,38	11,02	10,20	11,08	6,56	7,18	
290	6,42	6,58	7,29	5,83	5,20	11,08	10,20	11,13	6,78	7,39		
291	6,97	7,44	7,47	7,03	6,10	11,04	10,96	11,30	7,35	7,82		
304	5,48	5,79	6,32	5,59	4,71	11,04	10,18	11,10	6,21	6,43	0.15	
335		5,59	6,86			11,08	10,52	11,18			6,89	
352		5,43	6,54			11,04	10,64	11,19			6,58	
358	6,79	6,59	7,13	6,37	5,90	10,84	10,77	11,11	7,03	7,37		
374			7,12	5,59	5,22	11,21	10,46	11,28			0.29	
376			6,64	6,30	4,87	10,98						
382		6,51	7,42	6,59	6,40	11,08	10,81	11,26	7,55	7,47	0.65	
478		6,76	6,88			10,72				7,13		
486			6,82			10,87	10,30	10,97				
504			6,90			11,10	10,62	11,23				
*	506	6,66	6,91	7,36	6,43	5,67	11,23	10,48	11,30	6,90	7,55	
Мрк 509		6,17	6,88			11,15	10,46	11,23		6,96	0.29	

Таблица 18 - продолжение

1	2	3	4	5	6	7	8	9	10	11	4686/H <sub>B</sub>
Mrk 541		6,19	6,86	6,88		11,41	10,76	11,50	7,64	6,94	
590	7,05	6,90	7,22	6,53	5,58	11,04			7,02	7,55	
618	6,43	6,65	7,13	6,93	6,18	11,20	10,62	11,30	7,54	7,22	
NGC 3727	6,08	6,18	7,60	6,07	5,14	11,26	10,72	11,36	7,51	7,61	
3516		6,97	7,21			11,15	10,38	11,20		7,41	
5542	6,57	6,83	7,38	5,97	5,23	10,62	9,32	10,64	6,64	7,54	
NGC 7469		6,96	7,21			11,08	10,40	11,16		7,40	0.25
I Zw 1			7,12			10,95					
II Zw 1	6,69	6,93	7,58	6,80	5,96	11,08	10,66	11,23	7,54	7,71	
II Zw 136		6,24	7,03			11,36	10,15	11,40		7,09	0.14
III Zw 2	6,35	6,41	7,00	5,76	5,26	10,95	9,84	10,98	6,44	7,17	0.07

Таблица 19

Содержание ионов и атомов в ядрах радиогалактик с широкими линиями											
Объекты	O <sup>0</sup>	O <sup>+</sup>	O <sup>++</sup>	N <sup>+</sup>	S <sup>+</sup>	He <sup>+</sup>	He <sup>++</sup>	He	H	O	
3C 120	6,32	6,56	7,43	6,14	6,19	11,08	10,36	11,50	7,07	7,52	
227	6,63	6,83	7,40	7,96	7,02	10,72	10,40	10,90	8,64	8,66	
234	6,02	7,88	8,46	6,52	5,82	10,48	10,40	10,78	7,20	8,60	
237.1	6,40	9,14	7,93	6,43	5,79				6,45	9,17	
332	6,29	9,04	8,44	6,56	5,64		10,66		6,66	9,14	
381	3,04	3,52	8,76	7,56	6,74		10,64		8,00	9,01	
382	6,68	6,35	6,78	4,83	4,90	10,91	9,60	10,95	6,30	6,95	
390.3	6,39	6,97	7,46	5,85	5,05	10,93	9,30	11,00	6,46	7,63	
345	6,77	6,86	7,90	6,00	5,36	10,57			7,56	7,94	
003+027			7,77				9,95				
-17 -19	5,75	6,90	7,81	6,68	5,65	10,48	9,70	10,54	7,64	7,86	
2349 -01	4,78	6,76	7,07	6,23	5,27	10,69			6,76	7,26	

Таблица 19 - продолжение

Объекты	$O^0$	$O^+$	$O^{++}$	$N^+$	$S^+$	$He^+$	$He^{++}$	$He$	$N$	$O$
1 4C 29.06	2 6,17	3 7,30	4 7,72	5 6,61	6 5,81	7 10,11	8 9,66	9 10,26	10 7,13	11 7,07
4C 35.37		6,92	7,23							7,45
IV	29	6,05	7,34	7,61	6,69	5,74			7,15	7,81

Таблица 20

Содержание ионов и атомов в ядрах сейфертовских галактик типа  
1068 и радиогалактик с узкими линиями \*

Объекты	$O^0$	$O^+$	$O^{++}$	$N^+$	$S^+$	$He^+$	$He^{++}$	$He$	$N$	$O$	
	1	2	3	4	5	6	7	8	9	10	11
* Крк 176	7,74	8,14	8,66	7,67	6,68	10,87	10,63	11,04	8,31	8,81	
* Крк 3	7,99	8,13	8,60	7,70	6,83	10,79	10,26	10,90	8,30	8,80	
* NGC 068	7,72	7,67	8,59	7,86	6,55	11,04	10,61	11,18	8,83	8,69	
Крк 573	7,63	8,05	8,58	7,59	6,83	10,87	10,56	11,04	8,23	8,73	
*	78	7,63	8,28	8,58	7,56	6,75	10,87	10,54	11,04	8,04	8,79
*	348	8,17	8,24	8,57	7,56	7,01	10,95	10,34	11,04	8,06	8,84
*	34	7,67	8,12	8,56	7,54	6,85	10,95	10,45	11,08	8,11	8,73
*	1	7,97	8,03	8,54	7,54	6,64	10,87	10,48	11,00	8,17	8,74
* Крк 270	8,05	8,34	8,44	7,66	7,06	11,15	10,34	11,20	8,02	8,72	
* III Zw55	7,89	8,09	8,34	7,79	6,79	10,82	10,30	10,90	8,23	8,62	
* Крк 198	7,71	7,79	8,24	7,55	6,84	10,91	9,85	10,95	8,00	8,51	
*	268	8,03	8,16	8,18	7,89	7,01	10,85	9,90	10,90	8,20	8,61
* Крк 273	7,79	8,50	8,15	7,62	6,80	10,82	10,52	10,85	7,78	8,72	
I Zw 81	7,46		7,95	7,48	6,60	11,28					
Крк 298	7,74	8,24	7,78	7,04	6,71	10,87			7,16	8,46	
507	7,03	7,59	7,36	7,34	6,18	10,68			7,54	7,86	
Крк 700	7,66	7,69	7,23	7,91	6,72	10,43			8,03	8,05	

\* бывш Задачи изм Год. 18

Таблица 20 - продолжение

				$\text{He}^+$	$\text{He}^{++}$	$\text{He}$					
1	2	3	4	5	6	7	8	9	10	11	
NGC 6764	7,29	7,97	7,18	7,49	6,64	10,91	9,78	10,95	7,56	8,11	
Мрк 378	7,09		7,15	7,32	6,58	11,15					
*	6	7,83	8,02	8,46	8,40	6,78	11,00			7,98	8,67
	315	7,35	7,93	7,91	7,42	6,50	11,32			7,71	8,27
	372	8,18	8,21	8,50	7,80	7,10	11,49			8,27	8,79
*	Мрк 42	6,76	7,00	7,11	6,97	5,85	10,87			7,32	7,46
*3C 33	7,97	8,28	8,60	7,44	6,84	10,85	10,41	11,00	7,93	8,84	
*	184,1	7,46	7,93	8,53	7,00	6,41	11,00	10,43	11,11	7,70	8,66
	433	7,98	8,38	8,47	7,91	7,07	11,36			8,26	8,80
*	3C 452	8,20	8,27	8,34	7,75	6,91	11,11	9,78	11,15	8,09	6,75
	503.100	7,18	7,57	7,26	7,25	6,18	10,91			7,41	7,85
*	3C 33	8,11	6,22	8,68	7,60	7,15		10,50		8,18	8,89
	98	8,17	8,38	8,69	7,66	7,01	11,40	10,48	11,45	8,12	8,94
	178	7,10	8,76	7,26	7,41	6,53	10,84	10,00	10,90	7,53	7,94
	192	7,79	8,26	8,41	7,56	6,94	11,15	10,20	11,20	7,94	8,70
	327	7,70	8,01	8,63	7,53	6,72	10,98	10,50	11,11	8,28	8,76
	327	7,59	7,82	8,77	7,43	6,82	10,87	10,60	11,04	8,43	8,84
	1534-63	8,38	8,54	8,43	7,53	6,72	10,91			7,83	8,95
	2325-12	8,07	8,44	7,30	7,54	7,08	10,72	9,78	10,78	7,57	8,62
	NGC 1052	8,32	8,57	7,84	7,68	7,12				7,75	8,81
	NGC 5506	7,85	8,45	8,36	7,65	7,06	10,87	10,23	10,93	7,90	8,76
CyG A	8,23	8,23	8,18	7,94		10,76	10,38	10,90	8,22	8,70	

Примечание: Для радиогалактики 3C 33 содержание ионов и атомов определялось по относительным интенсивностям линий, приведенным Боски (1978) и Костеро и Остерброком (1977), а для радиогалактики 3C 327 - Костеро и Остерброком (1977) и Пенстоном и Фосбури (1978).

\* - 25 гор от гор. 18, 19 и 20 са включени (от общо 90 област)

в данн. работе из Н. Верникова - табл. 2, Там может быть не включено еще 7 област.

чем в сейфертовских галактиках типа *NGC* I068 или радиогалактиках с узкими линиями. Для последних относительное содержание серы примерно таково, как в звездах или в туманности Ориона.

4. Возможно, что низкое отношение  $[O\ III] / H_{\beta}$  в сейфертовских галактиках типа *NGC* 4151 является следствием пониженного содержания кислорода, по сравнению с сейфертовскими галактиками типа *NGC* I068 или радиогалактиками.

5. По содержанию ионов и атомов сейфертовские галактики типа *NGC* I068 и радиогалактики с узкими линиями неотличимы друг от друга. Коски (1978) отмечает, что эти два типа галактики по своим спектральным характеристикам образуют одну группу. Наши вычисления этому выводу не противоречат.

Приведенные результаты получены в предположении, что все рассмотренные линии в каждой галактике образуются в том же объеме. Если это предположение далеко от правильности, то и применение использованной методики лишено смысла. Однако, близость потенциалов ионизации ионов, линий которых выше рассмотрены, позволяет полагать, что полученные значения параметров близки к их истинным значениям.

Особого рассмотрения заслуживает содержание ионов азота  $N^{+}$  и, соответственно, относительная интенсивность линии  $[N\ II]\lambda 6584$ . Как отмечалось, поведение этой линии специально обсуждалось Бэрбиджем и др. (1963) и Морганом и Остерброрком (1969). С другой стороны Аллоэн и др. (1975) обнаружили корреляцию относительной интенсивности линий  $[N\ II]\lambda 6584$  и  $H_{\alpha}$  в ядрах спиральных галактик с мощностью их радиоизлучения, причем радиосветимость возрастает с относительной интенсивностью линии азота. В связи с этим в таблице 21 мы приводим относительную интенсивность

этих линий для всех рассмотренных групп галактик.

Таблица 21

Среднее отношение  $[N\text{II}] \lambda 6584 / H_{\alpha}$  для галактик  
разного типа

Объекты	$\langle \frac{6584}{H_{\alpha}} \rangle$	$\sigma$	$n$
Яркие галактики	1,06	0,71	10
Сейфертовские галактики типа $NGC 1068$ и радиогалактики с узкими линиями	0,84	0,47	37
Галактики высокой поверхностной яркости	0,55	0,25	8
Галактики Маркаряна	0,55	0,26	28
Сейфертовские галактики типа $NGC 4151$	0,07	0,06	27
Радиогалактики с широкими линиями	0,04	0,04	12

Как видели, сейфертовские галактики типа  $NGC 1068$  и радиогалактики с узкими линиями содержат на порядок больше азота по сравнению с сейфертовскими галактиками типа  $NGC 4151$  и радиогалактиками с широкими линиями. У последних значение  $[N\text{II}] / H_{\alpha}$  очень низко. Из наших данных следует, что высокая активность (сейфертовские характеристики ядер) коррелирует с отношением  $[N\text{II}] / H_{\alpha}$  в том смысле, что активность больше при наибольших отклонениях значений  $[N\text{II}] / H_{\alpha}$  от значения, соответствующего областям Н II. То же самое наблюдается и для активности в радиодиапазоне.— Как радиогалактики с узкими линиями, так и радиогалактики с широкими линиями отличаются аномальными для диффузных туманностей относительными интенсивностями линии  $[N\text{II}] \lambda 6584$ . Если радиогалактики с узкими линиями показывают ту же тенденцию, что и тенденция, обнаруженная Аллоеном и др. (1975), то радиога-

лактики с широкими линиями проявляют противоположную тенденцию. При этом обе группы радиогалактик содержат объекты с одинаковыми радиосветимостями. Действительно, в работе Груеффа и Риготти (1977) приведены мощности радиоизлучения на частоте 408 МГц для примерно половины радиогалактик с узкими и широкими линиями, рассмотренных нами. Для радиогалактик с широкими и с узкими линиями соответственно имеем:

$$\langle \lg P \rangle = 26,13$$

$$\sigma(\lg P) = 0,48$$

$$\langle \lg P \rangle = 26,14$$

$$\sigma(\lg P) = 0,47$$

Таким образом, можно полагать, что результаты Аллоэна и др. отражают рассматриваемую зависимость в интервале меньших радиосветимостей, соответствующих спиральным галактикам. Рассмотрение интервала очень высоких радиосветимостей на основании данных о спиральных галактиках практически невозможно, так как радиогалактики являются преимущественно эллиптическими галактиками.

Не исключена также возможность, что с точки зрения рассматриваемого вопроса поведение спиральных галактик отличается от поведения эллиптических.

## Г Л А В А IV

### СРАВНЕНИЕ ФИЗИЧЕСКИХ УСЛОВИЙ В ТУМАННОСТЯХ, ЯДРАХ НОРМАЛЬНЫХ ГАЛАКТИК, И ПЕКУЛЯРНЫХ ВНЕГАЛАКТИЧЕСКИХ ОБЪЕКТАХ

#### § I. ФИЗИЧЕСКИЕ УСЛОВИЯ И СОДЕРЖАНИЕ НЕКОТОРЫХ ИОНОВ В ДИФФУЗНЫХ ТУМАННОСТЯХ

Химический состав внегалактических объектов лучше всего иллюстрируется сравнением с межзвездной средой, а конкретнее, с химическим составом эмиссионных диффузных туманностей. Аллер (1961) следующим образом представляет преимущества и недостатки метода определения химического состава по эмиссионному спектру газовых туманностей:

а/ преимущества сводятся к следующему:

По-видимому, диффузные туманности химически однородны, поскольку газовое и лучистое давление постоянно перемешивают излучающий газ.

Практически все части туманности доступны наблюдениям.

Хотя и есть отклонения от термодинамического равновесия, физические процессы, ответственные за появление эмиссионного спектра хорошо известны и подаются точным теоретическим расчетам.

б/ к недостаткам такого подхода относятся:

Обычно наблюдаются только линии самых распространенных элементов.

Данный элемент обычно наблюдается только в несколько стадий ионизации, хотя на самом деле возможно и вероятно, что в других стадиях ионизации элемент тоже излучает, но по каким-то причинам эти линии не наблюдаются.

В большинстве туманностей существуют сгустки, облаков, - т.е. неоднородности температуры и плотности. Часто наблюдается

стратификация - во внутренних частях туманности возбуждение больше.

Известно, что диффузные туманности - это огромные газопылевые комплексы, связанными с молодыми, горячими звездами. Они являются представителями первого типа населения Галактики. По сравнению с планетарными туманностями, для которых самыми сильными линиями являются линии [O III]  $\lambda\lambda$  4959, 5007 дважды ионизованного кислорода, диффузные туманности показывают более низкое возбуждение - обычно самая интенсивная линия в их спектрах это дублет [O II]  $\lambda\lambda$  3727 ионизованного кислорода. Поскольку это объекты низкой поверхностной яркости, они изучены слабо - к настоящему времени получены спектрофотометрические данные примерно для 100 объектов нашей и ближайших галактик.

В каталоге Калера (1976) приведены относительные интенсивности эмиссионных линий для 117 диффузных туманностей нашей и ближайших галактик. Из этого списка выбраны 96 объектов, которые показывают достаточное количество линий (Янкулова, Петров, Голев 1979). Для большинства объектов приводятся данные из нескольких источников. По возможности мы старались использовать те данные, относящиеся к центральным областям туманностей. Поскольку материал очень неоднороден и неполон, мы вынуждены определять некоторые средние температуры и давления. Применением уравнения (Видман 1968)

$$r = \frac{I_{6717}}{I_{6731}} = 1.5 \frac{1 + 0.51x}{1 + 1.98x} , \quad x = 10^{-2} n_e T_e^{-1/2}$$

для  $T_e = 10000$  К по 43 объектам было получено  $\langle \log n_e \rangle = 2.90$   
 $\langle \log T_e \rangle = 0.39$ . Для 12 объектов, для которых дублет [O II]  $\lambda\lambda$  3726, 3729 разрешен, по уравнению

$$\rho = \frac{I_{3726}}{I_{3729}} = 1,5 \frac{1+0,33\epsilon + 0,23\gamma(1+0,75\epsilon + 0,14\epsilon^2)}{1+0,40\epsilon + 0,099\gamma(1+0,84\epsilon + 0,17\epsilon^2)}$$

где  $\epsilon = e^{-\frac{19600}{T_e}}$ ,  $\gamma = n_e T_e^{-1/2}$  (Ситон и Остерброк 1957) для  $T_e = 10000$  К было получено  $\langle \lg n_e \rangle = 2,86$  и  $G/\lg n_e = 0,27$ . Хорошее совпадение этих результатов можно рассматривать как указание на то, что ионы  $O^+$  и  $S^+$  светятся в одной и той же зоне [OIII].

Из-за отсутствия данных об интенсивностях линии [N<sub>e</sub>III] у нас не было возможности определять однозначно  $n_e$  и  $T_e$  для зон [O III] (см. главу II), но среднее отношение [O III]  $I_{\lambda 4363} / (I_{\lambda 4959} + I_{\lambda 5007}) = 0,016$  указывает на то, что  $\lg T_e = 4,00$  имеет место при  $\lg n_e = 5,5$ .

Первым, кто занимался химическим составом внегалактической диффузной туманности, был Джонсон (1959), определивший относительное содержание гелия и водорода в туманности 30 Dor.

Определением содержания ионов и химического состава галактических и внегалактических диффузных туманностей занимались также Пеймберт и Торес-Пеймберт (1974), Пеймберт и Спирнрад (1970) Смит (1975), Дюбоур и Харлоу (1977), Пеймберт и Торес-Пеймберт (1976, 1977). Испечерпывающий обзор проблемы дан Пеймбертом (1975).

Применяя методику, изложенную в главе II, мы определили содержания ионов  $He^+$ ,  $N^+$ ,  $O^+$  и  $S^+$  для 96 объектов. Данные приведены в таблице 22, которая содержит логарифмы чисел ионов для объектов, перечисленных в первом столбце в предположении, что  $T_e = 10000$  К и  $\lg H = 12,00$ .

Следует отметить, что поскольку нами применена методика, предложенная Пеймбертом (1968), то естественно, что в среднем

Таблица 22

Содержание некоторых ионов в диффузных туманностях

Объект	$H_e^+$	$N^+$	$O^+$	$S^+$	Объект	$H_e^+$	$N^+$	$O^+$	$S^+$	
1	2	3	4	5		1	2	3	4	5
NGC 281		7,04	7,86	6,04	IC 1470	11,44	7,04	8,10		
1499		7,16	7,79	6,33	3148		7,71		6,10	
1931		7,18			2177		7,14	8,33	6,47	
2023		7,02			IC 4628		6,70			
2024	10,64	6,99			E 1		7,99	7,77		
2068		7,03			NN 1		7,21	7,74	6,32	
2175		7,02	9,46	6,88	5 61		7,05	8,30		
2237	11,05	7,77	8,17	6,37	71		7,69	7,99		
2264		7,19	8,11	6,28	100		6,78	8,03		
2359		6,97			148		7,33	8,31		
3576	10,85	7,02	8,06	6,20	152		7,40	8,31		
6193		7,55		6,13	163		7,20		6,13	
6357	10,87	7,67	7,52	5,95	175		7,20		6,54	
6514		7,65			186		7,24		6,42	
6523	11,20	7,37	7,86	6,03	211		7,31		6,34	
6559		7,06			212		6,63	7,99		
6611		7,37			255		6,91	8,00		
6613		7,69		6,11	257		7,35	7,97		
6888		7,62	8,98	6,90	264		6,98	7,97	6,34	
7000		7,51	8,18	6,94	S 269		7,17	8,27		
NGC 7685	11,37	7,41	7,65		SH 160		7,14	7,99	6,60	
IC 405		7,16	8,43	6,25	AN 15		7,12		6,08	
432		7,09			1939		7,12		6,08	
434		7,37			AN 2534		7,31		6,26	
IC 1274		7,30			G 17		7,67		6,36	

Таблица 2 - продолжение

1	2	3	4	5		1	2	3	4	5
D 30	10,98	6,38	7,64		CC	49		7,09		6,27
N 4	10,92	6,26	8,02	5,78		55		6,99		5,68
11		6,12	7,77	5,85		56		6,97		5,73
44	10,91	6,02	7,76	5,87		58		6,99		5,93
55	10,94	6,22	7,86	5,79		62		6,99		5,93
59	10,94	6,14	7,79	5,79		66		7,18		6,19
79	10,91	6,53	8,24	6,02		69		7,22		6,39
105	10,99	6,68	8,18	6,26		87		7,07		6,03
159	10,95	6,42	8,06	6,03		89		7,19		6,16
160	10,97	6,33	7,70	5,81		92		7,44		6,46
N 214	10,86	6,33	8,11	6,01		93		7,22		6,21
NS 66	10,91	5,73	7,42	5,63	CC	94		7,03		6,96
NS 83	10,94	6,15	7,88	6,13	M	51		7,78	7,15	6,63
NGC 604		6,81	7,86	5,89		64		7,64		6,72
CC 16		7,03		6,08		81		8,03	7,11	6,03
22		6,85		5,46	M	82	10,81	7,47	7,70	6,40
27		7,07		6,05	NGC 5455		10,82		7,93	6,36
29		7,18		6,16		5461	10,96	6,81	7,84	
30		7,23		6,20	NGC 5471		10,88			6,00
37		7,27		6,38	HV	5		6,15	8,24	6,17
40		7,15		6,18	Zw	18	10,83		7,11	5,75
43		7,15		6,29	Zw	40	10,88		7,28	6,22
CC 47		7,23		6,27						

полученные данные близки к средним по данным Неймбертом для 15-мерно I5 объектов. Различия объясняются тем, что для туманностей Неймберт применяет другой вариант своей методики, - т.е. "метод температурных флюктуаций", для применения которого необходимы хотя бы два независимых значений температур.

## § 2. СРАВНЕНИЕ ФИЗИЧЕСКИХ УСЛОВИЙ В ЯДРАХ НОРМАЛЬНЫХ И ПЕКУЛЯРНЫХ ГАЛАКТИК И ДИФФУЗНЫХ ТУМАНОСТЯХ

В предыдущих параграфах оценены электронные плотности, а также определено содержание некоторых элементов в ядрах нормальных и пекуллярных галактик и диффузных туманностях. Обращают на себя внимание сильные вариации относительной интенсивности линий  $[N\text{ II}] \lambda 6584$  при переходе от одной из рассмотренных групп объектов к другой. Соответствующие данные были приведены в таблице 21.

Как мы видели, имеется широкий диапазон значений рассматриваемого отношения, причем сейфертовские галактики типов *NGC 1068* и *NGC 4151* занимают крайне противоположные положения по сравнению со значениями, характерными для областей H II (см. таблицу 8). Галактики Маркаряна и галактики высокой поверхностной яркости с точки зрения рассматриваемого параметра являются наиболее близкими к областям H II, а сейфертовские галактики типа *NGC 1068* ближе всех к ярким (нормальным) галактикам.

Подобную картину можно понять, если принят во внимание, что в ядрах сейфертовских галактик типа *NGC 4151* и радиогалактик с широкими линиями имеются зоны [O III] с электронной плотностью  $n_e > 10^6 \text{ см}^{-3}$ , а согласно Нойгебауэра и др. (1976) также и более плотные (водородные) зоны. Линии  $[N\text{ II}]$  (как и линии [O II] и [S II]

в этих зонах не светятся, так как критическая плотность для этих линий порядка  $10^4 \text{ см}^{-3}$ , между тем, как водород в них светится. В результате мы наблюдаем линию [N II], образующуюся лишь в зоне [O II], и линию H $\alpha$ , образующуюся как в зоне [O II], так и в более поздних зонах. Малое значение отношения [N II]/H $\alpha$  может, таким образом, быть в какой-то степени отражением отражения <sup>вещества</sup> в зонах [O II] и [O III].

Известно, что в ядрах сейфертовских галактик типа *NGC 4151* плотная зона отсутствует, а электронные плотности в зонах [O III] примерно на порядок меньше плотностей в зонах [O III] ядер сейфертовских галактик типа *NGC 4151* (см. напр. Ноэгебауэр и др. 1975). Между тем, плотности в зонах [O II] близки для обоих типов галактик. Поскольку у галактик Маркаряна и галактик высокой поверхностной яркости, не относящихся к сейфертовскому типу, широкие крылья линий не наблюдаются, то вероятно у них плотная зона также отсутствует. В таком случае, если примем, что отношение [N II]/H $\alpha$  является отражением массы вещества в зонах [O II] и [O III], то следует, что ядра нормальных галактик являются объектами с минимальными зонами [O III], а галактики Маркаряна и галактики высокой поверхностной яркости – с промежуточными.

Обратимся теперь к результатам определения содержания генов и гена в эмиссионных объектах.

В таблице 23 приведены логарифмы чисел ионов и атомов и их дисперсии, усредненные по 36 сейфертовским галактикам типа *NGC 4151*, 15 радиогалактикам с широкими линиями, 38 сейфертовским галактикам типа *NGC 1068* и радиогалактикам с узкими линиями, 96 галактикам туманностям нашей и ближайших галактик, 19 ярким галактикам (включены и галактики, перечисленные Аллоэном и др. (1975) и

## Таблица 25

## СРЕДНЕЕ СОДЕРЖАНИЕ ИОНОВ I. АТОМОВ В ОКИ СОСТОЯНИЯХ СВОБОДНЫХ

Объекты	$\overline{N}^+$	$\sigma$	$n$	$\overline{S}^+$	$\sigma$	$n$	$\overline{O}^+$	$\sigma$	$n$	$\overline{O^{++}}$	$\sigma$	$n$
СГ типа 1	6,27	0,44	25	5,51	0,44	23	6,63	0,52	31	7,09	0,23	23
РГШЛ	6,47	0,76	13	5,77	0,61	13	7,35	0,94	14	7,72	0,53	15
СГ 2+РГУЛ	7,54	0,26	28	6,70	0,29	28	8,03	0,32	26	8,14	0,51	22
Мкн гал.	7,34	0,22	28	6,68	0,30	23						
Яркие гал.	7,63	0,26	10	6,72	0,33	8						
	7,71	0,34	20	6,76	0,26	17						
Акн гал.	7,33	0,20	8	6,81	0,23	6						
ДТ в Гал.	7,26	0,29	50	6,37	0,28	26	8,12	0,39	27			
ДТ в М 33	7,11	0,14	22	6,15	0,29	22						
ДТ в М 0	6,25	0,24	13	5,91	0,18	12	7,88	0,23	13			
Обл.Н IIв	6,91	0,41	36	6,11	0,32	37						
Солнце												
ПлТ в Гал.	3,58	0,84	37	5,37	0,63	23	8,02	0,57	37			

Объекты	$\overline{He}^+$	$\sigma$	$n$	$\overline{He}$	$\sigma$	$n$	$\overline{N}$	$\sigma$	$n$	$\overline{O}$	$\sigma$	$n$
СГ типа 1	11,05	0,19	36	11,17	0,18	32	6,97	0,47	23	7,33	0,35	21
РГШЛ	10,67	0,30	9	10,85	0,39	7	7,08	0,82	13	8,06	0,73	14
СГ 2+РГУЛ	10,95	0,23	23	11,02	0,10	17	7,97	0,36	26	8,54	0,37	22
ДТ в Гал.	11,03	0,29	7									
ДТ в М 0	10,94	0,04	12									
ПлТ в Гал.	10,95	0,12	10	11,04	0,05	10	8,18	0,35	10	8,76	0,19	10
Солнце							7,93			8,77		
Земля				11,21			8,50			8,95		

Примечание: Данные о содержании  $He^+$ , Не и О для ПлТ - согласно Неймберта и Торрес - Неймберт (1971), а для Солнца к эве эд - согласно Аллера и Чизака (1968).

## Бюллетень 25

## СРЕДНЕЕ СОДЕРЖАНИЕ ИОНОВ И АТОМОВ В ОКИ СОСТОЯНИЯХ СВЕЧЕНИЯ

Объекты	$\overline{N}^+$	$\sigma$	$n$	$\overline{S}^+$	$\sigma$	$n$	$\overline{O}^+$	$\sigma$	$n$	$\overline{O^{++}}$	$\sigma$	$n$
СГ типа I	6,27	0,44	25	5,51	0,44	23	6,63	0,52	31	7,09	0,23	23
РГШЛ	6,47	0,76	13	5,77	0,61	13	7,35	0,94	14	7,72	0,53	15
СГ 2+РГУЛ	7,54	0,26	28	6,70	0,29	28	8,03	0,32	26	8,14	0,51	22
Мкн гал.	7,34	0,22	28	6,68	0,30	23						
Яркие гал.	7,63	0,26	10	6,72	0,33	8						
	7,71	0,34	20	6,76	0,26	17						
Акн гал.	7,33	0,20	8	6,81	0,23	6						
ДТ в Гал.	7,26	0,29	50	6,37	0,28	26	8,12	0,39	27			
ДТ в М 33	7,11	0,14	22	6,15	0,29	22						
ДТ в М 0	6,25	0,24	13	5,91	0,18	12	7,88	0,23	13			
Обн.Н IIв	6,91	0,41	36	6,11	0,32	37						
Солнце												
ПлТ в Гал.	3,58	0,84	37	5,37	0,63	23	8,02	0,57	37			

Объекты	$\overline{He}^+$	$\sigma$	$n$	$\overline{He}$	$\sigma$	$n$	$\overline{N}$	$\sigma$	$n$	$\overline{O}$	$\sigma$	$n$
СГ типа I	11,05	0,19	36	11,17	0,18	32	6,97	0,47	23	7,33	0,35	21
РГШЛ	10,67	0,30	9	10,85	0,39	7	7,08	0,82	13	8,06	0,73	14
СГ 2+РГУЛ	10,95	0,23	23	11,02	0,10	17	7,97	0,36	26	8,54	0,37	22
ДТ в Гал.	11,03	0,29	7									
ДТ в М 0	10,94	0,04	12									
ПлТ в Гал.	10,95	0,12	10	11,04	0,05	10	8,18	0,35	10	8,76	0,19	10
Солнце							7,93			8,77		
Земля				11,21			8,50			8,95		

Примечание: Данные о содержании  $\overline{He}^+$ ,  $\overline{He}$  и  $\overline{O}$  для ПлТ - согласно Неймберта и Торрес - Неймберт (1971), а для Солнца к эдэс зд - согласно Аллера и Чизака (1968).

## ХАРАКТЕРНЫЕ ПАРАМЕТРЫ ДЛЯ ЭМИССИОННЫХ СПЕКТРОВ

Объекты	$I_{\lambda 6584}/I_{H\alpha}$			$I_{\lambda 6724} / I_{H\alpha}$			$I_{\lambda 6717}/I_{\lambda 6731}$			$\log X$		
	$\bar{X}$	$\sigma$	$n$	$\bar{X}$	$\sigma$	$n$	$\bar{X}$	$\sigma$	$n$	$\bar{X}$	$\sigma$	$n$
СГ типа I	0,06	0,06	23	0,04	0,03	23	0,96	0,19	22	1,15	0,35	22
РНЛ	0,06	0,04	11	0,03	0,02	11	1,03	0,23	11	1,99	0,77	11
СГ 2+РНЛ	0,30	0,30	40	0,49	0,25	40	1,06	0,26	34	2,00	1,45	34
Близ. гал.	0,54	0,28	23	0,44	0,24	23	0,97	0,25	13	1,67	0,59	13
Яркие гал.	1,14	0,75	8	0,48	0,28	8	1,03	0,19	6	2,01	0,35	6
	1,11	0,81	18	0,49	0,25	16	1,05	0,16	17	2,93	0,29	17
Абн. гал.	0,30	0,28	6	0,55	0,32	6	1,00	0,25	7	3,06	0,48	7
ЛТ в Гал.	0,31	0,11	7	2,36	0,20	7	1,05	0,26	23	2,90	0,65	23
	0,47	0,32	42	0,22	0,18	25						
ЛТ в М 83	0,29	0,10	20	0,34	0,14	21	1,08	0,27	15	2,89	0,52	15
ЛТ в М 0	0,05	0,02	13	0,07	0,03	13	1,28	0,17	10	2,11	0,31	10
Обл. и II в ближ. гал.	0,25	0,20	37	0,13	0,10	37						
ЛСГ в Гал.	0,07	0,04	19	0,02	0,02	19	0,74	0,19	27	3,55	0,42	27

Примечания к таблице: Данные для ярких галактик, основанные на как наблюдательный материал, приведены в верхнем ряду. Данные нижнего ряда включены и объекты, рассмотренные Алленом и др. (1975) и Рубин и Фордом (1972). По отношению  $I_{\lambda 6724} / I_{H\alpha}$  ярчайшие туманности в Галактике делятся на две группы. Для одной из них указанное отношение равно или меньше 1, а для другой больше 2. По отношению  $I_{\lambda 6584} / I_{H\alpha}$  обе группы неотличимы друг от друга.

тов средние интенсивности линий  $[N\text{ II}]\lambda 6584$  и  $[S\text{ II}]\lambda\lambda 6717, 6731$  примерно пропорциональны /Рисунок 17/.

Сделанное предположение равнозначно тому, что в этих объектах химический состав примерно одинаков, поскольку температуры в этих зонах одинакового порядка.

Рассмотрим следующую задачу. Допустим, что химический состав во всех этих объектах близок к солнечному. Так как для сейфертовских галактик типа *NGC 1068* и радиогалактик с узкими линиями среднее содержание атомов близко к солнечному, примем, что содержание ионов такое же для всех других рассмотренных групп. Разумеется, мы могли бы выбрать в качестве стандартного и любой другой класс объектов, но это не повлияло бы на полученный результат, поскольку исследование – сравнительное. Подставляя в формулы (I3) и (I6) принятое относительное содержание ионов и средние относительные интенсивности линий для разного типа объектов, получаем электронные температуры в зонах  $[O\text{ II}]$ , при которых для данного содержания ионов линии  $[N\text{ II}]\lambda 6584$  и  $[S\text{ II}]\lambda\lambda 6717, 6731$  имели бы наблюдаемую интенсивность. Результаты приведены в нижеследующей таблице.

Таблица 25

	СГ I+ РГШЛ	Яркие гал.	Мрк гал.	Акн гал.	СГ 2+ РГУЛ
$584 / H_{\alpha}$	4950 К	12000 К	9500 К	8500 К	10000 К
$(6717, 6731) / H_{\alpha}$	5050 К	11100 К	10500 К	11500 К	10000 К

Полученные результаты говорят о том, что по крайней мере для сейфертовских галактик типа *NGC 4151* и радиогалактик с

широкими линиями различия в отношениях  $[N\text{ II}]/H\alpha$  и  $[S\text{ II}]/H\alpha$  нельзя отнести только за счет разных масс газа, излучающего в рассматриваемых линиях. В противном случае необходимо допустить что степень ионизации в зонах [O II] для сейфертовских галактик типа *NGC 4151* и типа *NGC 1068* сильно отличны. Это, однако, противоречит близости температур, полученных для зон [O II] этих галактик различными авторами (см., например, таблица I6), а также в настоящей работе. Таким образом, аномалия химического состава сейфертовских галактик типа *NGC 4151* и радиогалактик с широкими линиями, по-видимому, является вполне реальной.

Данные таблицы 25 не позволяют столь уверенно утверждать аномалии химического состава других перечисленных в этой таблице групп объектов. Тем не менее, приведенные выше данные, как и результатов других авторов, по-видимому, следует рассматривать, как указание на реальные отличия химического состава различных групп галактик.

Рассмотрим, наконец, полученные содержания ионов с точки зрения сравнения с диффузными туманностями. Из приведенных выше данных следует, что отношение интенсивностей линий  $[N\text{ II}] \lambda 6584$  и  $H\alpha$  в исследованных нами ярких галактиках, галактиках Маркаряна, галактиках высокой поверхностной яркости, сейфертовских галактиках типа *NGC 1068* и радиогалактиках с узкими линиями, в согласии с результатами Бэрбиж и Бэрбиджа (1965), в 3 - 4 раза превышают значения, характерные для диффузных туманностей Галактики и ближайших галактик. Для сейфертовских галактик типа *NGC 4151* и радиогалактик с широкими линиями это отклонение достигает 5 - 10.

В связи с этими данными следует обратить внимание ещё на следующее обстоятельство. Как отмечалось, для галактик, не отно-

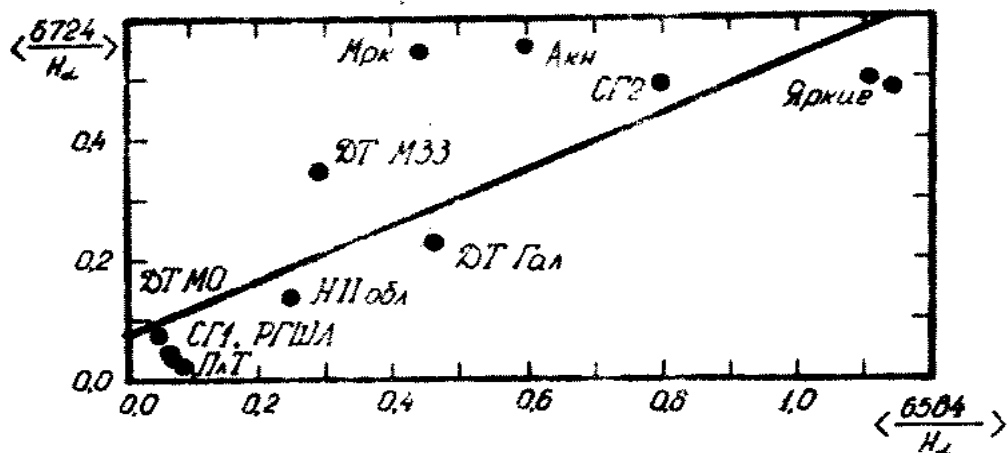


Рис. 17

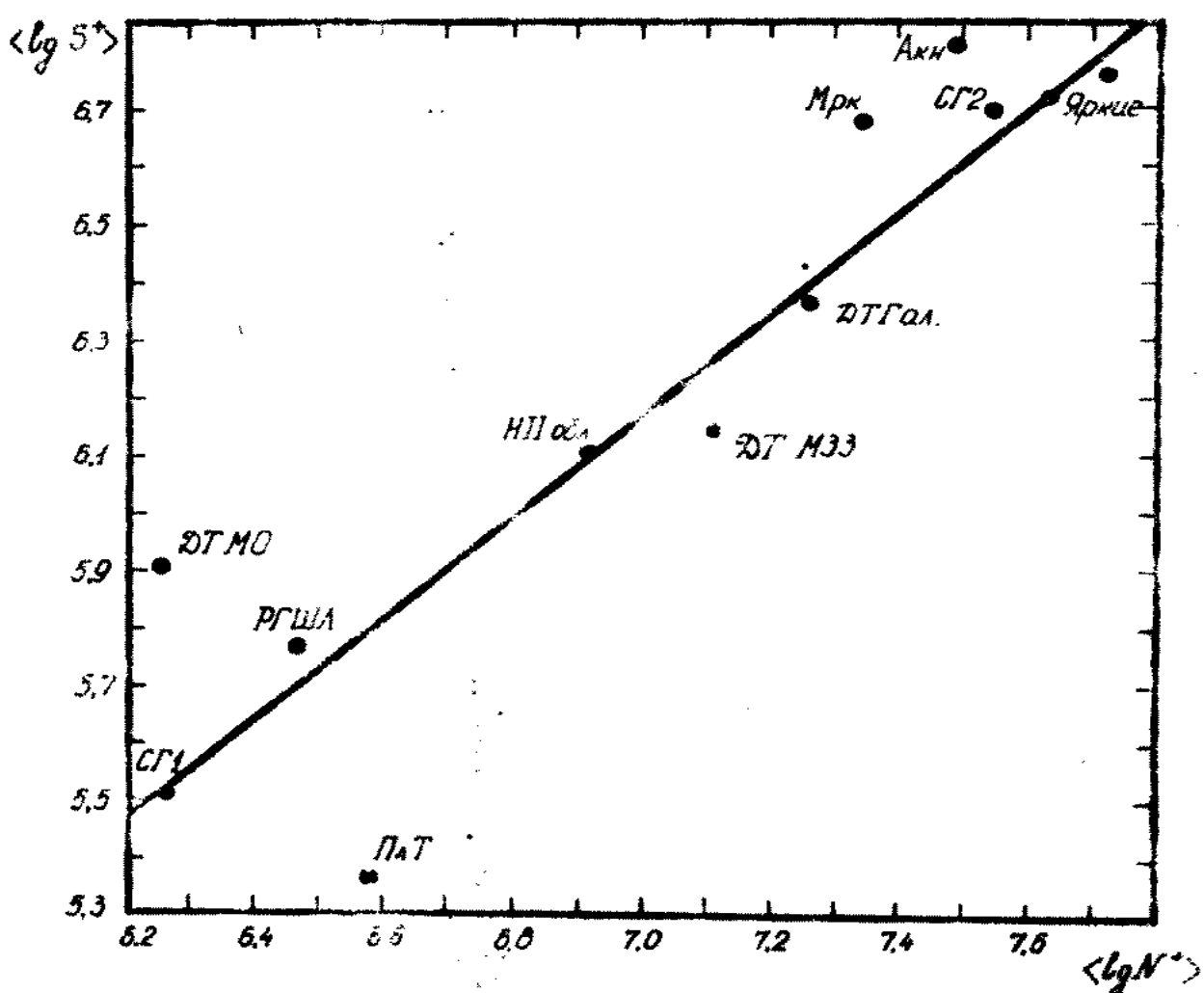


Рис. 18

Рис. 17 - Зависимость  $I_{\lambda 6584}/H_{\alpha} - I_{\lambda 6717, 6731}/H_{\alpha}$  для объектов разного типа;

Рис. 18 - Зависимость "среднее число атомов азота - среднее число атомов серы" для объектов разного типа.

сящихся к сейфертовскому типу и не являющихся радиогалактиками, установлена корреляция между относительными интенсивностями линий  $[N\text{ II}] \lambda 6584$  и  $H_{\alpha}$  и радиосветимостью. К галактикам с аномально большим (по сравнению с диффузными туманностями) отношением интенсивностей этих линий относятся, в частности, галактики M 51 и M 81, исследованные с этой точки зрения Пеймбертом (1968). С другой стороны, Остерброком и Филлипсом (1977) отмечена принадлежность к типу "M 81" нескольких галактик высокой поверхностной яркости, не относящихся к сейфертовскому типу. Судя по приведенным выше данным, к этому типу относятся и большинство рассмотренных в настоящей работе галактик Маркаряна, и галактики высокой поверхностной яркости (среднее значение  $[N\text{ II}] \lambda 6584 / H_{\alpha} = 0,55$ ). Таким образом, эти две группы галактик проявляют слабые спектральные особенности, которые, вообще говоря, коррелируют с мощностью радиоизлучения.

### 3. ЗАКЛЮЧЕНИЕ

В заключение приведем сводку основных результатов настоящей работы. Изложение в общем не будет следовать основному тексту.

1. На основе оригинального наблюдательного материала, предоставленного Д. В. Видманом, определены эквивалентные ширины эмиссионных линий и вычислены светимости и потоки в линиях для 20 сейфертовских галактик типа *MCG 4151*. Рассмотрены зависимости интенсивностей эмиссионных линий от показателей цвета и абсолютной светимости галактик в ультрафиолете и установлено некоторое различие между сейфертовскими галактиками и галактиками несейфертовского типа. С посинением галактики (т.е. с уменьшением краснотельной цвета) и с ростом светимости в ультрафиолете, эквивалентные ширины и, соответственно, потоки и светимости в

водородных линиях увеличиваются. Эквивалентные ширины запрещенных линий , однако , от этих величин в общем не зависят. Отношение  $W[\text{O III}]/W\text{H}\beta$  уменьшается с поснением галактики или с увеличением светимости в ультрафиолете . Между тем , как показал Аракелян (1976) , для галактик несейфертовского типа и  $W[\text{O III}]$  и  $W[\text{O III}]/W\text{H}\beta$  увеличиваются с уменьшением показателей  $n_{\text{H}}$  и  $n_e$  с ростом светимости в ультрафиолете.

Существие зависимости  $[\text{O III}]$  от показателей цвета или от абсолютной звездной величины было интерпретировано как указание на то , что в зонах  $[\text{O III}]$  электронные плотности высоки и примерно одинакового порядка для всех сейфертовских галактик типа  $NGC 4151$ . Используя данные Остерброка (1977) по 36 сейфертовским галактикам типа  $NGC 4151$  и 5 радиогалактикам с широкими линиями было получено , что в зонах  $[\text{O III}]$   $\lg T_e \sim 4$  и  $\lg n_e \geq 6$  с довольно малой дисперсией. Для зон  $[\text{O II}]$   $\lg T_e = 4,23$  и  $\lg n_e = 3,07$ . При этом дисперсия намного больше. Полученные результаты согласуются с результатами других авторов. Отмечается галактика Мрк 304 как объект с довольно необычными условиями в ядре. Полученные результаты указывают на существование сильного эффекта стратификации излучения в ядрах сейфертовских галактик, отмеченного и другими авторами , но не всегда учитываемого при определении физических условий в ядрах галактик.

2. Для 50 галактик с эмиссионными линиями стандартной методикой определены эквивалентные ширины и относительные интенсивности эмиссионных линий в красной области спектра. По отношению интенсивности линий дублета ионизованной серы  $I_{\lambda 6717}/I_{\lambda 6731}$  оценена электронная плотность в областях , излучающих в запрещенных линиях. Рассмотрено отношение  $[\text{M II}] \lambda 6584/\text{H}_\lambda$  для галактик разных типов . Для ярких галактик полученные результаты

сходятся с результатами Бэрбидж и Бэрбиджа (1962, 1965), но с переходом к более активным объектам наблюдается сильное отличие от их результатов. Рассмотрены некоторые возможные объяснения наблюдаемых различий. Отмечено качественное различие между диффузными туманностями и ядерными областями II галактик.

3. Применением единой методики, предложенной Пеймбертом (1968), для 50 галактик с эмиссионными линиями, 36 сейфертовских галактик типа *NGC* 4151, 15 радиогалактик с широкими линиями, 38 сейфертовских галактик типа *NGC* 1068 и радиогалактик с узкими линиями и 96 диффузных туманностей наших и ближайших галактик оценено содержание некоторых ионов и атомов для электронной температуры  $T_e = 10000$  К. Обсуждается реальность различий в химическом составе разных типов объектов. Получено, что сейфертовские галактики типа *NGC* 4151 содержат на порядок меньшее относительное количество кислорода, чем сейфертовские галактики типа *NGC* 1068 и радиогалактики с узкими линиями. С другой стороны сейфертовские галактики типа *NGC* 1068 и радиогалактики с узкими линиями содержат примерно в полтора раза большее относительное количество гелия, чем радиогалактики с широкими линиями и примерно во столько же раз меньшее его относительного количества, чем сейфертовские галактики типа *NGC* 4151. По содержанию кислорода радиогалактики с широкими линиями занимают промежуточное положение. У них относительное количество кислорода в 4–6 раз больше, чем у сейфертовских галактик типа *NGC* 4151.

Сравнение относительного содержания ионов азота в ядрах нормальных и пекулярных объектов показывает, что самые активные объекты (сейфертовские галактики типа *NGC* 4151 и радиогалактики с широкими линиями) содержат на порядок меньшее относительное

количество ионов азота  $N^+$ , чем галактики Каркаряна , галактики высокой поверхностной яркости или сейфертовские галактики типа  $NGC\ 1068$  и радиогалактики с узкими линиями . Кайбольшим относительное содержание ионов азота является в ядрах яких галактик. Такая же картина наблюдается в отношении ионов серы ( см. , например , рисунок 18 , на котором представлена зависимость  $\lg N^+ / \lg S^+$  для объектов разного типа ) . Единственная разница состоит в том , что , по - видимому , галактики высокой поверхностной яркости возможно , несколько богаче серой.

4. По электронным плотностям в зонах [0 II] рассматриваемые объекты с одной стороны примыкают к диффузным туманностям  $\overline{\lg X} = 2,90$  , а с другой , к планетарным туманностям ( для сейфертовских галактик типа  $NGC\ 4151$   $\overline{\lg X} = 3,15$  , а для планетарных туманностей  $\overline{\lg X} = 3,55$  ) . Следует отметить , что плотности в зонах [0 II] не отражают проявлений активности объектов в оптической части спектра , но находятся в согласии с радиоизлучением галактик. Согласно Аллоэн ( 1973 ) радиоизлучение центральных областей галактик связано с менее плотными зонами. Это согласуется с выводом Товмасяна и Шрамека ( 1975 ) о более высокой активности с точки зрения радиоизлучения сейфертовских галактик типа  $NGC\ 1068$  , для которых нами получена самая низкая плотность зон [0 II] .

Автор выражает глубокую благодарность своему научному руководителю М. А. Аракеляну за неоценимую помощь во время прохождений аспирантуры и выполнения настоящей работы. Автор благодарен Д. В. Видману за предоставлении наблюдательного материала , дирекции ГАИШ за предоставлении возможности наблюдений на телескопе З Т Э Крымской станции ГАИШ , Э. А. Дибая , В. Т. До-

рошенко , В. Ф. Есипову и В. Ю. Теребижу за помощь при получении наблюдательного материала , полезные обсуждения и предоставления наблюдательного материала. Автор выражает благодарность сотрудникам Иностранного отдела Ереванского Государственного университета за содействие и помощь за все время прохождения аспирантуры.

---

## ЛИТЕРАТУРА

1. Адамс и др. 1975 ( Adams T. F., Woodman P. W., ApJ, 199, 19).
2. Аллер 1912 ( Aller L. H., ApJ, 25, 52 ).
3. ... 1953 ( Aller L. H., ApJ, 113, 477 ).
4. Аллоэн 1973 ( Alloin D., A&G ap, 27, 433 ).
5. Аллоэн и др. 1975 ( Alloin D., Бернанти Р., Модорицкі С., Proc. Third Europ. Astron. Meeting, Tbilisi, ed. Кнарадзе Е., p. 167).
6. Амбарцумян В. А. 1959, Теоретическая астрофизика, Госизтехиздат.
7. Андерсон 1970 ( Anderson E. S., ApJ, 162, 743 ).
8. Аракелян М. А. 1974, Астрономика, 10, 50%.
9. Аракелян М. А. 1975, Сообщ. Евр. обс., 47, 3.
10. Аракелян М. А. 1976, Астрономика, 12, 559.
11. Аракелян М. А. 1977, Астрономика, 13, 427.
12. Аракелян М. А., Дибай Э. А., Есинов В. Ф., 1970, Астрономика, 16, 39.
13. Аракелян М. А., Дибай Э. А., Есинов В. Ф. 1972а, Астрономика, 8, 33.
14. Аракелян М. А., Дибай Э. А., Есинов В. Ф. 1972б, Астрономика, 8, 177.
15. Аракелян М. А., Дибай Э. А., Есинов В. Ф. 1972в, Астрономика, 8, 329.
16. Аракелян М. А., Дибай Э. А., Есинов В. Ф. 1972г, Астрономика, 9, 319.
17. Аракелян М. А., Дибай Э. А., Есинов В. Ф. 1972д, Астрономика, 9, 325.
18. Аракелян М. А., Дибай Э. А., Есинов В. Ф. 1975а, Астрономика, 11, 15.
19. Аракелян М. А., Дибай Э. А., Есинов В. Ф. 1975б, Астрономика, 11, 377.

20. Аракелян М. А., Дубай Э. А., Есипов В. Ф. 1976а, Астрофизика, 12, 195.
21. Аракелян М. А., Дубай Э. А., Есипов В. Ф. 1976б, Астрофизика, 12, 683.
22. Аракелян М. А., Дубай Э. А., Есипов В. Ф., Маркарян Б. Е. 1970, Астрофизика, 6, 357.
23. Аракелян М. А., Дубай Э. А., Есипов В. Ф., Маркарян Б. Е. 1971, Астрофизика, 7, 177.
24. Аро 1956 ( Haro G., Bol. Obs. Ton. y Tac., 14, 8; 18 ).
25. Архипова В. П. 1970, Сообщ. ГАИШ, 166, 31.
26. Баркер 1978а ( Barker T., ApJ, 220, 193 ).
27. Баркер 1978б ( Barker T., ApJ, 221, 145 ).
28. Беккер и др. 1938 ( Baker J., Menzel D., Aller L. H., ApJ, 88, 422 ).
29. Бенвенути и др. 1973 ( Benvenuti P., D'Odoriko S., Peimbert M., A&A, 28, 447 ).
30. Берг 1958 ( Bergh S., van den, AJ, 63, 492 ).
31. Боесхар 1974 ( Boeshaar G. O., ApJ, 187, 283 ).
32. Боярчук А. А., Гермберг Р. Е., Проник В. И. 1963, Изв. КрАО, 29, 291.
33. Боярчук А. А., Гермберг Р. Е., Годовников Н. В., Проник В. И. 1969, Изв. КрАО, 39, 147.
34. Броклехарст 1971 ( Broklohurst M., MNRAS, 152, 471 ).
35. Букач А. В., Гранецкий М. В., Елисеев В. С., Комиссаров В. Н. 1977, Изв. КрАО, 56, 129.
36. Бурбидж 1962 ( Burbidge E. M., in "Interstellar matter in galaxies", ed. Woltjer L., New York, p. 123 ).
37. Бурбидж 1970 ( Burbidge G. R., Ann. Rev. A&A, 8, 369 ).
38. Бурбидж и Бурбидж 1959 ( Burbidge E. M., Burbidge G. R., ApJ, 130, 26 ).

39. Бэрбидж и Бэрбидж 1962 ( Burbidge E., M., Burbidge G., R., *J. 135*, 694 ).
40. Бэрбидж и Бэрбидж 1965 ( Burbidge E., M., Burbidge G., R., *J. 142*, 634 ).
41. Бэрбидж и др. 1963а ( Burbidge E., M., Burbidge G., R., Prent., Princeton, N. J., ApJ, 137, 1022 ).
42. Бэрбидж и др. 1963б ( Burbidge G., R., Gould, R. J., Pottasch, R. H., ApJ, 138, 945 ).
3. Уэнслер 1971 ( Wampler E. J., ApJ, 164, 1 ).
43. Уидман 1968 ( Weedman D. W., PASP, 80, 314 ).
44. Уидман 1970 ( Weedman D. W., ApJ, 159, 405 ).
45. Уидман 1976 ( Weedman D. W., ApJ, 208, 30 ).
46. Уидман 1977а ( Weedman D. W., *Vistas in Astronomy*, 21, 55 ).
47. Уидман 1977б ( Weedman D. W., Ann. Rev. Astron. & Ap., 15, 69 ).
48. Уидман 1978 ( Weedman D. W., MNRAS, 184, 11 ).
49. Уидман Д. В., Хачикян Э. Е. 1968, Астрофизика, 4, 587.
50. Уидман Д. В., Хачикян Э. Е. 1969, Астрофизика, 5, 113.
51. Уорнер 1973 ( Warner J. W., ApJ, 186, 21 ).
52. Ванкулер и др. 1976 ( Vaucouleurs, G., de Vaucouleurs, A., Hubble, G., Second Ref. Cat., Bright Galaxies, Univ. Texas Press ).
53. Вольтхер 1959 ( Woltjer L., ApJ, 130, 38 ).
54. Воронцов - Вельяминов Е. А., Красногорская А. А., Архипова В. П. 1953, Морфологический каталог галактик, т. I, МГУ.
55. Воронцов - Вельяминов Е. А., Красногорская А. А., Архипова В. П. 1956, Морфологический каталог галактик, т. III, МГУ.
56. Воронцов - Вельяминов Е. А., Красногорская А. А., Архипова В. П. 1958, Морфологический каталог галактик, т. II, МГУ.
57. Воронцов - Вельяминов Е. А., Красногорская А. А., Архипова В. П. 1960, Морфологический каталог галактик, т. IV, МГУ.

59. Воронцов - Вельяминов Е. А., Дибай Э. А. 1968, Синт. ИАС № 29, ред. Аракелян Е. А.
60. Гайэр Э. Г., 1975, Йенское обозрение, № 1, 26.
61. Гислер 1977 ( Gisler G. R., preprint ).
62. Головатый В. В., Жуков О. Н. 1974, Пробл. косм. физ., 9, 162.
63. Гранди 1977 ( Grandi S. A., ApJ, 215, 446 ).
64. Гранди и Остерброк 1978 ( Grandi S. A., Osterbrock D. E., ApJ, 220, 783 ).
65. Груефф и Виготти 1977 ( Grueff G., Viggotti M., Astron. and Astrophys., 54, 475 ).
66. Джейнс и Мак Клур 1972 ( Janes K. A., Mc Clure R. D., IAU, Colloquium № 17, BAAS, 4, 241 ).
67. Джонсон 1953 ( Johnson H. L., ApJ, 118, 350 ).
68. Дибай Э. А. 1969, Докторская диссертация, К., МГУ.
69. Дибай Э. А., Дорошенко В. Т., Теребих В. Ю. 1976, Астрофизика, 12, 689.
70. Дибай Э. А., Есинов В. Ф., Проник В. И. 1967, АЖ, 44, 689.
71. Дибай Э. А., Проник В. И. 1965, Астрофизика, 1, 78.
72. Дибай Э. А., Проник В. И. 1966, Изв. КрАО, 35, 87.
73. Дибай Э. А., Проник В. И. 1967, АЖ, 44, 952.
74. Д'Одорико и др. 1976 ( D'Odorico S., Peimbert M., Sabadin F., A&A, 47, 341 ).
75. Дорошенко В. Т., Теребих В. Ю. 1975, Астрофизика, 11, 631.
76. Дэвидсон 1972 ( Davidson K., ApJ, 171, 213 ).
77. Дюфур 1975 ( Dufour R. J., ApJ, 195, 315 ).
78. Дюфур и Харлоу 1977 ( Dufour R. J., Harlow W. V., ApJ, 215, 795 ).
79. Эльвис и др. 1978 ( Elvis M., Maccakaro T., Wilson A. S., Ward M., Penston M. V., Rosbury R. A. E., Perola G. C., MNRAS, 183, 129 ).

70. Пенсен и др. 1976 ( Jensen E. B., Strom K. H., Strom S. E., ApJ, 202, 748 ).
81. Калер и др. 1976 ( Kaler J. B., Aller L. H., Czyzak S. J., Eppes H., ApJ Suppl., 31, 163 ).
82. Кемпбелл и Кур 1918а ( Campbell W. W., Moore J. H., Lick Obs., Bull., 13, 88 ).
83. Кемпбелл и Кур 1918б ( Campbell W. W., Moore J. H., Lick Obs., Bull., 13, 122 ).
84. Коллин - Суффрен и Жоли 1976 ( Collin, Soufrin S., Joly M., A. & Ap, 52, 213 ).
85. Кошки 1978 ( Koski A. T., ApJ, 223, 56 ).
86. Костеро и Остерброк 1977 ( Costero R., Osterbroek D. E., ApJ, 211, 675 ).
87. Кохен 1976 ( Cohen J., ApJ, 203, 587 ).
88. Крюгер и др. 1970 ( Krueger T. K., Aller L. H., Czyzak S. J., ApJ, 160, 921 ).
89. Куртез 1960 ( Courtes G., Ann. Ap, 23, 115 ).
90. Куртез и др. 1969 ( Courtes G., Louise R., Monnet G., A. & Ap, 2, 222 ).
91. Кунт и Сарджент 1979 ( Kunth D., Sargent W. L. W., ApJ Suppl., 36, 259 ).
92. Мак Альпайн 1972 ( Mc Alpine G. M., ApJ, 175, 11 ),  
Мак Альпайн 1974 ( Mc Alpine G. M., ApJ, 193, 37 ).
93. Мак Клур 1969 ( Mc Clure R. D., AJ, 74, 50 ).
94. Маркариан В. Е. 1967, Астрофизика, 3, 55.
95. Маркариан В. Е. 1969а, Астрофизика, 5, 443.
96. Маркариан В. Е. 1969б, Астрофизика, 5, 581.
97. Маркариан В. Е., Липовецкий В. А. 1971, Астрофизика, 7, 511.
98. Мартин 1974 ( Martin W. L., MNRAS, 168, 109 ).

100. Мензел и Аллер 1941 ( Menzel D., Aller L. H., ApJ, 94, 30.).
101. Метьюз и Сандейдж 1963 ( Mathews T. A., Sandage A., ApJ, 138, 30.).
102. Минковски и Остерброк 1959 ( Minkowski R., Osterbrock D. E., ApJ, 129, 583.).
103. Морган и Остерброк 1969 ( Morgan W. W., Osterbrock D. E., AJ, 74, 515.).
104. Мэйолл 1934 ( Mayall N. U., PASP, 46, 134.).
105. Мэйолл 1936 ( Mayall N. U., PASP, 48, 14.).
106. Мэйолл 1939 ( Mayall N. U., Lick Obs. Bull., 19, 33.).
107. Мэйолл 1958 ( Mayall N. U., IAU Symp., 5, p. 23.).
108. Ноигебауэр и др. 1976 ( Neugebauer G., Becklin E. E., Oke J. B., Searle L., ApJ, 205, 129.).
109. Нильсон 1973 ( Nilson P., Uppsala General Catalogue of Galaxies, Uppsala, Sweden).  
3
110. Остерброк 1960 ( Osterbrock D. E., ApJ, 132, 325.).
111. Остерброк 1962 ( Osterbrock D. E., in "Interstellar matter in galaxies", ed. Woltjer L., New York, p. 111.).
112. Остерброк 1970а ( Osterbrock D. E., Quart. JRS, 11, 199.).
113. Остерброк 1970б ( Osterbrock D. E., in "Nuclei of galaxies", p. 151, ed. D. O. Connell.).
114. Остерброк 1974 ( Osterbrock D. E., Astrophysics of gaseous nebulae, San Francisco, Freeman & Co.).
115. Остерброк 1975 ( Osterbrock D. E., ApJ, 215, 733.).
116. Остерброк 1977 ( Osterbrock D. E., PASP, 89, 620.).
117. Остербройт 1978 ( Osterbroek D. E., Phys. Scr., 17, 137.).
118. Остерброк и Кошки 1976 ( Osterbrock D. E., Koski A. T., MNMAS, 176, 61p.).

9. Остерброк и Миллер 1975 ( Osterbrock, D., Miller, J. S., ApJ, 197, 535 ).
120. Остерброк и Паркер 1965 ( Osterbrock, D. E., Parker, H. A., ApJ, 141, 892 ).
121. Остерброк и Филлипс 1977 ( Osterbrock, D. E., Phillips, M. M., PASP, 89, 251 ).
122. Остерброк и др. 1976 ( Osterbrock, D. E., Koski, A. T., Phillips, M. M., ApJ, 206, 898 ).
123. Оук и Сарджент 1968 ( Oke, J. B., Sargent, W. L. W., ApJ, 151, 807 ).
124. Пейдж 1952 ( Page, T., ApJ, 116, 63 ).
125. Пеймберт 1967 ( Peimbert, M., ApJ, 150, 825 ).
126. Пеймберт 1968 ( Peimbert, M., ApJ, 151, 33 ).
127. Пеймберт 1975 ( Peimbert, M., Ann. Rev. Astr. Ap., 13, 113 ).
128. Пеймберт и Спинрад 1970а ( Peimbert, M., Spinrad, S., ApJ, 17, 311 ).
129. Пеймберт и Спинрад 1970б ( Peimbert, M., Spinrad, S., ApJ, 159, 809 ).
130. Пеймберт и Спинрад 1970в ( Peimbert, M., Spinrad, S., ApJ, 160, 429 ).
131. Пеймберт и Торрес - Пеймберт 1977 ( Peimbert, M., Torres, M., Peimbert, S., MNRAS, 179, 217 ).
132. Пеймберт и др. 1975 ( Peimbert, M., Rayo, S., Torres, M., Peimbert, S., Rev. Mex. Astron. Astrofis., 1, 289 ).
133. Пенстон и Фосбери 1978 ( Penston, M. V., Fosbury, R. A. E., MNRAS, 183, 479 ).
134. Петров Г. Т. 1979а, Астрофизика, 15, 59.
135. Петров Г. Т. 1979б, Астрофизика, 15, 383.
136. Петров Г. Т. 1979в, Письма в АМ, 5, 267.
137. Петров Г. Т. 1979г, тезисы докладов, Конференция молодых астрофизиков, АМ, 5, 267.

- трефазиков, сентябрь 1978, Бюракан, стр. 12.
138. Петров Г. Т. 1979д, Докл. АН Арм. ССР, в печати.
  139. Петров Г. Т. 1979е, Докл. АН Арм. ССР, в печати.
  140. Проник В. И. 1962, Вопросы космогонии, 8, 191.
  141. Проник В. И. 1976, Изв. КрАО, 54, 165.
  142. Проник В. И. 1977, Астрофизика, 13, 51.
  143. Проник И. И. 1972, АМ, 49, 768.
  144. Рубин и Форд 1968 ( Rubin V. C., Ford W. K., in "ApJ", 154, 431 ).
  145. Рубин и Форд 1972 ( Rubin V. C., Ford W. K., in "LAQ Symp.", № 44, ed. D. Evans ).
  146. Сарраф и Ситон 1970 ( Saraph H. E., Seaton M. J., MNRAS, 148, 367 ).
  147. Сарджент 1970 ( Sargent W. L. W., ApJ, 160, 405 ).
  148. Сейферт 1943 ( Seyfert C. K., ApJ, 97, 28 ).
  149. Сирл 1971 ( Searle L., ApJ, 168, 327 ).
  150. Ситон 1954 ( Seaton M. J., MNRAS, 114, 154 ).
  151. Ситон 1960 ( Seaton M. J., Rept. Progr. Phys., 23, 313 ).
  152. Ситон 1975 ( Seaton M. J., MNRAS, 170, 475 ).
  153. Ситон и Остерброк 1967 ( Seaton M. J., Osterbrock D. E., ApJ, 125, 66 ).
  154. Слиффер 1917 ( Slipher V. M., Lowell Obs. Bull., 3, 59 ).
  155. Смит 1975 ( Smith H. E., ApJ, 199, 591 ).
  156. Смит и др. 1976 ( Smith H. E., Spinrad H., Hunstead R., ApJ, 206, 345 ).
  157. Соболев В. Е. 1941, Уч. запис. ЛГУ, № 82.
  158. Спинрад и Неймберг 1975 ( Spinrad H., Neimberg N., in "Galaxies and the Universe", ed. Sandage A., S. M., Kristian J., p. 37).
  159. Спинрад и др. 1971 ( Spinrad H., Gunn J., Taylor B. J., Mc Clure R., Young J., ApJ, 164, 11 ).

160. Спинрад и др. 1972 ( Spinrad H., Smith H. E., Taylor D. J., ApJ, 175, 649 ).
161. Торрес - Пеймберт и Неймберт 1977 ( Torres - Peimbert S., Peimbert M., Rev. Mex. A & Ap, 2, 181 ).
162. Уитфорд 1958 ( Whitford A. E., AJ, 63, 201 ).
163. Уолкер 1964 ( Walker M. F., AJ, 69, 774 ).
164. Фосбури и др. 1978 ( Fosbury R. A. E., Nebold U., Goss W. W., Boritz M., A & A, MNRAS, 183, 549 ).
165. Габбл 1926 ( Hubble E. P., ApJ, 64, 328 ).
166. Хаули и Гранди 1977 ( Hawley S. A., Grandi S. A., ApJ, 217, 420 ).
167. Хачикян и Видман 1971 ( Khachikian E. Y., Weedman D. W., Astrophysics, 7, 389 ).
168. Хачикян и Видман 1974 ( Khachikian E. Y., Weedman D. W., AJ, 192, 581 ).
169. Хой Дж. 1978, Радиовселенная, стр. 203, М., "Мир".
170. Хушра 1977 ( Huchra J. P., ApJ Suppl., 35, 171 ).
171. Хумасон и др. 1956 ( Humason M. L., Mayall N. U., Sandage A., AJ, 61, 97 ).
172. Цвикки и Херцог 1963 ( Zwicky F., Herzog E., Catalogue of Galaxies and a Cluster of Galaxies, vol. 2 ).
173. Цвикки и Херцог 1966 ( Zwicky F., Herzog E., Catalogue of Galaxies and a Clusters of Galaxies, vol. 3 ).
174. Цвикки и Херцог 1968 ( Zwicky F., Herzog E., Catalogue of Galaxies and a Clusters of Galaxies, vol. 4 ).
175. Цвикки и др. 1961 ( Zwicky F., Herzog E., Wild P., Catalogue of Galaxies and a Clusters of Galaxies, vol. 1 ).
176. Цвикки и др. 1965 ( Zwicky F., Karpowicz M., Kowal C. T.,

- Catalogue of Galaxies and a Clusters of Galaxies, vol. 5).
177. Цвикки и Цвикки 1971 ( Zwicky F., Zwicky M., Catalogue of Selected Compact Galaxies and Post Eruptive Objects).
178. Чизак и др. 1970 ( Czyzak S. J., Aller L. H., Kaler J. B., Proc. Nat. Acad. Sci., 66, 282).
179. Шилдс 1974 ( Shields G. A., ApJ, 193, 335).
180. Шилдс и Оук 1975 ( Shields G. A., Oke J. B., ApJ, 197, 5).
181. Шилдс и др. 1972 ( Shields G. A., Oke J. B., Sargent W. L. W., ApJ, 176, 75).
182. Шрамек и Товмасян 1975 ( Sramek R. A., Tovmassian H. M., ApJ, 196, 339).
183. Никулова К. М. 1974, АЖ, 51, 1208.
184. Никулова И. К., Дибай Э. А., Есипов В. Ф. 1974, АЖ, 51, 464.
185. Никулова И. М., Петров Г. Т., Голев В. К. 1980, Астрофизические исследования, БАН, в печати.

## СОДЕРЖАНИЕ

ВВЕДЕНИЕ .....	2
<b>ГЛАВА I</b>	
Спектротометрическое исследование ядер галактик с эмиссионными линиями .....	
1. Программа и постановка задачи .....	14
2. Аппаратура .....	17
3. Методика .....	23
4. Наблюдательные данные .....	24
5. Эквивалентные ширины эмиссионных линий и их относительные интенсивности в ядрах галактик несейфертовского типа ..	30
6. Отношение $[N\ II]$ $\lambda$ 6584 / H $\lambda$ в ядрах галактик .....	37
<b>ГЛАВА II</b>	
Физические условия в ядрах нормальных галактик с эмиссионными линиями .....	
1. Методы определения электронных температур и электронных плотностей .....	45
2. Химический состав эмиссионных объектов .....	50
3. Физические условия и содержание ионов в ядрах галактик с эмиссионными линиями .....	54
<b>ГЛАВА III</b>	
Физические условия в ядрах пекулятных объектов .....	
1. Введение .....	60
2. Свойства быстроты и потока в линиях от показателя $N_{H_2}$ для сейфертовских галактик типа $NGC\ 4151$ .....	61
3. Физические условия в ядрах сейфертовских галактик типа $NGC\ 4151$ .....	74
4. Содержание ионов и химический состав излучающего	

газа в ядрах сейфертовских галактик типа №С 4151 и радиогалактик с широкими линиями .....	86
5. Физические условия, содержание ионов и химический состав излучающего газа в ядрах сейфертовских галактик типа №С 1068 и радиогалактик с узкими линиями ..	88

#### ГЛАВА IV

Сравнение физических условий в туманностях, ядрах нормальных галактик, и пекулярных внегалактических объектов .....	98
---	----

1. Физические условия и содержание некоторых ионов в диффузных туманностях .....	98
2. Сравнение физических условий в ядрах нормальных и пекулярных галактик и диффузных туманностях .....	103
3. Заключение .....	110
ЛИТЕРАТУРА .....	115